

JNC TJ7440 2005-080

割れ目の統計学的解析

(核燃料サイクル開発機構契約業務報告書)

2004年3月

三菱商事株式会社

本資料の全部または一部を複写・複製・転載する場合は、下記にお問い合わせ下さい。

〒319-1184

茨城県那珂郡東海村村松4番地49

核燃料サイクル開発機構

技術展開部 技術協力課

Inquiries about copyright and reproduction should be addressed to:

Technical Cooperation Section,

Technology Management Division,

Japan Nuclear Cycle Development Institute

4-49 Muramatsu, Tokai-mura, Naka-gun, Ibaraki 319-1184,

Japan

©核燃料サイクル開発機構

(Japan Nuclear Cycle Development Institute)

2004

2004年3月

割れ目の統計学的解析

(核燃料サイクル開発機構契約業務報告書)

杉田健一郎※、高瀬博康※※

要旨

本業務は、瑞浪超深地層研究所計画の地質・地質構造に関する調査研究において課題となっている土岐花崗岩中の割れ目の分布特性について、規模、密度、方位、空隙形状などに着目した統計学的な解析および解釈を実施したものである。具体的な実施項目は、以下のとおりである。

- ・ 割れ目の分布特性に関する既存情報の整理
- ・ 割れ目の分布特性の統計学的解析およびそれに基づいた割れ目区分
- ・ 割れ目分布の空間的不均質性に関する解析・評価

本報告書は、大阪府立大学が核燃料サイクル開発機構との契約により実施した業務成果に関するものである。

機構担当課室：東濃地科学センター 瑞浪超深地層研究所 超深地層研究グループ

[※：三菱商事株式会社、※※：Quintessa Limited]

March 2004

Statistical analysis of fractures

Kenichiro Sugita* Hiroyasu Takase**

Abstract

This work was performed by statistical analyses focused on the size, frequency, orientation and pore structures of the fracture system in the Toki granite for clarifying geological characteristics of the fracture distribution of granitic rocks. In this research we conducted following investigation items:

- survey of the existing information on characteristics of fracture distribution
- statistical analysis of the fracture distribution and classification
- interpretation of heterogeneity of the fracture distribution

This work was performed by Mitsubishi Corporation under contract with Japan Nuclear Cycle Development Institute.

JNC Liaison: Tono Geoscience Center, Mizunami Underground Research Laboratory, Underground Research Group

*:Mitsubishi Corporation, **: Quintessa Limited

目次

はじめに.....	1
1. 割れ目の分布特性に関する既存情報の整理.....	2
2. 割れ目の分布特性の統計解析及びそれに基づいた割れ目区分	11
3. 割れ目分布の空間的不均質性に関する解析・評価	17
3.1. 割れ目分布の不均質性に関する統計学的解析	17
3.2. 不均質場におけるプロセスについての不確実性の評価.....	22
3.3. 地質環境モデルに対する信頼性評価	25
4. まとめ	29
参考文献.....	30
付録-1.....	31
付録-2.....	89

表目次

表 3-1 亀裂透水量係数の対数平均値と対数標準偏差のファジーメンバーシップ分布... 17

図目次

図 1・1 Yucca Mountain サイトにおける露頭の亀裂分布の例 (Turcotte, 1997)	3
図 1・2 岩盤の Fragmentation の自己相似（フラクタル）モデル (Turcotte, 1997)	
.....	3
図 1・3 一次元フラクタルモデルと模擬ボーリング孔データの亀裂配置の類似性.....	4
図 1・4 Fragmentation のフラクタルモデルの特徴（自己相似的なスケーリング）	7
図 1・5 Box counting によるボーリング孔内亀裂配置の自己相似性の評価結果	8
図 1・6 孔内の亀裂頻度分布と自己アファインフラクタルモデル	9
図 1・7 亀裂頻度分布の Variogram が示す自己アファイン性とそのゆらぎ	10
図 2・1 DH・9 孔内亀裂頻度極大値の累積確率分布	13
図 2・2 極値分布関数の導出	14
図 2・3 DH・9 孔における極値データの確率分布と Gumbel 確率分布関数の比較.....	15
図 2・4 DH・9 孔データからす委呈した亀裂頻度極大値の出現間隔.....	16
図 3・1 $\mu=1.0$ に相当する亀裂透水量係数分布のバリエーション	18
図 3・2 亀裂ネットワークの例（亀裂頻度 = 0.3m^{-1} ）	19
図 3・3 亀裂ネットワークの例（亀裂頻度 = 0.1m^{-1} ）	20
図 3・4 亀裂ネットワークの例（亀裂頻度 = 5m^{-1} ）	21
図 3・5 亀裂ネットワークの平均透水係数と亀裂頻度との相関	23
図 3・6 亀裂ネットワークの平均透水係数と亀裂透水量係数対数平均値との相関.....	24
図 3・7 高透水性部のスケーリング特性と天然バリア目標性能の比較	26
図 3・8 命題「ニアフィールド岩盤ブロックに 3m 以上の低透水性 ($K<1E-9\text{m/s}$) 領域が確保できる」に関する ESL 階層プロセスモデル	27
図 3・9 命題「大規模破碎帶の透水性が極端に高くない ($K<1E-6\text{m/s}$)」に関する ESL 階層プロセスモデル	28

はじめに

本研究は、地質・地質構造に関する調査研究において課題と成っている「割れ目の分布特性」について、規模、密度、方位、空隙形状などに着目した統計学的な解析を実施し、上記課題の解決を目的としたものである。具体的には、以下の解析及び解釈を実施した。

- ・ 割れ目の分布特性に関する既存情報の整理
- ・ 割れ目の分布特性の統計解析およびそれに基づいた割れ目区分
- ・ 割れ目分布の空間的不均質性に関する解析・評価

1. 割れ目の分布特性に関する既存情報の整理

岩盤のマトリクス部の透水性は、岩種によって大きく異なるものの、わが国の場合には、いずれの岩種においても、亀裂や破碎帯あるいは断層といった不連続面が卓越した地下水路となると考えられている（核燃料サイクル開発機構、1999）。亀裂、破碎帯あるいは断層といった岩盤の不連続面は、断層活動や地震等に伴い生じた歪みが解放される際に生じるものであり、歪みのエネルギーを散逸させるために自己相似的な fragmentation を生じると考えられている。例えば、図 1-1 に示す Yucca Mountain における露頭で観察されたひび割れの分布パターンは図 1-2 のフラクタルモデルと定性的に類似している（Turcotte, 1997）。このような fragmentation の分布パターンを実際の地質環境で観察できる場合は稀であり、多くの場合はボーリング孔に沿った亀裂の分布のみが観察できるに過ぎない。しかしながら、このような場合においても、図 1-3 の b) に示したような特徴的な亀裂配置がしばしば観察され、これは、ランダムなシェルピンスキーカーペット図 1-4 の b) に見られるような自己相似的な構造を明瞭に示している。

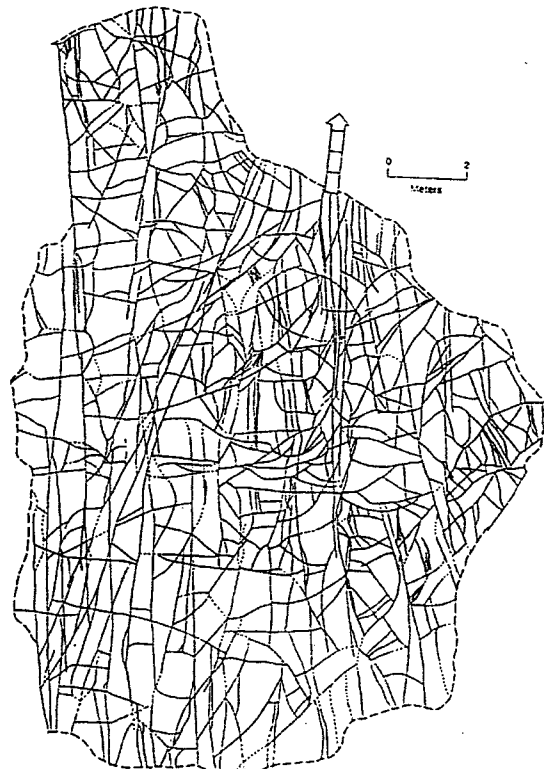


図 1-1 Yucca Mountain サイトにおける露頭の亀裂分布の例 (Turcotte, 1997)

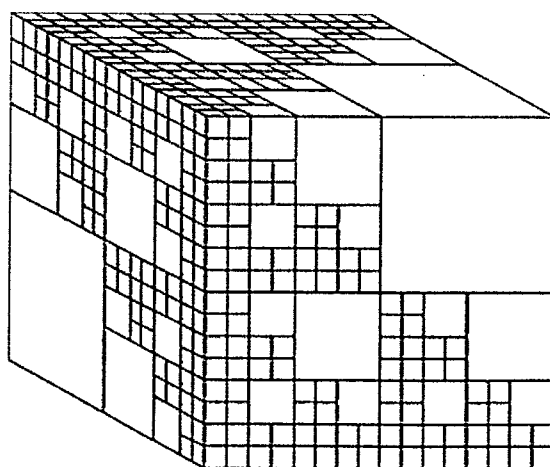
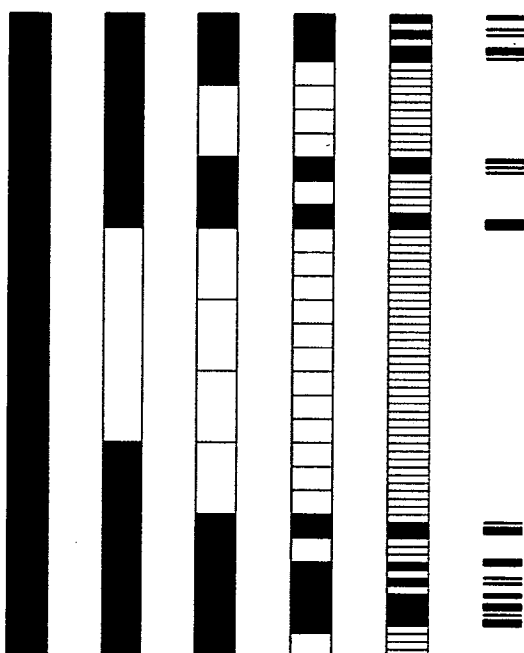


図 1-2 岩盤の Fragmentation の自己相似 (フラクタル) モデル (Turcotte, 1997)

a)ランダムなシェルビンスキーカーペットの作成手順



b)孔内の亀裂を含む区間(1m) の分布



図 1-3 一次元フラクタルモデルと模擬ボーリング孔データの亀裂配置の類似性

以上のような見かけ上の類似にとどまらず、亀裂分布の自己相似性はより定量的な方法で確認することができる。このような方法として最も一般的なものは box counting と呼ばれる方法であり、この方法は、

- ① 対象領域を同じ大きさの box に分割する
- ② 亀裂を含有する box の数をカウントする

という手順を box の大きさを種々に変えて実行することにより、亀裂を含む box の数と box の大きさの相関を調べるというものである。そして、この相関が以下のべき乗のものである場合、

$$N \propto r^{-D} \quad (1-1)$$

N : 亀裂を含む区間の数

r : 上記区間の大きさ

D : フラクタル次元

つまり、両対数グラフにおいて直線性を有するものである場合（図 1-4）には、この亀裂分布が自己相似性を有するものということができる（Turcotte, 1997）。図 1-5 に DH-9 孔内で観察された亀裂配置について行った box counting の結果を示す。これは、明瞭なべき乗タイプのスケーリング則を呈し、亀裂の配置に自己相似性が存在することを示している。

亀裂配置の自己相似性と関連した特徴として、亀裂頻度分布の自己アファイン性を挙げることができる。これは、バリオグラム γ

$$r(h) = \left[\frac{\sum_i \{p(i+h) - p(i)\}^2}{n(h)} \right]^{1/2} \quad (1-2)$$

γ : バリオグラム

p : 亀裂頻度

h : 二点間の距離

が、

$$r \propto h^\alpha \quad (1-3)$$

というべき乗のスケーリング特性を示すこととして定義される (Turcotte, 1997)。上と同一の孔内亀裂分布データの例についてバリオグラムを分析した結果が図 1-6 である。結果は、亀裂頻度分布の自己アファイン性を示すものと考えられるが、 h の大きい部分では、ゆらぎも顕著である。

亀裂の自己相似的な構造では、大規模な不連続面が低頻度で含まれることとなり、一般にこれは断層や破碎帯などの亀裂頻度の高いものに対応している。このことは、ある比較的大きな間隔をもって亀裂頻度の高い部位（大規模な構造）が出現することを意味し、この場合、 h がこの間隔と同程度となった場合に、2 点間で同様の特徴を拾い上げることによってバリオグラムが極小値を示すことを示唆する図 1-7 に見られるバリオグラムの「ゆらぎ」は、このような稀頻度の大規模な構造に起因するものと考えられる。

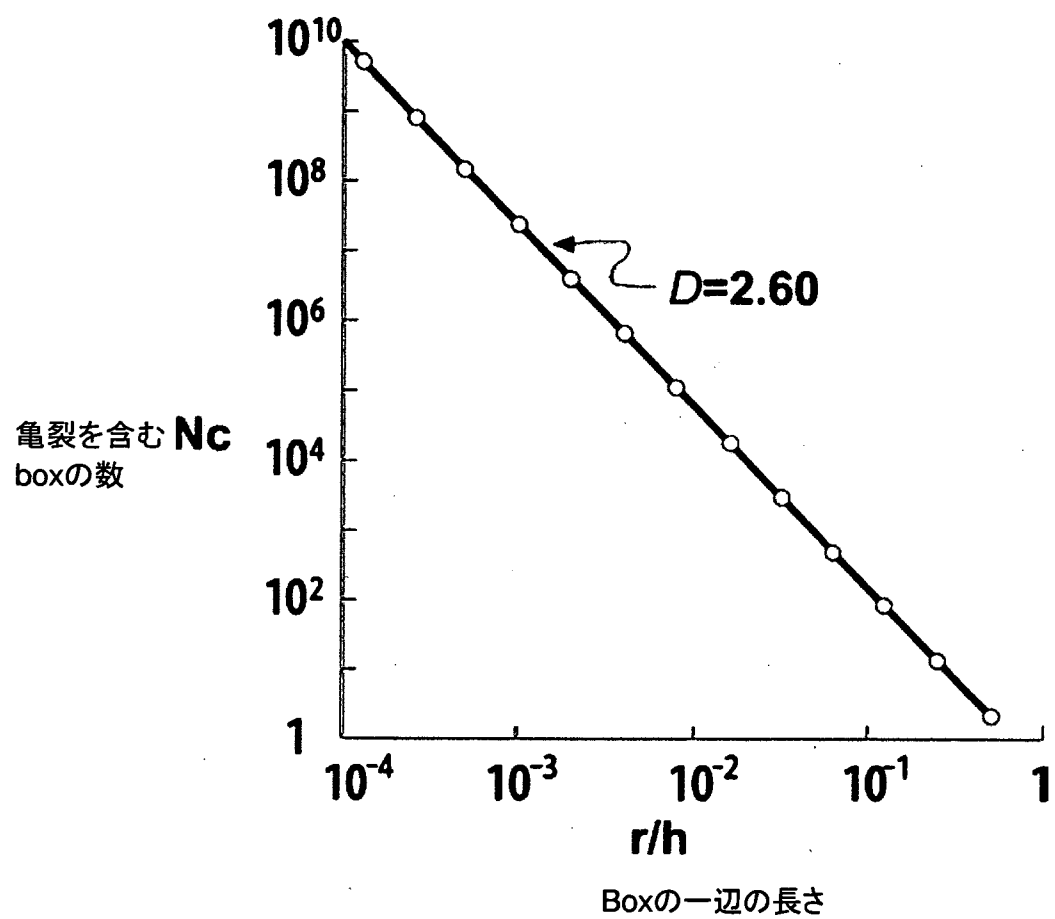


図 1-4 Fragmentation のフラクタルモデルの特徴（自己相似的なスケーリング）

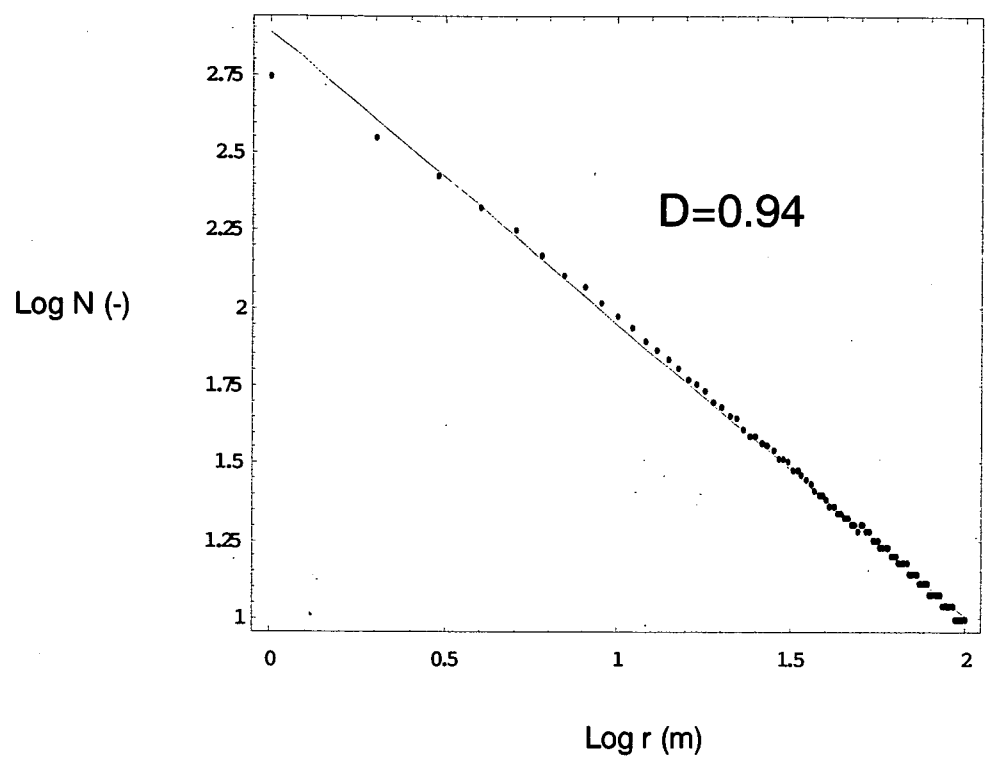


図 1・5 Box counting によるボーリング孔内亀裂配置の自己相似性の評価結果

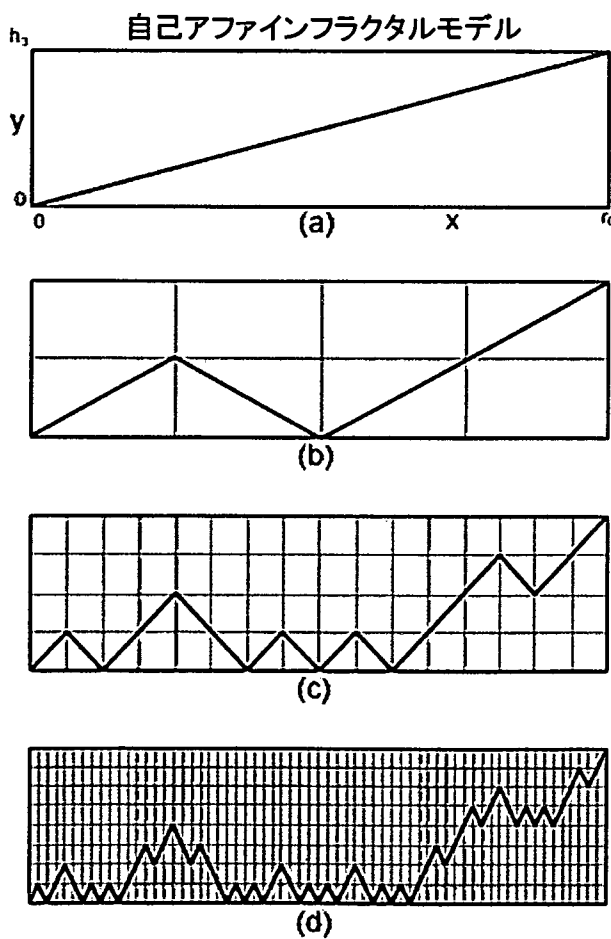
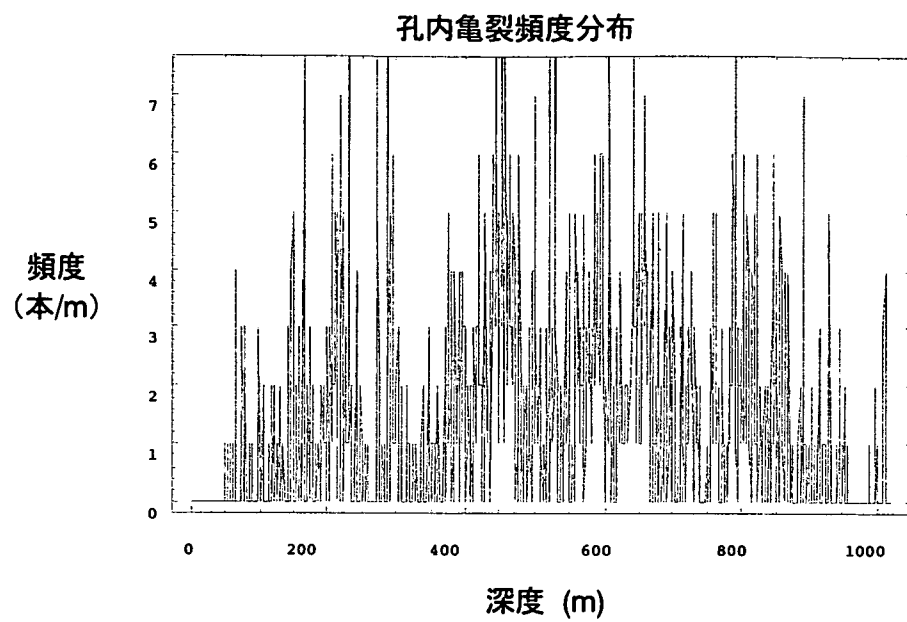


図 1・6 孔内の亀裂頻度分布と自己アファインフラクタルモデル

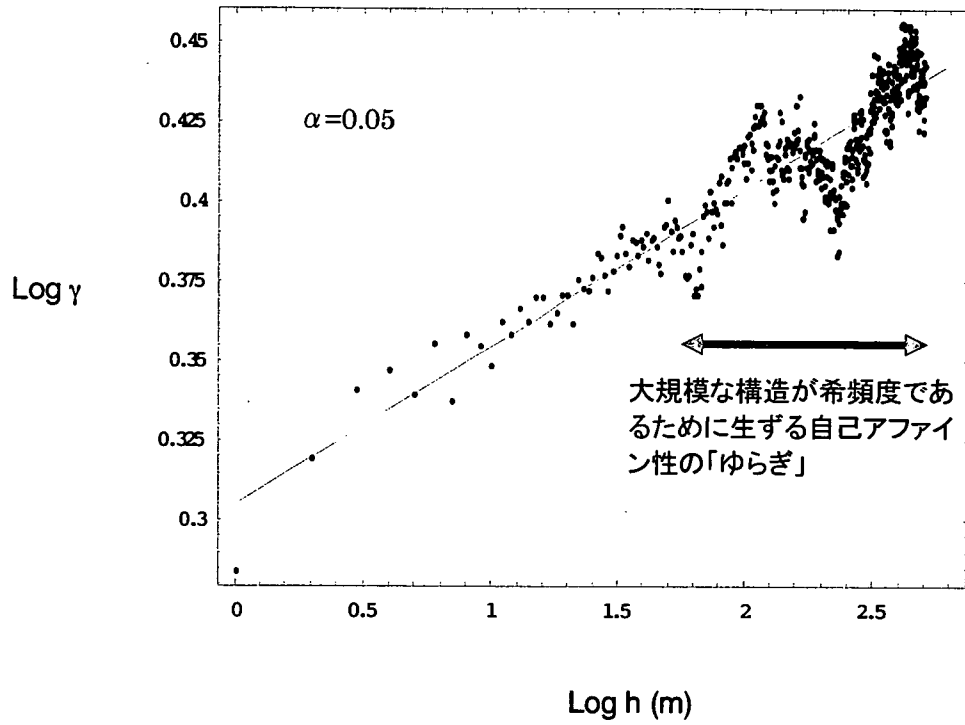


図 1・7 龜裂頻度分布の Variogram が示す自己アファイン性とそのゆらぎ

2. 割れ目の分布特性の統計解析及びそれに基づいた割れ目区分

亀裂分布の中に含まれる断層や破碎帯のような稀頻度の大規模な特徴は、通常の統計的手法によって表現することが困難である。そこで、極値統計学の手法を適用して、これらの大規模な特徴の出現確率をモデル化することを試みる。

極値統計学は、与えられたデータの最頻値近傍に着目する通常の統計的手法と異なり、稀頻度で出現する極値の分布形を導出し、その統計的特徴を分析することにより、低確率ながら巨大な影響を及ぼす事象の評価を行う手法である。極値統計学は、これまで、

- ・ 気候（洪水、豪雨、等）
- ・ 地震
- ・ 経済（大恐慌、インフレ、等）

などの分野において適用されてきている。

確率分布関数 F に従う互いに独立な m 個のデータの最大値の確率分布関数が F^m であることは容易に確認できる。ここで、極値統計学の基本的な定理は、次のことを主張するものである（Reiss and Thomas, 2001）。

定理 (Fisher-Tippett)

$F^m(b_m + a_m x)$ が $n \rightarrow \infty$ の極限において、有意な分布関数に収束するのであれば、その分布関数は、元の分布関数 F によらず、一般極値分布関数

$$G_r\left(\frac{x-\mu}{\sigma}\right) = \exp\left(-\left(1+r\frac{x-\mu}{\sigma}\right)^{-\frac{1}{r}}\right), \quad 1+r\frac{x-\mu}{\sigma} > 0, r \neq 0 \quad (2-1)$$

に従う。即ち、

$$\left| F^M(x) - G_r\left(\frac{x-\mu_m}{\sigma_m}\right) \right| \rightarrow 0, \quad m \rightarrow \infty \quad (2-2)$$

なお、 μ は分布の中央の位置に対応するパラメータであり、正規分布の平均値に類似した

ものである（Gumbel 分布の場合には平均値とはならないが、正規分布の場合との類似性から、「位置のパラメータ」と呼ばれる）。 μ を変動することによって、分布関数は左右にシフトすることとなる。また、 σ は同じく、正規分布の標準偏差に類似したものであり、これを変動することによって分布関数の横軸のスケールが変動することとなる。

前出の孔内亀裂頻度分布データから各 10m 区間の最大値を抽出し、その累積確率分布をまとめたものが図 2-1 である。これに対して、極値分布関数として最も一般的な Gumbel 分布（2-1）式において $\gamma \rightarrow \infty$ に相当する）を選択した場合、以下の式を解くことによって Gumbel 分布の位置のパラメータ μ 及びスケールのパラメータ σ を決定することができる（Reiss and Thomas, 2001）。

$$\sigma - \frac{\sum_{i=1}^n x_i}{n} + \frac{\sum_{i=1}^n x_i \exp\left(\frac{-x_i}{\sigma}\right)}{\sum_{i=1}^n \exp\left(\frac{-x_i}{\sigma}\right)} = 0 \quad (2-3)$$

$$\mu = -\sigma \log \left[\frac{\sum_{i=1}^n \exp\left(\frac{-x_i}{\sigma}\right)}{n} \right] = 0$$

ただし、 x_i ($i = 1, 2, \dots, n$) は各区間での亀裂頻度の最大値

(2-3)を解いて求めた位置のパラメータ μ 及びスケールのパラメータ σ に対応する Gumbel 分布を図 2-2 に示す。図 2-3 に比較するように、こうして求めた Gumbel 分布は 各区間における亀裂頻度最大値の分布を良く近似するものとなっている。

一旦のような極値分布関数が得られると、これを外挿することにより、さらに稀頻度の（大規模な）破碎帶の出現確率（あるいは出現間隔）を予測することができる。結果を図 2-4 に示す。同図から明らかな通り、亀裂頻度 5/m 以上の極値の出現間隔は、極値の増大に伴って指數関数的に増大することがわかる。

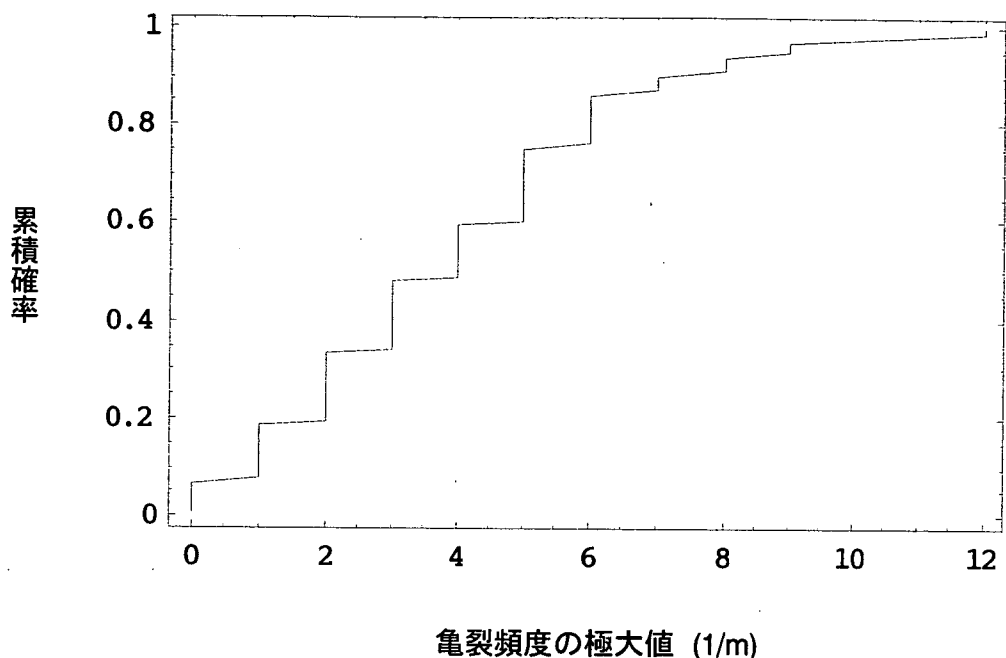
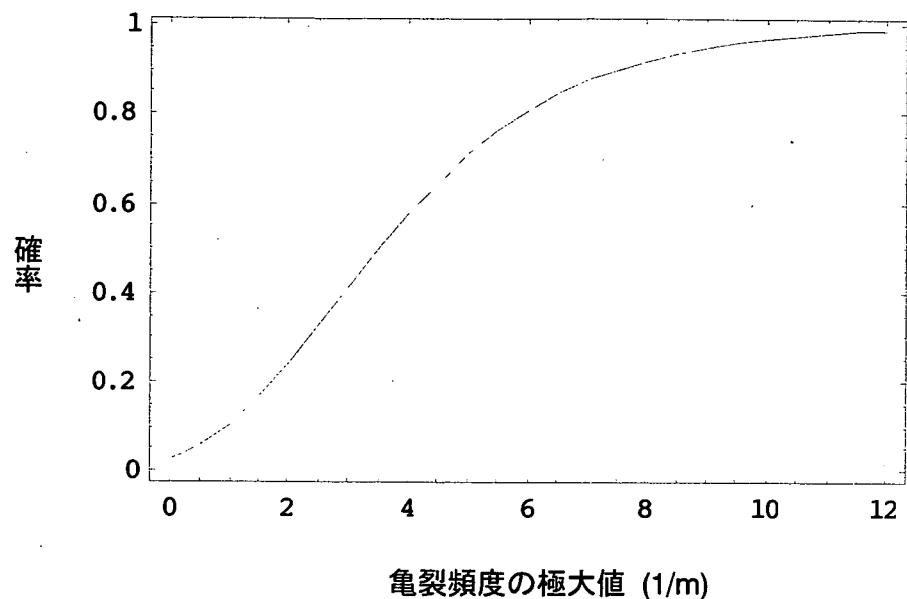


図 2・1 DH・9 孔内亀裂頻度極大値の累積確率分布

各 10m 区間 ($m=10$)における亀裂頻度の極大値に着目し、累積確率分布を定義したもの



亀裂頻度の極大値 ($1/m$)

図 2-2 極値分布関数の導出

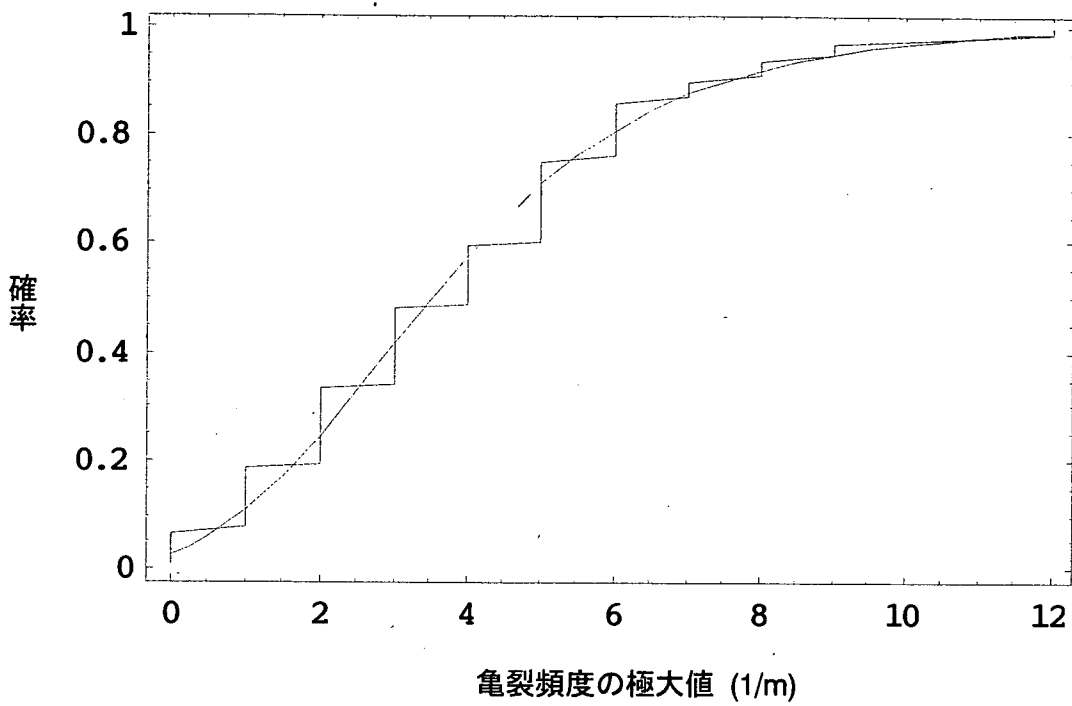


図 2-3 DH-9 孔における極値データの確率分布と Gumbel 確率分布関数の比較

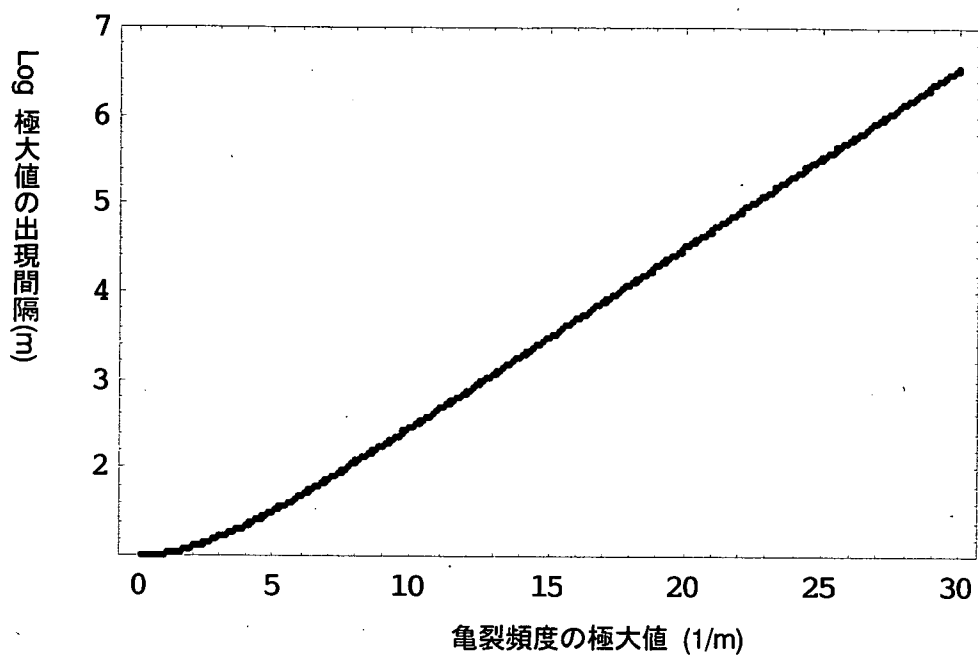


図 2-4 DH-9 孔データからす委呈した亀裂頻度極大値の出現間隔

3. 割れ目分布の空間的不均質性に関する解析・評価

3.1. 割れ目分布の不均質性に関する統計学的解析

前項までの検討によって、多数存在する小規模の亀裂の統計的自己アファイン性とより稀頻度の破碎帶の極値統計的特性がモデル化された。しかしながら、本来必要な情報は、これらの不連続面の影響を含めた岩盤の局所的な平均透水係数である。そこで、亀裂頻度: $0.1 \text{ m}^{-1} \sim 5 \text{ m}^{-1}$ の範囲で、各亀裂の透水量係数分布の不確実性を考慮して亀裂ネットワークモデルを作成してその平均的透水係数を調べることとした。

解析にあたっては、亀裂透水量係数の対数平均値と対数標準偏差のファジーメンバーシップ分布をそれぞれ矩形分布として表現し、メンバーシップ $\mu=1.0$ の上下限を以下のように設定して、亀裂ネットワークについてのファジーモンテカルロシミュレーションを行った。具体的には、それぞれのパラメータのメンバーシップ分布からランダムにサンプリングを行って 100 ケースの亀裂ネットワークを作成した。ランダムに発生される亀裂透水量係数分布のバリエーションを図 3-1 に模式的に示す。

表 3-1 亀裂透水量係数の対数平均値と対数標準偏差のファジーメンバーシップ分布

	$\mu=1.0$ の最小値	$\mu=1.0$ の最大値
亀裂透水量係数 (m^2/s) の対数平均値	-11	-9
亀裂透水量係数 (m^2/s) の対数標準偏差	1	2

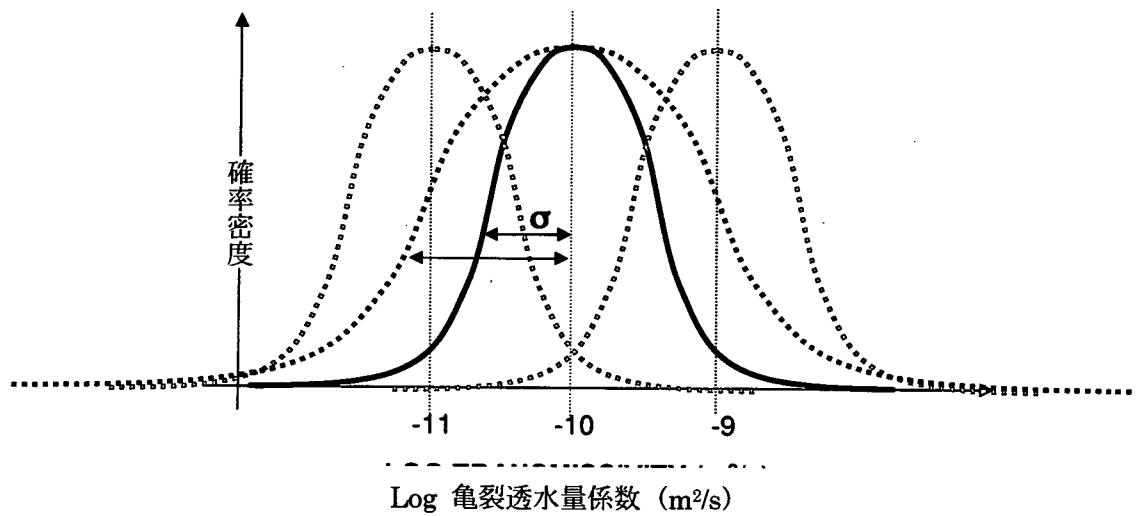
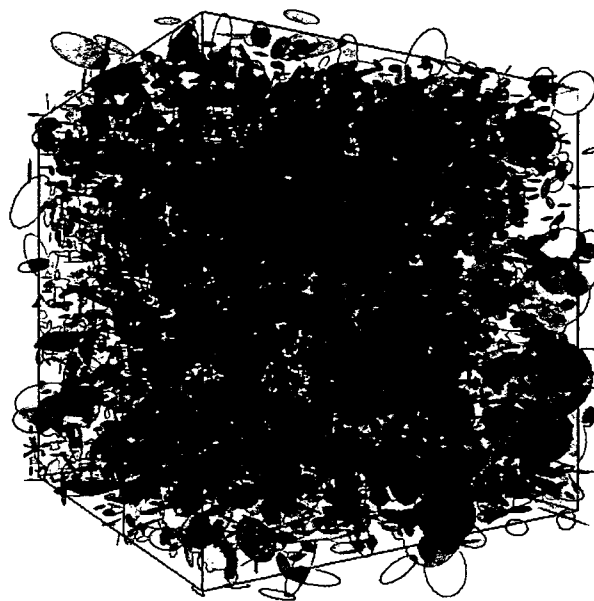
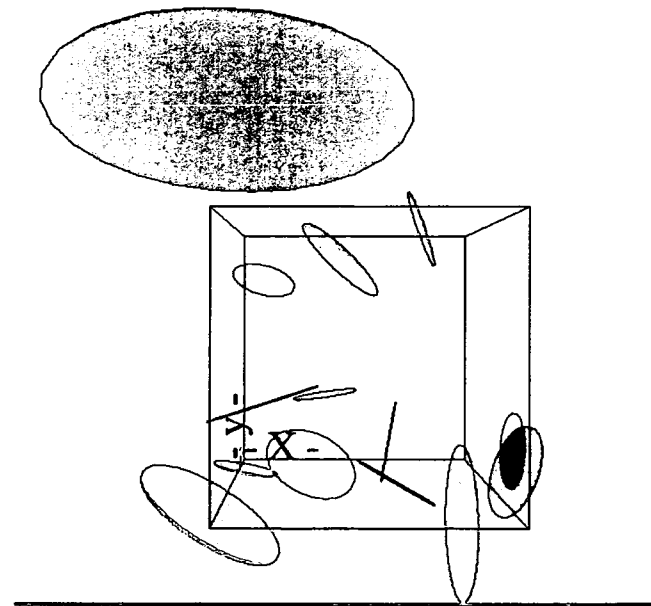


図 3-1 $\mu=1.0$ に相当する亀裂透水量係数分布のバリエーション

100m × 100m × 100m



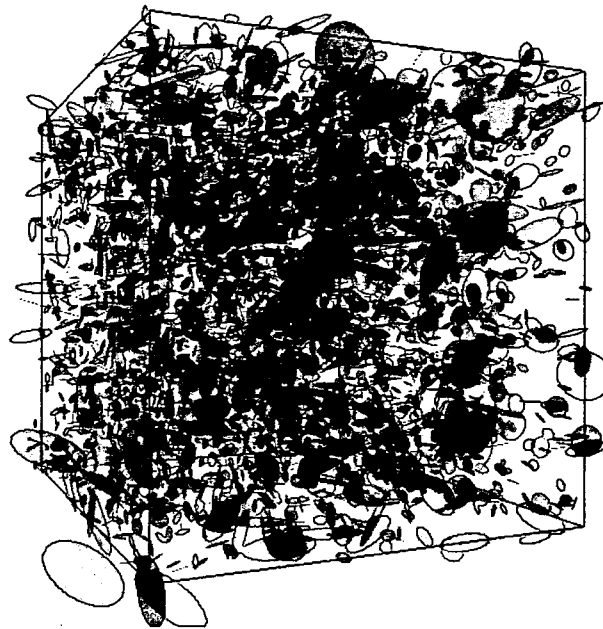
10m × 10m × 10m



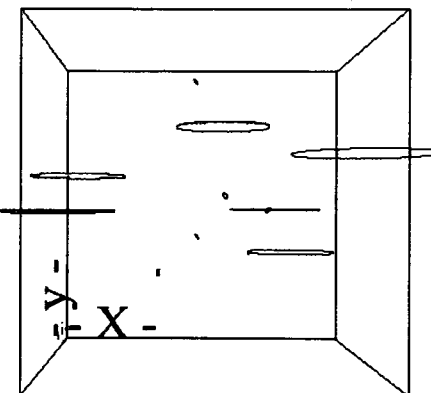
見易さのために、10m 以上の大きさの亀裂は表示していない

図 3-2 亀裂ネットワークの例（亀裂頻度 = 0.3m^{-1} ）

100m × 100m × 100m



10m × 10m × 10m



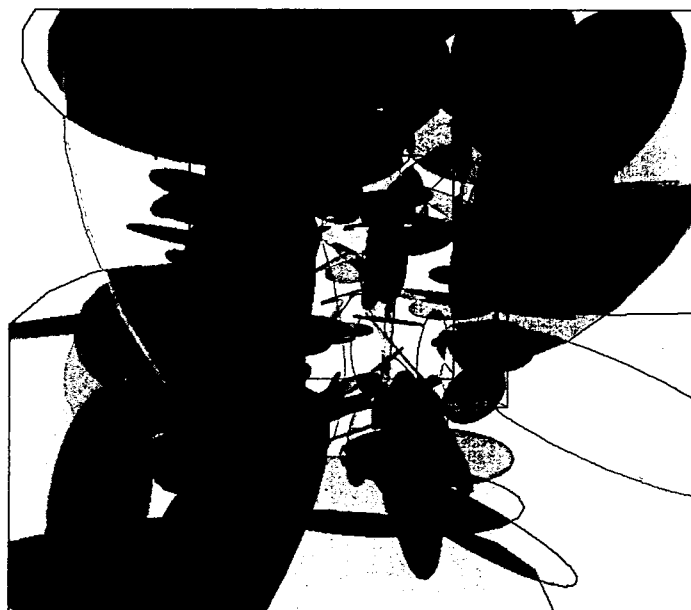
見易さのために、10m 以上の大きさの亀裂は表示していない

図 3-3 亀裂ネットワークの例 (亀裂頻度 = 0.1m^{-1})

$100m \times 100m \times 100m$

亀裂数が膨大であり、描画パッケージ
のメモリー制限から表示していない

$10m \times 10m \times 10m$



見易さのために、10m 以上の大きさの亀裂は表示していない

図 3-4 亀裂ネットワークの例（亀裂頻度 = $5m^{-1}$ ）

3.2. 不均質場におけるプロセスについての不確実性の評価

亀裂ネットワークについてのファジーシミュレーションで作成した100個の亀裂ネットワークモデルのそれぞれについて3次元地下水流动解析を行い、各モデルにおける平均透水係数を算出した。その結果、岩盤ブロックの平均透水係数に対して最も支配的な感度を有するのは亀裂頻度であり、両対数グラフでの傾きは2に近いものとなることがわかった。これは、亀裂間の連絡性が亀裂頻度に非線形に依存するためと考えられる。また、 $\mu=1.0$ のメンバーシップに該当する平均透水係数の範囲は、亀裂透水量係数分布の不確実性を反映して、それぞれの亀裂頻度において約2桁程度あるものと考えられる（図3-5参照）。

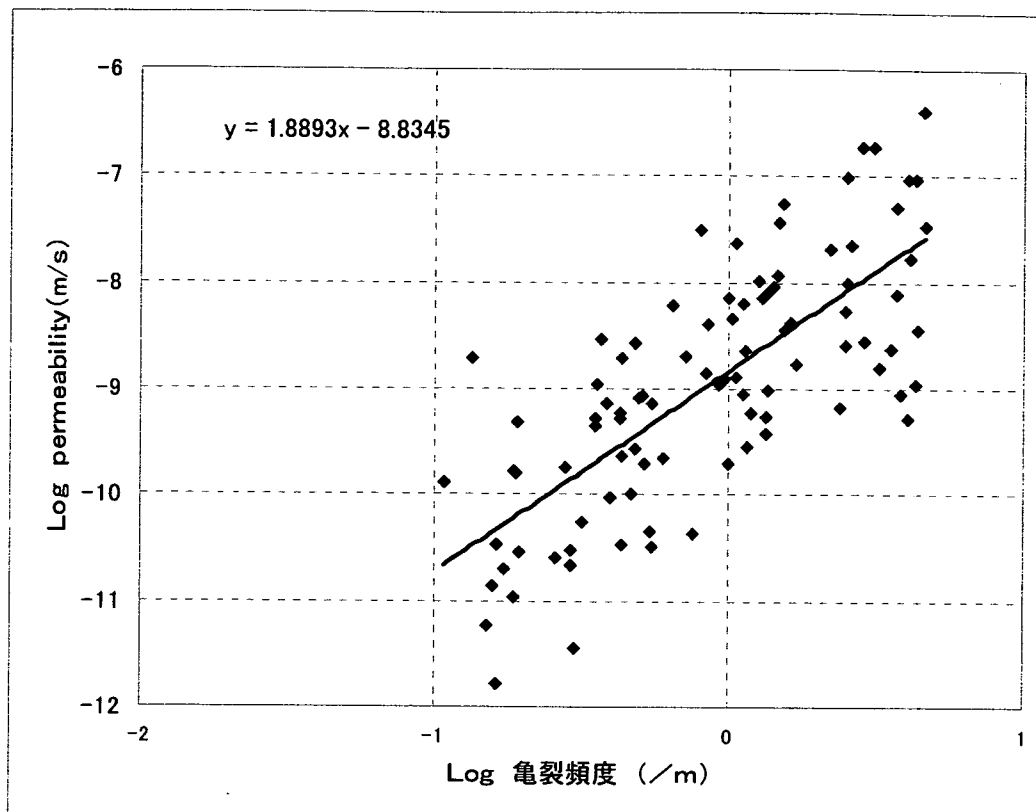


図 3-5 龜裂ネットワークの平均透水係数と亀裂頻度との相関

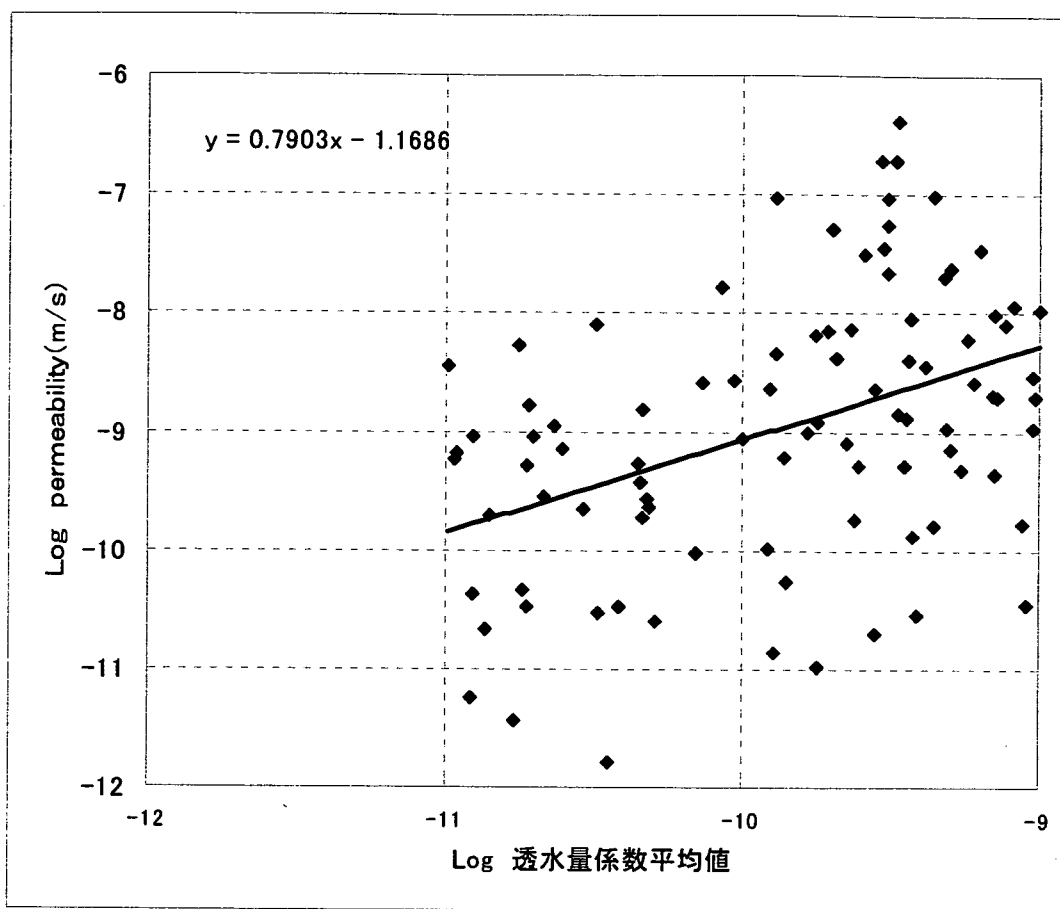


図 3-6 龜裂ネットワークの平均透水係数と亀裂透水量係数対数平均値との相関

3.3. 地質環境モデルに対する信頼性評価

亀裂状媒体の透水係数に対しては亀裂頻度が支配的な影響を有し、代表的な平均透水係数は亀裂頻度の約2乗に比例するが、亀裂透水量係数分布の対数平均値や対数標準偏差の不確実性を反映して、 $\mu=1.0$ のメンバーシップレベルにおいて約2桁程度の幅を持つこととなる。この結果を用いて、亀裂頻度についての極値統計的特性を平均透水係数に変換した結果が図3-7である。動水勾配として平地の代表的な値である0.01を想定すると、自己相似的な亀裂・破碎帯構造の階層的なスケールの地下水移行時間としては、例えば、

- 10^{-9} m/s の平均透水係数のクリティカルパスで移行距離 3m
 - 10^{-8} m/s の平均透水係数のクリティカルパスで移行距離 30m
 - 10^{-7} m/s の平均透水係数のクリティカルパスで移行距離 300m
 - 10^{-6} m/s の平均透水係数のクリティカルパスで移行距離 3,000m
- ...

となり、これと極値統計解析から導出された種々のクリティカルパスの透水係数とスケールの相関（同図中の水色の帯）を比較して、後者が前者よりも上にあるような部分が目標を達成することのできるような候補となる。このような観点からは、10m以内の良好な岩盤、あるいは1km程度以上の大規模破碎帯という両極端のスケールが有望と考えられる。

それぞれのスケールにおいて十分な地下水移行時間を確保できることを示すことを主命題とした場合の ESL（付録-2）の階層プロセスモデルの例を図3-8及び図3-9に示す。実際のサイトにおける不確実性解析では、当該時点での地質環境調査結果に基づき ESL の諸パラメータ値を設定することにより信頼性評価及び信頼性をさらに向上させるために次段階で行うべき調査・試験の優先順位付けを行うことが可能となる。

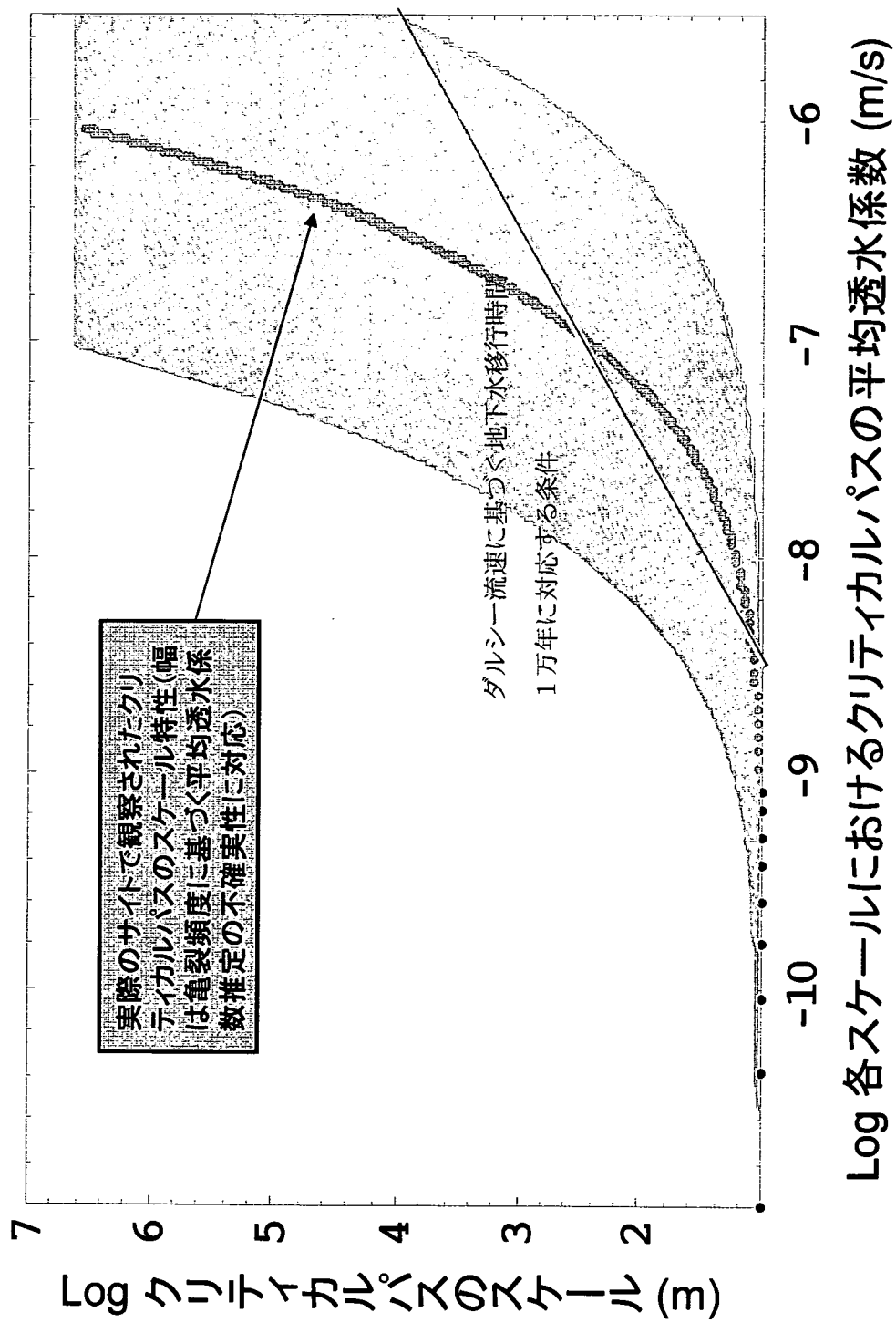


図 3-7 高透水性部のスケーリング特性と天然バリア目標性能の比較

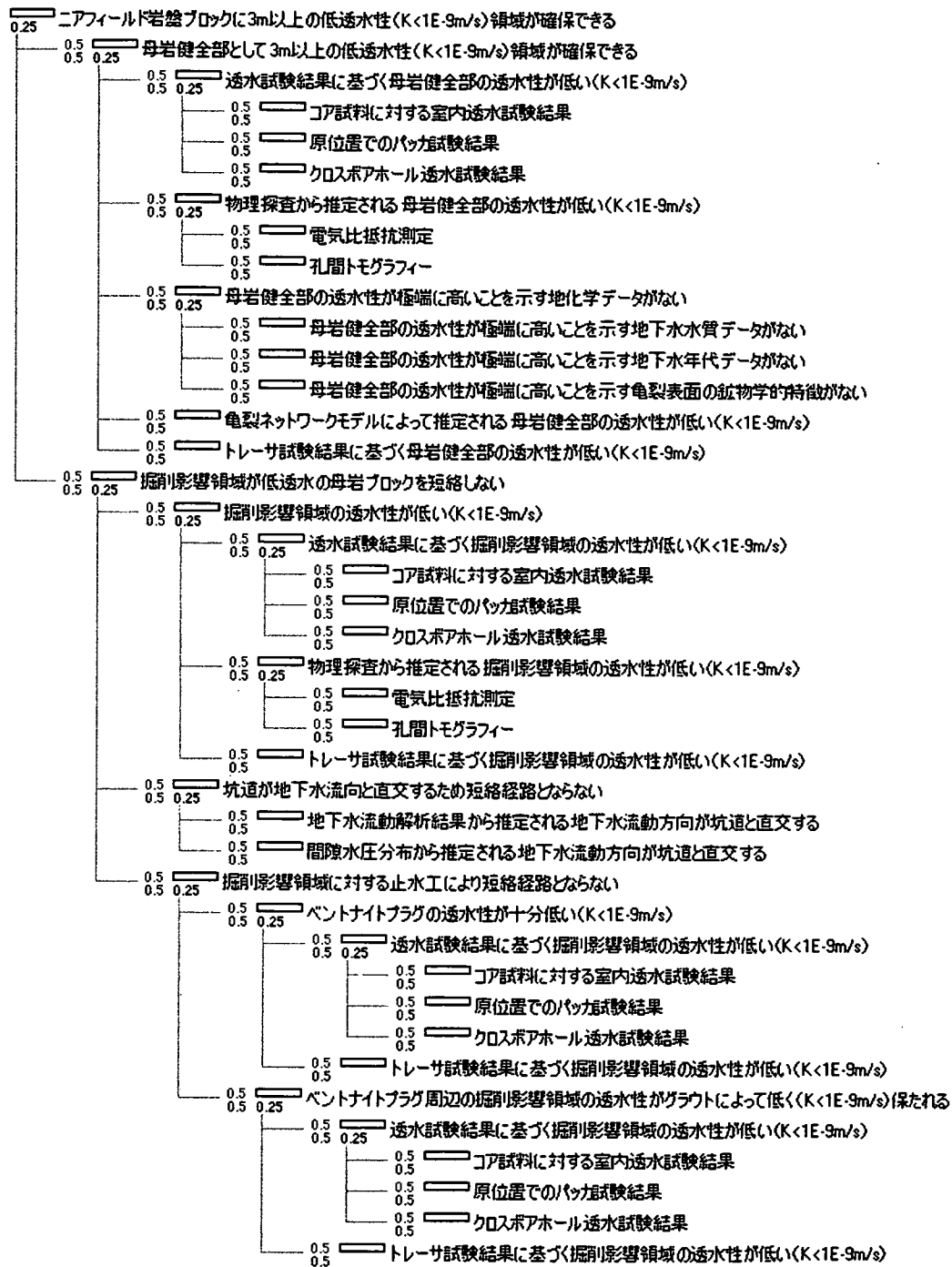


図 3-8 命題「ニアフィールド岩盤ブロックに 3m 以上の低透水性 ($K<1E-9m/s$) 領域が確保できる」に関する ESL 階層プロセスモデル

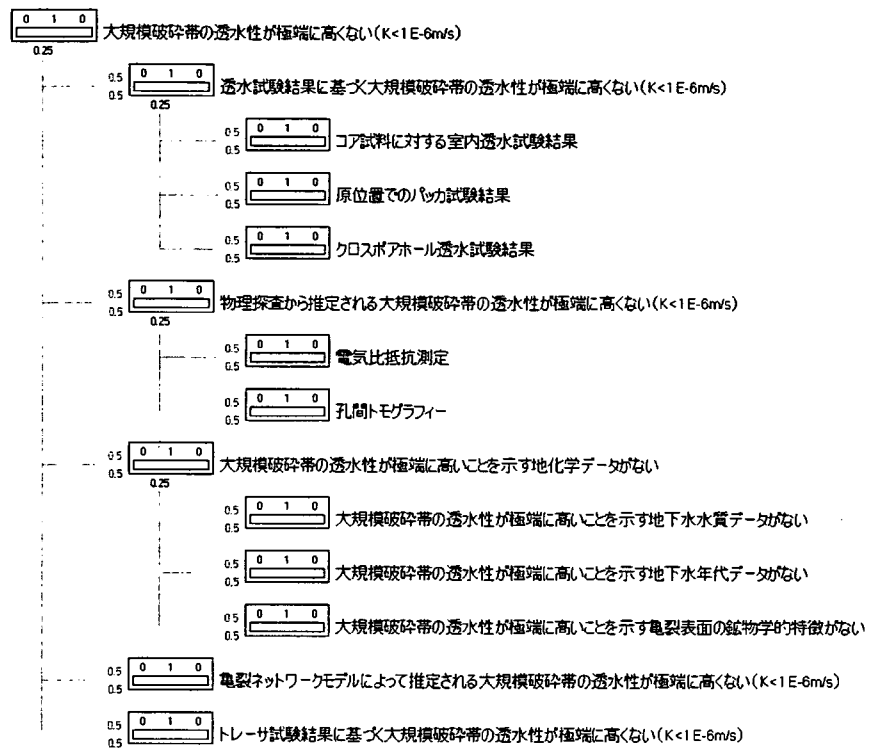


図 3-9 命題「大規模破碎帯の透水性が極端に高くなれない ($K<1E-6m/s$)」に関する ESL 階層プロセスモデル

4. まとめ

東濃地域のポーリング孔における亀裂頻度分布データに基づき、同地域における亀裂・破碎帯分布の自己相似性及び極値統計学的特徴を把握した。また、この結果に基づき、亀裂ネットワークモデルを用いた統計的水理解析を行い、水理地質学的な主要特性の一つであるダルシ一流速に基づく地下水移行時間は、小さいスケールの良好な岩盤ブロック、及び大規模な破碎帯において比較できる程度のものであることがわかった。

参考文献

核燃料サイクル開発機構, 1999. わが国における高レベル放射性廃棄物地層処分の技術的信頼性－地層処分研究開発第2次取りまとめ－ 分冊1 わが国の地質環境, 核燃料サイクル開発機構技術資料, JNC TN1400 99-021.

Turcotte, D.L., 1997. Fractals and chaos in geology and geophysics, 2nd edition. Cambridge University press, New York, 398p.

Reiss, R.D. and Thomas M., 2001. Statistical analysis of extreme values, 2nd edition. Birkhäuser, Berlin, 443p.

付録-1

孔内電気統計データ

NO	SET	dip	direction	クラスター分析用 x座標 y座標		DH-10 SEQ_NO	DEPTH (m)	STRIKE (deg)	DIP (deg)	APERTURE (mm)	STATUS	STYLE	CONDITION
				x	y								
3	3	64	340	-21.8893	60.14033	270	340	1	7.90	N	70 E	64 N	0 crack
2	2	31	182	-1.08188	60.9811	-270	182	2	8.22	N	88 W	31 S	0 hair crack
3	3	68	336	-27.6581	62.12109	270	336	3	9.04	N	66 E	68 N	0 hair crack
4	7	6	33	87	32.95477	1.727087	-90	87	4	9.60	N	3 W	0 crack
5	5	2	23	250	-21.6129	-7.86646	-270	250	5	9.73	N	20 W	23 W
6	7	1	13	199	-4.23239	-12.2917	-270	199	6	9.89	N	71 W	13 S
7	1	26	284	-55.2277	6.289969	270	284	7	9.98	N	14 E	26 W	0 hair crack
8	8	2	20	206	-8.76742	-17.9759	-270	206	8	10.04	N	64 W	20 S
9	9	2	16	205	-6.76189	-14.5009	-270	205	9	10.10	N	65 W	0 boundary
10	10	2	30	193	-6.74853	-29.2311	-270	193	10	10.49	N	77 W	30 S
11	11	1	57	262	-56.4455	-7.93287	-270	262	11	10.83	N	57 W	0 boundary
12	6	6	38	88	37.97685	1.326181	-90	88	12	11.13	N	2 W	0 crack
13	4	4	79	129	61.39453	-49.7163	90	129	13	11.17	N	39 E	79 SE
14	6	46	76	44.6336	11.12841	-90	76	14	11.30	N	14 W	46 E	0 hair crack
15	6	6	34	27	15.35568	30.29422	-90	27	15	12.26	N	63 W	0 crack
16	1	29	270	-29	0	0	270	16	12.33	NS	29 W	0 hair crack	
17	3	36	311	-27.1695	23.61813	270	311	17	12.47	N	41 E	36 NW	
18	2	20	154	8.767423	-17.9759	90	154	18	12.56	N	64 E	20 S	
19	4	49	127	39.1314	-29.4889	90	127	19	12.60	N	37 E	49 SE	
20	2	36	187	-4.3873	-35.7317	-270	187	20	12.67	N	83 W	36 S	
21	6	66	78	64.55774	13.72217	-90	78	21	12.69	N	12 W	66 E	
22	2	28	115	25.37662	-11.8533	90	115	22	12.74	N	25 E	28 E	
23	6	47	84	46.17423	4.912638	-90	84	23	12.86	N	6 W	47 E	
24	6	29	59	24.85785	14.9361	-90	59	24	13.07	N	31 W	29 NE	
25	6	28	67	25.77414	10.94047	-90	67	25	13.63	N	23 W	28 E	
26	6	51	94	50.87577	-3.55758	90	94	26	13.71	N	4 E	51 E	
27	6	51	97	50.611955	-6.21534	90	97	27	13.93	N	7 E	51 E	
28	2	11	270	-11	0	0	270	28	14.03	NS	11 W	23 open crack	
29	4	43	129	33.41728	-27.0608	90	129	29	14.17	N	39 E	43 SE	
30	2	35	122	29.68168	-18.5472	90	122	30	14.22	N	32 E	35 SE	
31	2	30	121	25.11562	-15.4511	90	121	31	14.24	N	31 E	30 SE	
32	6	20	72	19.02113	6.18034	-90	72	32	14.29	N	18 W	20 E	
33	2	18	139	11.80906	-13.5848	90	139	33	14.35	N	49 E	18 SE	
34	2	24	119	20.99087	-11.6354	90	103	34	14.42	N	13 E	24 E	
35	4	41	137	27.96193	-29.9855	90	137	35	14.51	N	47 E	41 SE	
36	4	43	145	24.66379	-35.2235	90	145	36	14.55	N	55 E	43 SE	
37	2	20	141	12.58641	-15.5429	90	141	37	14.76	N	51 E	20 SE	
38	2	18	163	5.282691	-17.2135	90	163	38	14.79	N	73 E	18 S	
39	2	24	119	20.99087	-11.6354	90	119	39	15.16	N	29 E	24 E	
40	1	36	298	-31.7861	16.90098	270	298	40	15.42	N	28 E	36 W	
41	4	41	138	27.43435	-30.4689	90	138	41	15.47	N	48 E	41 SE	
42	2	29	175	2.527517	-28.8896	90	175	42	15.56	N	85 E	29 S	
43	2	25	169	4.770225	-24.5407	90	169	43	15.59	N	79 E	35 open crack	
44	2	26	144	15.28242	-21.0344	90	144	44	15.62	N	54 E	26 SE	
45	4	37	137	25.23394	-27.0601	90	137	45	15.66	N	47 E	37 SE	
46	3	57	316	-39.5955	41.00237	270	316	46	15.72	N	57 NW	0 hair crack	
47	3	38	346	-9.19303	36.87124	270	346	47	15.74	N	76 E	38 N	

48	49	143	19.8599	-26.355 90	33 SE	53 E	56 E	0 hair crack	0 boundary	0 hair crack	0 boundary	0 hair crack	0 boundary	0 boundary
2	3	21	-11.7431	17.40979 270	326	49	15.93	16.16	16.16	16.16	16.16	16.16	16.16	16.16
4	50	47	150	23.5	-40.7032 90	150	50	16.23	17.1 E	18 S	17 E	18 S	17 E	18 S
51	51	2	18	161	5.886227	-17.0193 90	161	51	16.23	17.1 E	18 S	17 E	18 S	17 E
52	52	2	2	16	145	9.177223	-13.1064 90	145	52	16.28	N	16 SE	N	16 SE
53	53	2	13	250	-12.2116	-4.44626 -270	250	53	16.36	N	20 W	13 W	0 hair crack	0 boundary
54	54	2	33	127	26.35497	-19.8599 90	127	54	16.71	N	37 E	33 SE	0 hair crack	0 boundary
55	55	2	21	105	20.54244	-5.4352 90	105	55	16.84	15 E	21 E	0 hair crack	0 boundary	0 boundary
56	56	2	33	131	24.905642	-21.6499 90	131	56	16.91	N	41 E	33 SE	0 hair crack	0 boundary
61	61	1	24	294	-21.9251	9.761679 270	294	57	17.03	N	24 E	24 W	0 hair crack	0 boundary
58	58	6	47	97	46.64967	-5.72786 90	97	58	17.10	N	7 E	47 E	0 hair crack	0 boundary
59	59	6	37	111	34.54248	-13.2596 90	111	59	17.23	21 E	37 E	0 hair crack	0 boundary	0 boundary
60	60	2	15	143	9.027225	-11.9795 90	143	60	17.28	N	53 E	15 SE	0 hair crack	0 boundary
61	61	2	35	180	0	-35	0	180	61	17.40	EW	35 S	0 boundary	0 boundary
62	62	6	39	22	14.609866	36.16017 -90	22	62	17.48	N	68 W	39 N	0 hair crack	0 boundary
63	63	2	29	174	3.031325	-28.8411 90	174	63	17.66	E	84 E	29 S	0 hair crack	0 boundary
64	64	2	21	148	11.1283	-17.869 90	148	64	17.72	N	58 E	21 SE	0 hair crack	0 boundary
65	65	2	20	273	-19.9726	1.046719 270	273	65	17.82	N	3 E	20 W	0 hair crack	0 boundary
66	66	2	24	165	6.211657	-23.1822 90	165	66	17.96	E	75 E	24 S	0 hair crack	0 boundary
67	67	2	23	242	-20.3078	-10.7978 -90	242	67	18.04	N	28 W	23 W	0 hair crack	0 boundary
68	68	4	37	127	29.54951	-22.2672 90	127	68	18.21	N	37 E	37 SE	0 hair crack	0 boundary
69	69	3	66	319	-63.2999	49.81083 270	319	69	18.30	N	49 E	66 NW	0 crack	0 boundary
70	70	2	21	115	19.03246	-8.87498 90	115	70	18.52	N	25 E	21 E	0 hair crack	0 boundary
71	71	4	77	138	51.532306	-57.2222 90	138	71	18.52	N	48 E	77 SE	0 hair crack	0 boundary
72	72	3	85	307	-67.884	51.15428 270	307	72	18.54	N	37 E	85 NW	0 crack	0 boundary
73	73	3	71	309	-55.1774	44.68175 270	309	73	18.61	N	39 E	71 NW	0 hair crack	0 boundary
74	74	1	51	298	-55.0303	23.94305 270	298	74	18.71	N	28 E	51 W	0 hair crack	0 boundary
75	75	2	24	149	12.36091	-20.572 90	149	75	19.16	N	59 E	24 SE	0 hair crack	0 boundary
76	76	2	17	175	1.481648	-16.9353 90	175	76	19.85	N	85 E	17 S	0 hair crack	0 boundary
77	77	2	29	161	9.441476	-27.42 90	161	77	20.00	N	71 E	29 S	0 hair crack	0 boundary
78	78	2	20	148	10.59839	-16.961 90	148	78	20.03	N	58 E	20 SE	0 hair crack	0 boundary
79	79	4	85	150	42.5	-73.6122 90	150	79	20.15	N	60 E	85 S	0 hair crack	0 boundary
80	80	6	40	96	39.78088	-4.18114 90	96	80	20.27	N	6 E	40 E	0 hair crack	0 boundary
81	81	5	66	172	9.185425	-65.3577 90	172	81	21.40	N	82 E	66 S	0 crack	0 boundary
82	82	3	35	322	-21.5482	27.58038 270	322	82	21.66	N	52 E	35 NW	0 flow structure	0 infillings
83	83	5	64	187	-7.79964	-63.523 -270	187	83	22.17	N	83 W	64 S	7.5 open crack	0 boundary
84	84	1	27	300	-23.3827	13.5 270	300	84	22.45	N	30 E	27 NW	0 hair crack	0 boundary
85	85	3	24	24	9.761679	21.92509 -90	24	85	22.77	N	66 W	24 N	0 hair crack	0 boundary
86	86	6	47	90	47	0	90	86	22.90	NS	47 E	0 hair crack	0 boundary	0 boundary
87	87	4	48	128	37.82452	-29.5518 90	128	87	23.14	N	48 SE	27 N	0 crack	0 boundary
88	88	6	27	26	11.83662	24.26744 -90	26	88	23.46	N	64 W	27 N	0 crack	0 boundary
89	89	3	15	342	-4.63525	14.26385 270	342	89	23.78	N	72 E	15 N	0 hair crack	0 boundary
90	90	5	67	172	9.324568	-66.346 90	172	90	24.25	E	82 E	67 S	0 hair crack	0 boundary
91	91	2	3	4	0.209269	2.992692 -90	4	91	24.31	N	86 W	3 N	0 crack	0 boundary
92	92	3	8	2	0.279196	7.995127 -90	2	92	24.32	N	88 W	8 N	1.5 open crack	0 boundary
93	93	3	22	338	-8.24135	20.39804 270	338	93	24.37	N	68 E	22 N	0 hair crack	0 boundary
94	94	1	30	284	-29.8357	-3.13585 -270	284	94	24.43	N	6 W	30 W	0 hair crack	0 boundary
95	95	6	34	9	5.318772	33.5814 -90	9	95	24.43	N	81 W	34 N	0 crack	0 boundary
96	96	2	14	166	3.386907	-13.5941 90	166	96	24.56	N	76 E	14 S	0 crack	0 boundary
97	97	2	9	258	-8.80333	-1.87121 -270	258	97	24.56	N	12 W	9 W	0 hair crack	0 boundary

98	227	-10.9703	-10.23	-270	227	15 SW	43 W	P	-	
99	225	-17.6777	-17.70	-270	225	25 SW	45 W	P	-	
100	227	135	19.0918	-19.0919	90	135	100	25.00	45 E	
101	19	152	8.91996	-16.7776	90	152	101	25.13	62 E	
102	1	70	268	-68.9574	-2.44296	-270	268	102	26.52	N
103	22	157	8.596085	-20.2511	90	157	103	26.55	67 E	
104	1	65	264	-64.6439	-6.79435	-270	264	104	26.67	6 W
105	1	52	297	-46.3323	23.80751	270	297	105	27.39	27 E
106	3	33	306	-26.6976	19.39691	270	306	106	28.13	36 E
107	5	39	318	-15.2385	-35.8997	-270	318	112	29.34	38 W
108	4	69	154	30.24761	-62.0168	90	154	108	28.88	64 E
109	2	21	222	-14.0517	-15.606	-270	222	109	28.88	48 W
110	2	22	241	-19.2416	-10.6658	-270	241	110	28.97	29 W
111	2	28	232	-22.0643	-17.2385	-270	232	111	29.19	38 W
112	3	3	27	318	-18.06649	270	318	112	29.34	48 E
113	1	25	286	-24.0315	6.8890924	270	286	113	29.39	16 E
114	6	74	74	71.13337	20.39716	90	74	114	29.72	21 SW
115	2	27	208	-12.6757	-23.8396	-270	208	115	29.95	62 W
116	2	8	168	1.663294	-7.32518	90	168	116	30.55	78 E
117	1	33	280	-32.4987	5.73039	270	280	117	31.20	10 E
118	1	42	291	-39.2104	15.05145	270	291	118	31.42	21 E
119	1	39	253	-37.2959	-11.4025	-270	253	119	31.88	17 W
120	5	46	223	-31.3719	-33.6423	270	223	120	31.92	47 W
121	2	24	205	-10.1428	-21.7514	-270	205	121	32.02	65 W
122	1	36	289	-34.0387	11.72045	270	289	122	32.87	19 E
123	3	40	333	-18.1596	35.64026	270	333	123	33.10	63 E
124	3	45	315	-31.8198	31.81981	270	315	124	33.25	45 NW
125	1	35	245	-31.7208	-14.7916	-270	245	125	33.73	25 W
126	6	33	32	17.48734	27.98559	-90	32	126	34.22	58 W
127	6	31	29	15.0291	27.11321	-90	29	127	34.31	61 W
128	6	73	35	41.81708	59.7981	-90	35	128	37.22	55 W
129	2	21	255	-20.2844	-5.4352	-270	255	129	39.63	15 W
130	2	32	201	-11.4678	-29.746	-270	201	130	40.73	69 W
131	1	33	228	-24.5238	-22.0813	-270	228	131	41.00	42 W
132	5	43	210	-21.5	-37.2391	-270	210	132	41.24	60 W
133	2	34	199	-11.0693	-32.1476	-270	199	133	41.27	71 W
134	6	53	59	45.42987	27.29702	-90	59	134	41.66	31 W
135	6	54	43	36.32791	39.4931	-90	43	135	41.74	47 W
136	2	47	187	-5.72786	-46.6497	-270	187	136	41.98	83 W
137	5	45	198	-13.9058	-52.7975	-270	198	137	42.11	72 W
138	6	70	41	45.82413	52.82967	-90	41	138	43.16	49 W
139	2	14	270	-14	0	0	270	139	43.99	NS
140	6	45	75	43.46666	11.64686	-90	75	140	44.18	15 W
141	3	35	321	-22.0262	27.20011	270	321	141	44.31	51 E
142	2	40	195	-10.3528	-38.637	270	195	142	46.28	75 W
143	1	24	281	-23.5591	4.579416	270	281	143	46.42	11 E
144	2	34	189	-5.31877	-23.55814	-270	189	144	46.56	81 W
145	2	35	190	-6.07769	-34.4683	-270	190	145	46.67	80 W
146	5	46	204	-18.7099	-42.0231	-270	204	146	46.76	66 W
147	2	19	273	-18.974	0.994383	270	273	147	47.34	3 E
									19 W	

148	176	3.139041	-44.8904	90	176	45 S	47.35	N	70 E	70 N	47.57	N	47.35	N	47.57	N	47.35	N	47.57	
149	28	340	-9.57656	26.51139	270	149	149	150	151	152	153	154	155	156	157	158	159	160	161	
150	2	244	-21.5711	-10.5209	-270	244	244	245	246	247	248	249	250	251	252	253	254	255	256	257
151	2	42	-1.9811	-41.9424	-270	183	183	184	185	186	187	188	189	190	191	192	193	194	195	196
152	2	22	193	-4.94892	-270	193	193	194	195	196	197	198	199	200	201	202	203	204	205	206
153	2	23	222	-15.39	-17.0923	270	222	222	223	224	225	226	227	228	229	230	231	232	233	234
154	2	23	202	-8.61595	-21.3252	-270	202	202	203	204	205	206	207	208	209	210	211	212	213	214
155	1	32	217	-19.2581	-25.5563	270	217	217	218	219	220	221	222	223	224	225	226	227	228	229
156	1	39	225	-27.5772	-270	225	225	226	227	228	229	230	231	232	233	234	235	236	237	238
157	2	14	196	-3.85892	-13.4577	-270	196	196	197	198	199	200	201	202	203	204	205	206	207	208
158	2	11	249	-10.2694	-3.94205	-270	249	249	250	251	252	253	254	255	256	257	258	259	260	261
159	1	37	245	-33.5334	-15.6369	-270	245	245	246	247	248	249	250	251	252	253	254	255	256	257
160	1	44	287	-42.0774	12.86436	270	287	287	288	289	290	291	292	293	294	295	296	297	298	299
161	3	80	0	0	0	0	0	0	0	0	0	0	0	0	0	0	0	0	0	0
162	2	43	191	-8.20479	-80	191	191	192	193	194	195	196	197	198	199	200	201	202	203	204
163	1	32	238	-27.1375	-16.9574	-270	238	238	239	240	241	242	243	244	245	246	247	248	249	250
164	2	29	210	-14.5	-25.1147	-270	210	210	211	212	213	214	215	216	217	218	219	220	221	222
165	2	23	215	-13.1923	-18.8405	-270	215	215	216	217	218	219	220	221	222	223	224	225	226	227
166	6	38	85	37.8554	3.311918	-90	85	85	86	87	88	89	90	91	92	93	94	95	96	97
167	2	27	154	11.83662	-24.2674	90	154	154	155	156	157	158	159	160	161	162	163	164	165	166
168	5	40	215	-22.9431	-32.7661	-270	215	215	216	217	218	219	220	221	222	223	224	225	226	227
169	2	13	262	-12.8735	-1.80925	-270	262	262	263	264	265	266	267	268	269	270	271	272	273	274
170	2	14	253	-13.6941	-2.91076	-270	253	253	254	255	256	257	258	259	260	261	262	263	264	265
171	2	15	260	-14.7721	-2.60472	-270	260	260	261	262	263	264	265	266	267	268	269	270	271	272
172	1	22	282	-21.5192	4.574057	270	282	282	283	284	285	286	287	288	289	290	291	292	293	294
173	5	51	198	-15.7589	-48.5039	-270	198	198	199	200	201	202	203	204	205	206	207	208	209	210
174	2	18	272	-17.9899	0.628191	270	272	272	273	274	275	276	277	278	279	280	281	282	283	284
175	3	17	354	-1.77688	16.90687	270	354	354	355	356	357	358	359	360	361	362	363	364	365	366
176	2	16	232	-12.6082	-9.85058	-270	232	232	233	234	235	236	237	238	239	240	241	242	243	244
177	2	13	240	-11.2583	-6.5	-270	240	240	241	242	243	244	245	246	247	248	249	250	251	
178	1	27	281	-26.5039	5.151843	270	281	281	282	283	284	285	286	287	288	289	290	291	292	293
179	1	28	286	-27.9318	-1.953118	-270	286	286	287	288	289	290	291	292	293	294	295	296	297	298
180	1	29	276	-28.8411	3.031325	270	276	276	277	278	279	280	281	282	283	284	285	286	287	288
181	1	23	297	-20.4932	10.4417	270	297	297	298	299	300	301	302	303	304	305	306	307	308	309
182	2	15	280	-14.7721	2.604723	270	280	280	281	282	283	284	285	286	287	288	289	290	291	292
183	2	12	255	-11.5911	-3.10583	-270	255	255	256	257	258	259	260	261	262	263	264	265	266	
184	2	14	256	-13.5841	-3.38891	-270	256	256	257	258	259	260	261	262	263	264	265	266	267	
185	2	21	233	-16.7713	-12.6381	-270	233	233	234	235	236	237	238	239	240	241	242	243	244	
186	2	16	227	-11.7017	-10.9112	-270	227	227	228	229	230	231	232	233	234	235	236	237	238	
187	2	16	239	-13.7147	-8.24061	-270	239	239	240	241	242	243	244	245	246	247	248	249	250	
188	3	79	16	21.77535	75.93367	-90	16	16	17	18	19	20	21	22	23	24	25	26	27	
189	2	14	240	-12.1244	-7	-270	240	240	241	242	243	244	245	246	247	248	249	250	251	
190	3	19	336	-7.728	17.35736	270	336	336	337	338	339	340	341	342	343	344	345	346	347	348
191	2	28	130	21.44924	-17.9981	90	130	130	131	132	133	134	135	136	137	138	139	140	141	142
192	2	37	145	21.22233	-30.3086	90	145	145	146	147	148	149	150	151	152	153	154	155	156	157
193	6	36	38	22.16381	28.36339	-90	38	38	39	40	41	42	43	44	45	46	47	48	49	50
194	2	11	257	-10.7181	-2.47446	-270	257	257	258	259	260	261	262	263	264	265	266	267	268	269
195	2	8	253	-7.65044	-2.33897	-270	253	253	254	255	256	257	258	259	260	261	262	263	264	265
196	2	13	220	-8.35624	-9.95858	-270	220	220	221	222	223	224	225	226	227	228	229	230	231	232
197	2	14	275	-13.9467	1.22018	270	275	275	276	277	278	279	280	281	282	283	284	285	286	287
198	2	17	280	-16.7417	2.952019	270	280	280	281	282	283	284	285	286	287	288	289	290	291	292
199	2	9	131	6.792386	-5.90453	90	131	131	132	133	134	135	136	137	138	139	140	141	142	143
200	2	21	257	-20.4618	-4.72397	-270	257	257	258	259	260	261	262	263	264	265	266	267	268	269

201	220	-12.8558	-15.3209	-270	20 SW	0 crack	P	-		
202	263	-12.9031	-1.5843	-270	263	2 open crack	P	-		
203	262	-10.8929	-1.5309	-270	262	2 open crack	P	-		
204	204	-6.10105	-13.7032	-270	204	0 hair crack	I	-		
205	2	17	-16.7907	2.653386	270	279	0 hair crack	I	-	
206	1	54	-48.1144	24.51549	270	297	0 boundary	C	-	
207	1	27	-26.5898	-4.68885	-270	260	0 hair crack	C	-	
208	2	11	225	-7.77817	-7.77817	225	0 crack	C	-	
209	2	18	207	-8.17183	-16.03981	-270	207	0 crack	C	-
210	1	22	286	6.064022	270	286	0 crack	C	-	
211	2	6	278	-5.94161	0.835039	270	278	0 boundary	I	-
212	2	18	236	-14.9227	-10.0655	-270	236	2 open crack	P	-
213	1	33	273	-32.9848	1.727087	270	273	2 open crack	P	-
214	6	30	39	18.87961	23.31438	-90	39	0 hair crack	I	-
215	6	78	48	57.9863	52.18219	-90	48	0 hair crack	I	-
216	2	6	128	4.728065	-3.683397	90	128	2 open crack	P	-
217	2	6	255	-5.79555	-1.55291	-270	255	0 crack	C	-
218	2	17	251	-16.07138	-5.53466	-270	251	0 hair crack	C	-
219	2	16	278	-15.8443	2.22677	270	278	0 crack	C	-
220	2	15	256	-14.5544	-3.62383	-270	256	0 crack	C	-
221	2	13	264	-12.92988	-1.35887	-270	264	0 crack	C	-
222	4	69	137	47.05789	-50.46334	90	137	0 crack	P	-
223	2	10	259	-9.81627	-19.90869	-270	259	1 open crack	P	-
224	4	39	130	29.87573	-24.0687	90	130	1 open crack	P	-
225	2	11	235	-9.01067	-6.30934	-270	235	0 hair crack	C	-
226	6	82	118	72.4017	-38.4967	90	118	0 hair crack	C	-
227	2	12	235	-9.82982	-6.38292	-270	235	0 hair crack	C	-
228	2	9	232	-7.0921	-5.54095	-270	232	0 hair crack	C	-
229	1	34	266	-33.9172	-2.371172	-270	266	0 hair crack	C	-
230	2	27	237	-22.6441	-14.7053	-270	237	0 hair crack	C	-
231	1	31	266	-30.9245	-2.16245	-270	266	0 hair crack	C	-
232	2	8	251	-7.58415	-20.0455	-270	251	0 hair crack	C	-
233	4	74	137	50.46788	-54.1202	90	137	0 hair crack	C	-
234	2	16	238	-13.5688	-8.41871	-270	238	0 hair crack	C	-
235	2	4	233	-3.19454	-2.40726	-270	233	0 hair crack	C	-
236	2	11	210	-5.5	-9.52628	-270	210	0 hair crack	C	-
237	2	9	280	-8.86327	1.582834	270	280	0 hair crack	C	-
238	2	14	222	-9.36183	-10.404	-270	222	0 hair crack	C	-
239	2	9	248	-8.34465	-3.37146	-270	248	0 hair crack	C	-
240	2	16	226	-11.5094	-11.1145	-270	226	0 hair crack	C	-
241	2	9	215	-5.16219	-7.37237	-270	215	0 hair crack	C	-
242	2	23	152	10.79785	-20.3078	90	152	0 hair crack	C	-
243	2	12	211	-6.18046	-10.286	-270	211	0 hair crack	C	-
244	2	36	193	-8.08824	-35.0773	-270	193	0 hair crack	C	-
245	1	33	265	-32.8744	-2.81614	-270	265	0 hair crack	C	-
246	1	31	270	-31	0	0	270	0 hair crack	P	-
247	6	44	118	38.84969	-20.6567	90	118	0 hair crack	C	-
248	3	44	342	-13.5967	41.84649	270	342	0 hair crack	C	-
249	3	42	346	-10.1607	40.7522	270	346	0 hair crack	C	-
250	2	12	244	-10.7855	-5.26045	-270	244	0 hair crack	C	-

251	7	229	-5.28297	-4.59241	-270	229	41 W	7 SW	0 hair crack	1	-	
252	8	275	-7.96956	0.697246	270	275	252	5 E	0 crack	-	-	
253	3	320	-49.4946	58.98542	270	320	253	50 E	0 hair crack	-	-	
254	2	19	-18.7661	2.972255	270	279	254	9 E	0 crack	-	-	
255	2	7	213	-3.81247	-5.67069	-270	213	255	19 W	0 crack	-	
256	3	48	343	-14.0338	45.90263	270	343	256	7 SW	0 crack	-	
257	3	60	346	-14.5153	58.21774	270	346	257	48 N	0 boundary	-	
258	3	59	337	-23.0531	54.30979	270	337	258	76 E	0 hair crack	-	
259	3	51	346	-12.338	49.48568	270	346	259	60 N	0 hair crack	-	
260	3	59	348	-22.1018	54.70385	270	338	260	59 N	0 hair crack	-	
261	3	66	341	-21.4875	62.0423	270	341	261	66 N	0 crack	-	
262	3	61	322	-37.5553	48.06866	270	322	262	61 NW	0 boundary	-	
263	5	77	290	-26.3356	-72.3563	270	200	263	80.09 N	0 hair crack	-	
264	2	10	260	-384.808	-173.648	-270	260	264	51 N	0 crack	-	
265	2	3	173	0.355608	-2.97764	90	173	265	10 W	0 crack	-	
266	1	65	284	-63.0692	15.72492	270	284	266	68 E	0 hair crack	-	
267	6	52	83	51.6124	6.337206	-90	83	267	65 W	0 crack	-	
268	6	55	90	55	0	0	90	268	52 E	0 crack	-	
269	2	7	122	5.936337	-3.70943	90	122	269	77 S	0 crack	-	
270	2	2	3	162	2.163119	-6.6574	90	162	269	10 W	0 crack	-
271	5	52	182	-1.81477	-51.9683	-270	182	270	83 E	0 crack	-	
272	2	9	185	-0.7844	-8.96575	-270	185	272	65 W	0 hair crack	-	
273	2	38	183	-1.98877	-37.9479	-270	183	273	52 E	0 crack	-	
274	2	13	185	-1.13302	-12.9505	-270	185	274	55 E	1 open crack	-	
275	3	29	353	-3.53421	28.78384	270	353	275	7 SE	0 crack	-	
276	2	6	251	-5.67311	-1.95341	-270	251	276	72 E	0 hair crack	-	
277	2	6	314	-4.31604	4.16795	270	314	277	88 W	0 crack	-	
278	3	9	338	-3.37146	8.34485	270	338	278	85 W	0 crack	-	
279	2	9	278	-8.91241	1.252558	270	278	279	95.34 N	0 crack	-	
280	2	8	240	-6.9282	-4	-270	240	280	95.35 N	0 crack	-	
281	6	62	77	60.41094	13.94997	-90	77	281	95.38 N	0 mineral vein	-	
282	6	57	81	56.29824	8.916765	-90	81	282	95.26 N	0 crack	-	
283	2	13	163	3.800832	-12.432	90	163	283	97.32 N	0 hair crack	-	
284	6	66	72	62.76973	20.39512	-90	72	284	97.68 N	0 crack	-	
285	2	19	180	0	-19	0	180	285	98.18 N	0 crack	-	
286	2	23	201	-8.24246	-21.4723	-270	201	286	98.68 EW	0 hair crack	-	
287	2	11	210	-11	0	0	270	287	101.61 N	0 crack	-	
288	2	3	240	-2.59808	-1.5	-270	240	288	101.71 NS	0 crack	-	
289	6	57	47	41.68716	38.87591	-90	47	289	101.96 N	0 crack	-	
290	1	34	287	-33.9534	-1.77942	-270	267	290	103.62 N	0 hair crack	-	
291	1	37	274	-36.9099	2.58699	270	274	291	104.94 N	0 flow structure	-	
292	2	28	238	-23.7453	-14.8377	-270	238	292	105.08 N	0 hair crack	-	
293	1	35	275	-34.8668	3.050451	270	275	293	105.32 N	0 crack	-	
294	1	35	278	-34.6594	4.871059	270	278	294	105.41 N	0 hair crack	-	
295	1	38	272	-37.9769	1.326181	270	272	295	105.48 N	0 flow structure	-	
296	1	29	268	-28.9823	-1.01209	-270	268	296	105.61 N	0 hair crack	-	
297	2	8	229	-6.03768	-5.24847	-270	229	297	105.77 N	0 crack	-	
298	2	8	191	-1.52647	-7.85302	-270	191	298	105.86 N	0 crack	-	
299	2	11	224	-7.64124	-7.91274	-270	224	299	105.90 N	0 crack	-	
300	2	10	222	-6.69131	-7.43145	-270	222	300	105.92 N	0 hair crack	-	

301	83	54.58004	6.702814	-90	83	55 E	0 hair crack		
302	59	95	58.77549	-5.14219	90	95	5 W	0 hair crack	
303	2	9	272	-8.98452	0.314095	270	272	5 E	0 hair crack
304	1	47	300	-40.7032	23.5	270	300	2 E	0 hair crack
305	2	22	203	-8.58608	-20.2511	-270	203	30 E	47 NW
306	1	32	303	-26.8375	17.42845	270	303	304	22 S
307	3	42	336	-17.0829	38.36891	270	336	305	59 E
308	1	42	279	41.929	6.570248	270	279	306	9 W
309	2	5	333	2.26995	4.455033	270	333	307	C
310	6	59	104	57.24745	-14.2734	90	104	308	C
311	6	52	82	51.49394	7.237001	-90	82	309	C
312	6	59	91	58.99101	-1.02969	90	91	310	0 crack
313	1	44	259	-43.1916	-8.3956	-270	259	311	0 hair crack
314	3	20	343	-5.34743	19.1261	270	343	312	0 hair crack
315	2	7	303	-5.8069	3.812473	270	303	313	0 hair crack
316	3	25	324	-14.6946	20.22542	270	324	314	0 hair crack
317	3	32	347	-7.19843	31.17984	270	347	315	0 hair crack
318	6	33	29	15.98872	28.86245	-90	29	316	0 open crack
319	2	24	155	10.14284	-21.7514	90	155	317	0 hair crack
320	3	66	348	-13.7222	64.55774	270	348	318	0 hair crack
321	6	59	84	58.67679	6.167779	-90	84	319	0 hair crack
322	6	46	84	45.74801	4.808309	-90	84	320	0 hair crack
323	1	26	260	-25.605	-4.51485	-270	260	321	0 hair crack
324	1	55	268	-94.9665	-1.91947	-270	268	322	0 hair crack
325	1	71	287	-67.8976	20.75839	270	287	323	0 hair crack
326	2	16	269	-15.9976	-0.27924	-270	269	324	0 hair crack
327	2	29	231	-22.5372	-18.2503	-270	231	325	0 hair crack
328	2	42	170	7.293223	-41.3619	90	170	326	1.5 open crack
329	6	67	38	41.24932	52.79672	-90	38	327	0 hair crack
330	2	22	249	-20.5388	-7.88409	-270	249	328	0 hair crack
331	6	60	78	58.68886	12.4747	-90	78	329	0 crack
332	5	84	226	-80.4245	-58.3513	-270	226	330	0 crack
333	6	84	57	70.44833	45.74968	-90	57	331	0 open crack
334	2	15	253	-14.3446	-4.38558	-270	253	332	0 hair crack
335	1	31	250	-29.1306	-10.6026	-270	250	333	1.5 open crack
336	1	26	278	-25.747	3.618501	270	278	334	0 crack
337	1	35	212	-04.9787	1.221482	270	212	335	0 crack
338	2	13	227	-9.5076	-8.86598	-270	227	336	0 crack
339	6	69	63	61.47945	31.32534	-90	63	337	0 hair crack
340	1	34	254	-32.6829	-9.37167	-270	254	338	0 hair crack
341	6	58	49	43.7316	38.05142	-90	49	339	0 hair crack
342	6	49	46	35.24785	34.03826	-90	46	340	0 hair crack
343	1	60	238	-50.8829	-31.7952	-270	238	341	0 hair crack
344	2	29	215	-16.6337	-23.7554	-270	215	342	0 hair crack
345	4	62	163	18.12705	-59.2809	90	163	343	0 hair crack
346	6	58	48	43.1024	38.80958	-90	48	344	0 hair crack
347	3	21	314	-15.1061	14.58783	270	314	345	0 hair crack
348	3	23	321	-14.4744	17.87436	270	321	346	0 hair crack
349	1	58	291	-54.1477	20.78534	270	291	347	0 boundary
350	1	61	288	-58.0144	18.85004	270	288	348	0 hair crack
								350	144.95 N

351	64	288	-60.8676	19.77709	270	64 W	18 E	0 boundary	0 hair crack
352	34	314	-24.4576	23.61838	270	314	352	145.45	44 E
353	3	322	-19.0855	24.42833	270	322	353	145.51	52 E
354	3	27	339	-9.671593	25.20667	270	339	354	145.53
355	3	33	339	-11.8261	30.80815	270	339	355	145.58
356	1	38	-34.4397	-16.0535	-270	245	356	149.52	27 N
357	1	36	252	-34.238	-11.1246	-270	252	357	149.56
358	1	39	231	-30.3087	-24.5435	-270	231	358	18 W
359	6	34	46	24.45755	23.61838	-90	46	359	149.78
360	6	59	88	58.98406	20.59007	-90	88	360	150.03
361	2	12	201	-4.30042	-11.203	-270	201	361	150.24
362	2	3	159	1.075104	-2.80074	90	159	362	151.14
363	6	55	52	43.34059	33.86138	-90	52	363	155.01
364	1	32	239	-27.4294	-16.4812	-270	239	364	155.68
365	3	35	314	-25.1769	24.31304	270	314	365	160.81
366	1	38	302	-32.2258	20.13663	270	302	366	160.92
367	3	54	309	-41.9659	33.9833	270	309	367	161.73
368	6	39	17	11.4025	-37.29569	-90	17	368	162.06
369	5	66	213	-35.9462	-55.3523	-270	213	369	163.15
370	2	21	260	-20.681	-3.64661	-270	260	370	163.33
371	2	20	259	-19.6325	-3.81618	-270	259	371	163.35
372	1	33	222	-22.0813	-24.5238	-270	222	372	165.93
373	1	41	244	-36.8506	-17.9732	-270	244	373	166.14
374	2	20	244	-17.9759	-8.76742	-270	244	374	170.55
375	2	14	292	-12.9806	5.244492	270	292	375	171.69
376	1	21	288	-19.9722	6.489357	270	288	376	171.71
377	2	26	226	-18.7028	-18.0611	-270	226	377	172.29
378	2	28	212	-14.8377	-23.7453	-270	212	378	172.74
379	2	3	37	1.805445	2.395907	-90	37	379	172.75
380	2	23	23	-20.8451	-9.72022	-270	245	380	172.79
381	6	79	67	72.1988	30.86776	-90	67	381	173.84
382	5	55	195	-14.235	-53.1259	-270	195	382	179.28
383	2	23	218	-14.1602	-18.1242	-270	218	383	179.55
384	6	39	19	12.69716	36.87522	-90	19	384	179.88
385	2	37	192	-7.69273	-36.1915	-270	192	385	180.39
386	5	52	212	-27.5528	-44.0985	-270	212	386	180.70
387	6	40	100	39.39231	-6.94593	90	100	387	181.50
388	3	29	357	-15.1774	28.96026	270	357	388	182.56
389	3	56	320	-35.9961	42.89849	270	320	389	183.26
390	1	33	257	-32.1542	-7.42338	-270	257	390	183.93
391	1	48	283	-44.1842	18.75509	270	293	391	184.06
392	6	54	116	48.53488	-23.672	90	116	392	184.41
393	4	41	159	14.69309	-38.2768	90	159	393	184.53
394	2	4	167	0.899804	-3.89748	90	167	394	184.91
395	1	46	290	-43.2259	15.73293	270	290	395	186.27
396	6	47	81	46.42135	7.35242	-90	81	396	186.89
397	3	29	324	-17.0458	23.46149	270	324	397	187.15
398	6	48	69	47.99269	0.837716	-90	89	398	187.81
399	6	52	85	51.80212	4.532099	-90	85	399	188.29
400	6	50	89	49.99238	0.87262	-90	89	400	189.27

401	56	265	-55.7869	-4.88072	-270	265	5 W	0 hair crack	P
402	2	25	-21.8655	-12.1202	-270	241	29 W	13.5 open crack	P
403	2	20	239	17.1433	-10.3008	239	31 W	0 hair crack	P
404	5	39	215	-22.3695	-31.9469	270	55 W	0 hair crack	C
405	1	50	302	-42.4024	26.49596	270	404	0 hair crack	C
406	2	16	264	-15.9124	-1.67246	-270	405	0 hair crack	C
407	1	67	297	-60.5884	30.87135	270	406	0 hair crack	C
408	2	17	279	66.1751	10.48111	270	407	0 hair crack	C
409	2	15	237	-12.5801	-8.16959	-270	218	0 hair crack	P
410	6	58	89	57.99117	1.01224	-90	237	0 crack	P
411	6	59	64	53.02885	25.8659	-90	89	0 open crack	C
412	2	16	264	-17.3574	-7.728	-270	264	0 hair crack	P
413	1	29	266	-28.9294	-2.02294	-270	266	0 mineral vein	C
414	1	29	258	-28.3663	-6.02944	-270	258	0 crack	C
415	2	26	245	-24.2731	-9.31757	-270	249	0 crack	C
416	2	19	246	-17.3574	-7.728	-270	246	0 crack	P
417	6	59	61	51.60256	28.60377	-90	61	0 crack	P
418	6	52	57	43.61087	28.32123	-90	57	0 crack	C
419	3	45	358	-1.57048	44.97259	270	358	0 crack	C
420	6	44	94	43.39292	-3.06928	90	94	0 crack	C
421	5	44	215	-25.2374	-36.0427	-270	215	0 crack	C
422	5	59	59	-31.2652	-50.0348	-270	212	0 crack	P
423	1	42	264	-41.7699	-4.3902	-270	264	0 crack	P
424	1	30	254	-28.8379	-8.26912	-270	254	0 crack	C
425	2	14	280	-13.7873	2.4310174	270	280	0 crack	C
426	3	81	11	15.45553	79.5118	-90	11	0 crack	P
427	5	80	185	6.97246	-79.69586	-270	185	0 crack	P
428	3	76	6	7.944163	75.58366	-90	6	0 crack	C
429	3	78	4	5.4411005	-77.81	-90	4	0 crack	C
430	2	26	176	1.813668	-25.9387	90	176	0 crack	C
431	3	79	0	0	0	0	0	0 crack	C
432	3	82	5	7.146771	81.68797	-90	0	0 crack	P
433	2	9	259	-8.83464	-1.71728	-270	259	0 crack	C
434	5	57	215	-32.6939	-46.6917	-270	215	0 crack	C
435	5	44	205	-18.5932	-39.8775	-270	205	0 crack	C
436	3	75	18	23.17627	71.32924	-90	18	0 crack	C
437	3	67	308	-52.7967	41.24932	270	308	0 crack	P
438	2	13	251	-12.2917	-4.23239	-270	251	0 crack	C
439	2	11	262	-10.88929	-1.5309	-270	262	0 crack	C
440	6	78	74	74.97841	21.49971	-90	74	0 crack	C
441	1	45	299	-39.3579	21.81643	270	299	0 crack	C
442	2	11	239	-9.42884	-5.66542	-270	239	0 crack	P
443	5	79	188	-10.9947	-78.2312	-270	188	0 crack	C
444	3	80	14	19.35375	77.62366	-90	14	0 crack	C
445	3	79	15	20.4467	76.30814	-90	15	0 crack	C
446	3	82	10	14.23915	80.75424	-90	10	0 crack	C
447	1	26	263	-25.8062	-3.1886	-270	263	0 crack	P
448	2	20	261	-19.7538	-3.12689	-270	261	0 crack	C
449	1	50	296	-44.9397	21.91856	270	296	0 crack	C
450	1	45	277	-44.6646	5.48412	270	277	0 boundary	C

451	288	-38.9933	12.6687	270	288	451	214.49	18 E	41 W	0 boundary	C	
452	41	294	-37.4554	16.6762	270	294	452	214.56	24 E	41 W	0 hair crack	
453	41	43	-38.3133	19.5215	270	29	453	214.75	27 E	43 W	0 hair crack	
454	1	45	305	-36.8618	25.81094	270	305	454	215.05	35 E	45 NW	
455	1	33	250	-31.0099	-11.2867	270	250	455	215.29	20 W	33 W	
456	3	35	330	-17.5	30.31089	270	330	456	218.70	60 E	35 N	
457	3	35	325	-20.0752	28.67032	270	325	457	218.73	55 E	35 NW	
458	3	39	334	-17.0965	35.05297	270	334	458	218.77	64 E	39 N	
459	4	76	145	43.59181	-62.2556	90	145	459	219.65	55 E	76 SE	
460	2	11	239	-9.22884	-5.66542	-270	239	460	219.87	31 W	11 SW	
461	2	15	265	-14.9429	-1.30734	-270	265	461	220.04	5 W	15 W	
462	2	18	237	-15.0961	-9.8035	-270	237	462	220.07	33 W	18 SW	
463	3	12	322	-7.38794	9.456129	270	322	463	220.11	52 E	12 NW	
464	2	15	271	-14.9977	0.261786	270	271	464	220.31	1 E	15 W	
465	1	45	294	-41.1095	18.30315	270	294	465	220.98	24 E	45 W	
466	2	26	241	-22.7401	-12.6051	-270	241	466	221.88	29 W	26 W	
467	2	20	234	-16.1803	-11.7557	-270	234	467	221.89	36 W	20 SW	
468	3	36	316	-25.0077	25.89623	270	316	468	222.00	46 E	36 NW	
469	3	57	4	3.976119	56.86115	90	4	469	222.24	86 W	57 N	
470	1	24	289	-22.6924	7.813136	270	289	470	222.60	19 E	24 W	
471	1	22	271	-21.9966	0.383953	270	271	471	223.17	N	1 E	
472	2	5	276	-4.97261	0.522642	270	276	472	223.24	N	6 E	
473	2	12	248	-11.1262	-4.49528	270	248	473	223.25	N	22 W	
474	3	37	324	-21.7481	29.93363	270	324	474	223.64	N	54 E	
475	3	38	318	25.427	28.2395	270	318	475	223.69	N	38 NW	
476	1	34	289	-32.1476	11.06332	270	289	476	224.44	N	19 E	
477	3	37	313	-27.0601	25.23394	270	313	477	224.50	N	43 E	
478	1	28	259	-27.4856	-5.34265	-270	259	478	227.87	11 W	37 NW	
479	1	23	270	-23	0	270	479	228.68	NS	23 W		
480	1	29	269	-28.9956	-0.50612	-270	269	480	228.74	N	1 W	
481	1	43	273	-42.9411	2.250446	270	273	481	229.56	N	3 E	
482	1	40	288	-38.0423	12.36068	270	288	482	232.59	N	18 E	
483	6	51	85	50.80563	4.444943	-90	85	483	233.24	N	5 W	
484	6	38	80	31.42269	6.598631	-90	80	484	233.44	N	10 W	
485	6	59	76	57.24745	14.27539	-90	76	485	233.49	N	14 W	
486	6	45	73	43.03371	13.15673	-90	73	486	233.50	N	17 W	
487	6	54	81	53.33517	8.447461	-90	81	487	233.56	N	54 E	
488	6	62	69	57.88199	22.21881	-90	69	488	233.59	N	62 E	
489	6	54	76	52.39597	13.06378	-90	87	489	233.64	N	54 E	
490	6	66	73	63.11611	19.29853	-90	73	490	233.91	N	66 E	
491	6	63	72	59.91656	19.46807	-90	72	491	234.50	N	63 E	
492	6	53	83	52.60495	6.459075	-90	83	492	234.97	N	31 E	
493	6	32	92	31.98051	-1.11678	90	92	493	235.02	N	2 E	
494	6	50	87	49.93148	2.616798	-90	87	494	235.08	N	50 E	
495	6	49	94	94	48.88064	-3.41807	90	94	495	235.13	N	4 E
496	6	52	93	51.92874	-2.72147	90	93	496	235.19	N	52 E	
497	6	53	83	52.60495	6.459075	-90	83	497	235.25	N	53 E	
498	6	48	73	45.90263	14.03384	-90	73	498	235.34	N	48 E	
499	6	49	78	47.92923	10.18767	-90	78	499	235.41	N	49 E	
500	5	190	-12.1554	-68.9365	-270	190	500	235.50	N	70 S		

501	220	-26.9971	-32.1739	-270	42 SW	50 W	50 E	C
502	271	-45.993	0.802811	270	46 W	1 E	0 crack	
503	81	40.49522	6.413813	-90	41 E	0 crack		
504	86	43.89282	3.069285	-90	44 E	0 crack		
505	19	178	0.66309	-18.9884	90	44 E	0 crack	
506	78	97	77.4186	-9.50581	90	19 S	0 crack	
507	1	36	227	-26.3287	-24.5519	-270	78 E	0 crack
508	3	38	349	-7.25074	31.30183	270	36 SW	3.5 open crack
509	3	42	340	-14.3648	39.46709	270	349	0 hair crack
510	3	35	314	-25.1769	24.31304	270	340	0 hair crack
511	3	38	311	-28.679	24.93024	270	311	0 hair crack
512	1	64	297	-57.0244	29.05539	270	508	0 hair crack
513	2	21	253	-20.0824	-6.13981	-270	509	0 hair crack
514	1	38	326	-28.5188	42.28092	270	253	0 hair crack
515	1	50	273	-49.9315	26.16798	270	253	0 hair crack
516	3	46	330	-28.3189	39.53717	270	314	0 hair crack
517	1	31	246	-12.6088	-270	330	0 hair crack	
518	6	52	25	21.97615	47.128	-90	517	0 hair crack
519	3	51	326	-28.5188	42.28092	270	253	0 hair crack
520	3	57	347	-12.8222	55.53909	270	326	0 hair crack
521	3	49	318	-32.7874	36.44141	270	318	0 hair crack
522	1	39	261	-38.5198	-6.10094	-270	516	0 hair crack
523	1	22	270	-22	0	0	261	0 hair crack
524	6	47	82	46.5426	6.541136	-90	270	0 hair crack
525	6	79	113	72.71988	-30.8678	90	82	0 hair crack
526	1	69	239	-59.1445	-55.5376	-270	347	0 hair crack
527	6	58	80	57.11885	10.07159	-90	239	0 hair crack
528	1	70	245	-63.4415	-29.5833	-270	526	0 hair crack
529	6	52	110	48.86402	-17.785	90	245	0 hair crack
530	6	48	260	-67.2708	-8.33511	-270	527	0 hair crack
531	6	55	78	53.79812	11.43514	-90	260	0 hair crack
532	6	53	100	52.19481	-9.20335	90	78	0 hair crack
533	1	55	235	-45.0534	-31.5467	-270	531	0 hair crack
534	6	68	106	65.3658	-18.7433	90	527	0 hair crack
535	6	57	82	56.44526	7.932867	-90	528	0 hair crack
536	6	45	91	44.99315	-0.78536	90	82	0 hair crack
537	6	51	93	50.93011	-2.66913	90	91	0 hair crack
538	6	58	103	56.51346	-13.0472	90	103	0 hair crack
539	6	63	90	63	0	0	537	0 hair crack
540	6	56	96	55.69323	-5.85359	90	96	0 hair crack
541	6	43	93	42.94107	-2.25045	90	93	0 hair crack
542	3	59	302	-50.0348	31.26524	270	302	0 boundary
543	6	69	96	68.62201	-7.21246	90	96	0 crack
544	3	58	319	-38.0514	43.77316	270	319	0 hair crack
545	2	17	271	-16.9974	0.296691	270	271	0 hair crack
546	6	33	24	13.42231	-30.147	-90	24	0 hair crack
547	6	40	99	39.50753	-6.25738	90	99	0 crack
548	6	65	92	64.9604	-2.26847	90	92	0 hanging wall of crush zone
549	6	101	44.17322	-8.5864	90	101	0 footwall of crush zone	
550	6	69	114	63.03464	-28.0648	90	114	0 crack

551	100	58.10366	-10.24527	90	59 E	10 E		
552	75	93	74.89722	-3.92527	90	552	75 E	
553	2	23	-19.7148	-11.8459	-270	239	23 SW	
554	1	42	252	-39.9444	-12.9787	270	252	18 W
555	1	37	230	-28.3436	-23.7831	-270	230	42 W
556	1	41	234	-33.1697	-24.0992	-270	234	40 W
557	1	57	57	-55.7544	-11.851	-270	258	37 SW
558	6	80	114	73.08364	-32.5389	90	114	41 SW
559	1	32	246	-28.2335	-13.0156	-270	246	12 W
560	1	51	237	-42.7722	-27.7766	-270	237	57 W
561	1	62	231	-48.183	-39.0179	-270	231	24 E
562	3	67	237	-56.1909	-36.4908	-270	237	80 E
563	1	55	237	-46.1269	-29.9551	-270	237	80 E
564	6	52	64	46.75729	22.7953	-90	64	32 W
565	5	40	216	-23.5134	-32.3607	-270	216	0 crack
566	3	12	21	4.300415	11.20297	-90	21	0 crack
567	3	15	335	-6.33922	13.59462	270	335	0 crack
568	6	76	73	72.67916	22.22025	-90	73	0 crack
569	6	47	24	19.11662	23.93664	-90	24	0 mineral vein
570	3	41	310	-31.4078	26.35429	270	310	0 hair crack
571	1	36	292	-33.3786	13.48584	270	292	0 hair crack
572	6	54	68	50.067793	20.22876	-90	68	0 hair crack
573	6	36	49	27.16954	23.61813	-90	49	0 hair crack
574	3	21	36	12.34349	16.38936	-90	36	0 hair crack
575	6	58	29	28.11896	50.72794	-90	29	0 hair crack
576	6	74	46	53.23115	51.40472	-90	46	0 hair crack
577	6	54	58	45.7946	28.61564	-90	58	0 hair crack
578	6	54	74	51.90813	14.388442	-90	74	0 hair crack
579	2	26	226	-18.7028	-18.0611	-270	226	0 hair crack
580	6	48	83	47.64222	5.849728	-90	83	0 hair crack
581	6	42	89	41.9936	0.733001	-90	89	0 hair crack
582	6	44	101	43.1916	-8.3956	90	101	0 hair crack
583	6	72	96	71.60558	-7.52605	90	96	0 hair crack
584	6	84	90	12.84	0	0	90	0 hair crack
585	3	21	323	-12.6381	16.77135	270	323	0 hair crack
586	6	84	89	83.98772	1.446002	-90	89	0 hair crack
587	6	59	77	57.48783	13.27211	-90	77	0 hair crack
588	3	65	311	-49.0561	42.4384	270	311	0 hair crack
589	1	69	294	-63.0346	28.06483	270	294	0 hair crack
590	1	60	299	-52.4772	29.08858	270	299	0 hair crack
591	1	56	299	-48.9787	27.14934	270	299	0 hair crack
592	3	30	311	-22.6413	19.68177	270	311	0 hair crack
593	1	36	288	-34.238	11.12461	270	288	0 hair crack
594	4	84	144	49.37396	-67.9574	90	144	0 hair crack
595	6	86	102	84.12069	-17.8804	90	102	0 hair crack
596	6	78	100	76.815	-13.5446	90	100	0 hair crack
597	3	36	316	-25.0077	25.99623	270	316	0 hair crack
598	6	51	91	50.99223	-0.89007	90	91	0 hair crack
599	2	10	184	-0.69756	-9.97564	-270	184	0 hair crack
600	2	22	219	-13.845	-17.0972	-270	219	0 hair crack

601	115	76.12985	-35.49999	90	115	25 E	84 E	
602	30	199	-9.76704	-28.36566	-270	199	30 S	
603	50	236	-41.4519	-27.9596	-270	236	50 SW	
604	2	37	173	4.509166	-36.7242	90	37 S	
605	2	13	222	-8.6987	-9.66088	-270	222	0 hair crack
606	6	74	80	72.87577	12.84997	-90	80	0 hair crack
607	6	49	55	48.81354	-4.270631	-90	85	0 crack
608	2	12	257	-11.6924	-2.68941	-270	257	0.5 open crack
609	2	6	181	-0.10471	-5.99909	-270	181	0 hair crack
610	6	47	77	45.79539	10.5727	-90	77	0 hair crack
611	6	48	83	47.64222	5.849728	-90	83	0 hair crack
612	1	34	276	-35.8137	3.553968	270	276	0 hair crack
613	3	28	317	-19.096	20.4779	270	317	0 hair crack
614	1	64	273	-63.9123	3.349501	270	273	0 hair crack
615	6	52	77	50.66724	11.59745	-90	77	0 hair crack
616	1	68	272	-67.9586	2.373166	270	272	0 hair crack
617	5	61	176	4.255145	-60.8514	90	176	0 hair crack
618	1	62	258	-60.6452	-12.8905	-270	258	0 hair crack
619	1	68	276	-67.6275	7.107936	270	276	0 hair crack
620	1	74	262	-73.2798	-10.2988	-270	262	0 hair crack
621	5	83	169	15.83715	-81.4751	90	169	0 crack
622	5	57	207	-25.8775	-50.7874	-270	207	0 crack
623	1	75	269	-74.9886	-13.0893	-270	269	0 crack
624	5	76	194	-18.3861	-73.7425	-270	194	0 crack
625	1	75	264	-74.5891	-7.83963	-270	264	0 crack
626	5	77	203	-30.0863	-70.8789	-270	203	0 crack
627	2	19	234	-15.3713	-11.6719	-270	234	0 crack
628	5	85	176	5.9293	-84.7929	90	176	0 crack
629	5	75	175	6.536681	-74.7146	90	175	0 crack
630	3	81	13	18.22104	78.92398	-90	13	0 crack
631	1	80	274	-29.8061	5.580518	270	274	0 crack
632	1	76	272	-75.9537	2.652352	270	272	0 crack
633	1	81	267	-80.889	-4.23921	-270	267	0 crack
634	1	80	272	-79.9513	2.79196	270	272	0 crack
635	1	76	274	-75.149	5.301482	270	274	0 crack
636	1	77	272	-76.9531	2.687261	270	272	0 crack
637	1	78	273	-77.8931	4.082205	270	273	0 crack
638	2	7	208	-3.2863	-6.18063	-270	208	0 hair crack
639	5	53	175	4.619254	-52.7983	90	175	0 hair crack
640	5	62	191	-11.8302	-60.8609	-270	191	0 hair crack
641	5	67	197	-19.5889	-64.0724	-270	197	0 hair crack
642	5	72	201	-25.8025	-67.2178	-270	201	0 hair crack
643	5	51	193	-11.4725	-49.6929	-270	193	0 hair crack
644	5	56	193	-12.5973	-54.5647	-270	193	0 hair crack
645	5	76	202	-28.4701	-70.466	-270	202	0 hair crack
646	5	76	198	-23.4853	-72.2803	-270	198	0 hair crack
647	5	77	210	-38.5	-66.884	-270	210	0 hair crack
648	5	69	225	-48.7904	-48.7904	-270	225	0 hair crack
649	6	51	53	40.73041	30.69257	-90	53	0.5 open crack
650	6	33	69	30.80815	11.82614	-90	69	1 open crack

C C

I

651	0 crack
652	0 hair craze
653	0 crack
654	0 hair craze
655	0 hair craze
656	1 open craze
657	0 hair craze
658	0 hair craze
659	0 hair craze
660	0 hair craze
661	0 hair craze
662	0 hair craze
663	0 hair craze
664	0 hair craze
665	0 hair craze
666	0 hair craze
667	0 crack
668	0 crack
669	0 crack
670	2 open craze
671	0 boundary
672	0 crack
673	0 crack
674	0 hair craze
675	0 crack
676	0 crack
677	0 crack
678	0 crack
679	0 hair craze
680	1 open craze
681	0 hair craze
682	0 hair craze
683	0 hair craze
684	0 hair craze
685	0 crack
686	0 hair craze
687	0 hair craze
688	0 hair craze
689	0 hair craze
690	1 open craze
691	0 crack
692	0 crack
693	0 hair craze
694	0 hair craze
695	0 hair craze
696	1.5 open craze
697	0 hair craze
698	0 hair craze
699	0 hair craze
700	0 hair craze
701	0 hair craze
702	0 hair craze
703	0 hair craze
704	204
705	651
706	651
707	651
708	651
709	651
710	651
711	651
712	651
713	651
714	651
715	651
716	651
717	651
718	651
719	651
720	651
721	651
722	651
723	651
724	651
725	651
726	651
727	651
728	651
729	651
730	651
731	651
732	651
733	651
734	651
735	651
736	651
737	651
738	651
739	651
740	651
741	651
742	651
743	651
744	651
745	651
746	651
747	651
748	651
749	651
750	651
751	651
752	651
753	651
754	651
755	651
756	651
757	651
758	651
759	651
760	651
761	651
762	651
763	651
764	651
765	651
766	651
767	651
768	651
769	651
770	651
771	651
772	651
773	651
774	651
775	651
776	651
777	651
778	651
779	651
780	651
781	651
782	651
783	651
784	651
785	651
786	651
787	651
788	651
789	651
790	651
791	651
792	651
793	651
794	651
795	651
796	651
797	651
798	651
799	651
800	651
801	651
802	651
803	651
804	651
805	651
806	651
807	651
808	651
809	651
810	651
811	651
812	651
813	651
814	651
815	651
816	651
817	651
818	651
819	651
820	651
821	651
822	651
823	651
824	651
825	651
826	651
827	651
828	651
829	651
830	651
831	651
832	651
833	651
834	651
835	651
836	651
837	651
838	651
839	651
840	651
841	651
842	651
843	651
844	651
845	651
846	651
847	651
848	651
849	651
850	651
851	651
852	651
853	651
854	651
855	651
856	651
857	651
858	651
859	651
860	651
861	651
862	651
863	651
864	651
865	651
866	651
867	651
868	651
869	651
870	651
871	651
872	651
873	651
874	651
875	651
876	651
877	651
878	651
879	651
880	651
881	651
882	651
883	651
884	651
885	651
886	651
887	651
888	651
889	651
890	651
891	651
892	651
893	651
894	651
895	651
896	651
897	651
898	651
899	651
900	651
901	651
902	651
903	651
904	651
905	651
906	651
907	651
908	651
909	651
910	651
911	651
912	651
913	651
914	651
915	651
916	651
917	651
918	651
919	651
920	651
921	651
922	651
923	651
924	651
925	651
926	651
927	651
928	651
929	651
930	651
931	651
932	651
933	651
934	651
935	651
936	651
937	651
938	651
939	651
940	651
941	651
942	651
943	651
944	651
945	651
946	651
947	651
948	651
949	651
950	651
951	651
952	651
953	651
954	651
955	651
956	651
957	651
958	651
959	651
960	651
961	651
962	651
963	651
964	651
965	651
966	651
967	651
968	651
969	651
970	651

701	3	357	-4.0822	77.8931	270	78 N	87 E
702	5	71	182	-2.47786	-70.9567	-270	0 hair crack
703	4	77	157	30.0863	-70.8789	90	0 hair crack
704	4	82	157	32.03995	-75.4814	90	0 hair crack
705	6	20	76	19.40591	4.838438	-90	0 hair crack
706	2	1	287	-0.9563	0.292372	270	0 hair crack
707	6	40	76	38.81183	9.676876	-90	0 hair crack
708	6	52	68	48.21356	19.47954	-90	0 boundary
709	6	46	72	43.7486	14.21478	-90	2 open crack
710	6	62	67	57.0713	24.22533	-90	0 hair crack
711	6	41	55	33.38523	23.51663	-90	0 hair crack
712	3	78	343	-22.805	74.59177	270	0 hair crack
713	3	76	335	-32.119	68.87939	270	0 crack
714	4	81	152	38.0272	-71.5188	90	0 crack
715	5	82	174	8.571334	-81.5508	90	0 crack
716	4	75	164	20.6728	-72.0346	90	0 crack
717	1	65	283	-63.3341	14.62182	270	0 hair crack
718	2	13	248	-12.0534	-4.86989	-270	0 hair crack
719	5	81	179	1.413645	-80.9877	90	1 open crack
720	5	73	169	13.92996	-71.6568	90	0 hair crack
721	5	73	177	3.820525	-72.9	90	0 hair crack
722	5	75	180	0	-75	0	0 hair crack
723	5	83	200	-28.3877	-77.9945	-270	0 hair crack
724	3	61	350	-10.5925	60.07327	270	0 hair crack
725	6	73	36	42.90832	59.05824	-90	0 crack
726	6	61	36	35.8549	49.35004	-90	2.5 open crack
727	5	37	215	-21.2223	-30.3086	-270	0 hair crack
728	5	50	215	-28.6788	-40.9576	-270	0 crack
729	5	52	222	-34.7948	-38.6435	-270	0 hair crack
730	5	85	202	-31.8416	-78.8106	-270	0 hair crack
731	1	36	277	-35.7317	4.387296	270	1 open crack
732	1	59	260	-58.1037	-10.2452	-270	0 hair crack
733	2	15	165	-1.30734	-14.9429	-270	0 hair crack
734	3	58	350	-10.0716	57.11885	270	0 hair crack
735	2	22	173	3.168603	-25.8062	90	1 open crack
736	2	24	166	5.806125	-23.2871	90	0 hair crack
737	2	21	204	-8.54147	-19.1845	-270	0 hair crack
738	3	17	366	-1.18586	16.95859	270	0 crack
739	2	18	169	3.434562	-17.6693	90	0 hair crack
740	2	22	173	2.681126	-21.836	90	0 hair crack
741	2	24	249	-18.6716	-7.16736	-270	0 hair crack
742	2	29	178	1.012085	-28.9823	90	0 hair crack
743	2	36	193	-8.09824	-35.0773	-270	0 crack
744	3	22	352	-3.06181	21.7859	270	0 hair crack
745	2	12	142	7.387938	-9.45613	90	0 hair crack
746	4	46	161	14.97614	-43.4839	90	0 hair crack
747	3	69	350	-11.9817	67.95173	270	0 crack
748	2	4	122	3.392192	-2.11968	90	0 hair crack
749	4	43	155	18.17259	-38.9712	90	0 hair crack
750	6	54	54.20414	39.38161	-90	0 crack	

5	901	227	-49.0007	-45.6939	-270	67 SW	43 W
67	902	233	-50.314	-37.9143	-270	233	37 W
1	903	70	240	-60.6218	-35	240	63 SW
1	904	73	234	-59.0582	-42.9053	-270	240
1	905	68	237	-57.0296	-37.0355	-270	234
1	906	66	244	-59.3204	-38.9325	-270	237
1	907	64	237	-53.6749	-34.8569	-270	244
1	908	58	259	-56.9344	-11.0659	-270	244
1	909	55	245	-49.8469	-23.244	-270	259
1	910	59	250	-55.4419	-20.1792	-270	245
1	911	57	247	-52.4688	-22.2717	-270	250
1	912	51	243	-45.4413	-23.1535	-270	247
1	913	45	257	-43.8467	-10.1228	-270	243
1	914	51	245	-46.2217	-21.5535	-270	257
1	915	59	251	-55.7856	-19.2985	-270	245
1	916	59	258	-57.7107	-12.2658	-270	251
1	917	62	236	-51.4003	-34.67	-270	258
1	918	59	238	-50.0348	-31.2632	-270	236
1	919	65	235	-53.2449	-37.2825	-270	238
1	920	66	234	-53.3951	-38.7938	-270	235
1	921	60	247	-55.2303	-23.4439	-270	234
1	922	56	236	-46.4261	-31.3148	-270	247
1	923	48	237	-40.2562	-26.1427	-270	236
1	924	51	61	226	-43.8797	-42.3742	-270
1	925	1	60	231	-46.6288	-97.7592	-270
1	926	60	239	-51.43	-30.9023	-270	231
1	927	61	242	-53.5598	-28.6378	-270	242
1	928	60	235	-49.1491	-34.4146	-270	237
1	929	56	231	-43.5202	-35.2419	-270	226
1	930	54	249	-50.4133	-19.3519	-270	231
1	931	48	251	-45.3849	-15.6273	-270	231
1	932	58	232	-45.7046	-35.7084	-270	232
1	933	53	251	-50.1125	-17.2551	-270	251
1	934	53	265	-51.1941	-13.7174	-270	255
1	935	50	262	-49.5134	-6.95866	-270	262
1	936	47	263	-46.6497	-5.72786	-270	263
1	937	1	40	269	-39.9939	-6.6981	-270
1	938	1	39	263	-38.7093	-4.7529	-270
1	939	5	78	192	-16.2171	-76.2955	-270
1	940	1	78	260	-76.815	-13.5446	-270
1	941	5	57	173	6.946553	-56.5751	90
1	942	3	51	4	3.55758	50.87577	-90
1	943	2	7	79	6.87139	1.335863	-90
1	944	1	47	250	-44.1656	-16.0749	-270
1	945	5	58	183	-3.03549	-57.9205	-270
1	946	3	49	356	-3.41807	48.88064	270
1	947	1	52	246	-47.5044	-21.1563	-270
1	948	1	68	270	-68	0	270
1	949	1	60	284	-59.6713	-6.27171	-270
5	950	5	69	193	-15.5216	-67.2315	-270
							193
							69 S
							12.5 open crack
							0 crack
							69 W
							60 W
							77 W
							69 N
							51 N
							40 W
							38 W
							53 W
							39 W
							78 S
							78 W
							53 W
							50 W
							47 W
							48 W
							58 SW
							61 W
							35 W
							56 SW
							60 SW
							66 SW
							60 SW
							60 SW
							60 SW
							60 SW
							61 W
							53 W
							39 W
							56 SW
							54 W
							54 W
							48 W
							58 SW
							61 W
							53 W
							39 W
							53 W
							50 W
							47 W
							40 W
							38 W
							39 W
							78 S
							58 S
							49 N
							52 W
							68 W
							60 W
							77 W
							69 S
							12.5 open crack
							0 crack

1	951	259	-69.6955	-13.5474	-270	71 W	11 W
1	952	232	-58.3128	-45.5569	-270	74 SW	38 W
3	953	59	18	18.232	56.11233	-90	72 W
5	954	51	219	-32.0953	-38.6344	-270	59 N
5	955	81	17	23.63211	77.46069	-90	51 SW
5	956	75	226	-53.9505	-52.0994	-270	81 N
5	957	72	210	-62.3538	-36	-270	75 SW
6	958	71	73	67.88764	20.75839	-90	60 W
6	959	54	79	53.00787	10.30369	-90	72 S
1	960	1	75	-66.2211	-35.2104	-270	71 E
1	961	80	233	-63.3908	-48.1452	-270	0 hair crack
1	962	65	261	-64.1997	-10.1682	-270	0 crack
1	963	78	239	-66.859	-40.173	-270	0 crack
3	964	75	22	28.09549	69.53879	-90	0 crack
5	965	76	225	-53.7401	-53.7401	-270	0 crack
5	966	75	224	-52.0994	-53.9505	-270	0 crack
6	967	70	71	66.1863	22.78977	-90	0 crack
6	968	78	37	46.94157	62.29357	-90	0 crack
1	969	69	242	-60.94234	-32.3935	-270	0 crack
1	970	1	80	258	-78.2518	-16.6329	-270
6	971	6	74	45	52.3259	52.3259	-90
5	972	5	79	207	-35.8652	-10.3895	-270
6	973	6	70	68.93654	12.15537	-90	
5	974	5	52	206	-22.7953	-46.7373	-270
5	975	69	198	-21.3222	-65.6229	-270	
5	976	97	187	-8.53085	-69.4782	-270	
5	977	65	192	-13.5143	-63.5796	-270	
5	978	71	181	-12.3912	-70.9892	-270	
5	979	72	179	1.256573	-71.989	90	
5	980	5	75	209	-36.3607	-65.5965	-270
5	981	58	184	4.04088	-57.8587	-270	
5	982	64	173	7.799638	-63.523	90	
3	983	17	21	1092255	15.87087	-90	
6	984	27	31	13.90603	23.14352	-90	
6	985	22	59	11.33084	-90		
5	986	76	186	-7.85768	11.33084	-90	
5	987	69	198	-21.3222	-65.6229	-270	
5	988	61	196	-16.8139	-58.637	-270	
5	989	71	190	-12.329	-69.9214	-270	
5	990	5	72	209	-34.9063	-62.9726	-270
5	991	63	70	186	-31.699	-69.6165	-270
5	992	5	74	205	-31.2798	-67.0668	-270
5	993	5	76	203	-29.6956	-69.9584	-270
5	994	5	72	203	-28.1326	-66.2763	-270
5	995	5	71	198	-21.9402	-67.525	-270
5	996	5	63	205	-26.625	-57.0974	-270
5	997	84	184	-5.85954	-63.7954	-270	
5	998	77	188	-10.7163	-76.2506	-270	
5	999	76	199	-24.7432	-71.8594	-270	
5	1000	80	192	-16.6329	-78.2518	-270	
				11 W	74 SW	38 W	0 crack
				18	51 W	51 W	0 crack
				17	73 W	73 W	0 crack
				226	956	405.53	0 crack
				210	957	407.12	0 crack
				73	958	407.43	0 crack
				79	959	408.13	0 crack
				242	960	408.33	0 crack
				233	961	408.44	0 crack
				261	962	408.61	0 crack
				239	963	408.89	0 crack
				37	964	408.99	0 crack
				22	964	409.05	0 crack
				225	965	409.50	0 crack
				224	966	409.54	0 crack
				207	972	410.46	0 crack
				80	973	410.55	0 crack
				206	974	410.82	0 crack
				198	975	411.26	0 crack
				187	976	411.34	0 crack
				192	977	411.45	0 crack
				191	978	411.89	0 crack
				179	979	412.00	0 crack
				209	980	412.25	0 crack
				194	981	412.42	0 crack
				173	982	412.49	0 crack
				21	983	412.81	0 crack
				31	984	413.10	0 boundary
				59	985	413.14	0 crack
				209	986	413.17	0 crack
				186	987	413.28	0 crack
				198	988	413.35	0 crack
				21	989	413.41	0 crack
				31	990	413.54	0 crack
				59	991	413.62	0 crack
				186	992	413.72	0 crack
				198	993	413.97	0 crack
				196	994	414.11	0 crack
				190	995	414.19	0 crack
				209	996	414.52	0 crack
				186	997	414.76	0 crack
				184	998	415.04	0 crack
				188	999	415.39	0 crack
				199	1000	415.53	0 crack

1001	5	201	-23.2939	-60.6827	-270	69 W	65 S
1002	5	201	-33.7016	-44.7236	-270	217	53 W
1003	5	201	-19.1118	-76.6534	-270	194	76 W
1004	5	201	-10.4189	-59.0885	-270	190	80 W
1005	2	5	226	-3.3967	-3.47329	226	44 W
1006	5	60	190	-13.4971	-58.4622	193	5 SW
1007	6	44	35	25.23736	36.04269	35	77 W
1008	5	75	203	-29.3048	-69.0379	203	55 W
1009	5	48	208	-22.5346	-42.3815	208	44 NE
1010	5	54	203	-21.0995	-49.7073	203	67 W
1011	5	52	201	-18.6351	-48.5462	201	75 W
1012	5	69	201	-24.7274	-64.417	201	60 S
1013	5	67	197	-19.5889	-64.0724	197	69 S
1014	2	41	190	-7.11958	-40.3771	190	67 S
1015	5	69	191	-13.1658	-61.3223	191	48 S
1016	5	69	189	-10.794	-68.1505	189	62 W
1017	5	75	203	-29.3048	-69.0379	203	69 S
1018	5	74	203	-28.9141	-68.1174	203	69 S
1019	5	72	200	-24.6255	-67.6579	200	69 S
1020	5	72	201	-25.8025	-67.2178	201	69 S
1021	5	69	206	-30.2476	-62.0168	206	69 S
1022	5	68	204	-27.6581	-62.1211	204	69 S
1023	5	66	198	-9.18542	-65.3577	198	68 S
1024	2	19	156	7.727996	-17.3574	90	66 S
1025	2	20	172	2.783462	-19.8054	90	66 E
1026	2	25	158	9.365165	-23.1796	90	70 W
1027	5	61	176	4.255145	-60.8514	90	72 S
1028	5	65	189	-10.1682	-64.1987	-270	72 S
1029	5	70	187	-8.53085	-69.4782	-270	73 S
1030	5	71	195	-18.3762	-58.5807	-270	73 S
1031	5	74	192	-15.3852	-72.3829	-270	74 S
1032	5	75	193	-16.8713	-73.0778	-270	74 S
1033	5	73	190	-12.6763	-71.891	-270	75 S
1034	5	61	208	-28.6378	-53.8598	-270	75 S
1035	5	65	205	-27.4702	-58.91	-270	75 S
1036	5	71	203	-27.7419	-55.3558	-270	75 S
1037	5	69	195	-17.3858	-66.6489	-270	75 S
1038	5	68	219	-32.7938	-52.8459	-270	75 S
1039	5	44	208	-20.6567	-38.1497	-270	75 S
1040	5	56	201	-20.0686	-32.2805	-270	75 S
1041	5	57	197	-16.6652	-54.5084	-270	75 S
1042	5	52	215	-29.826	-52.5959	-270	52 SW
1043	5	64	200	-21.8893	-60.1403	-270	64 S
1044	5	55	191	-10.4945	-53.9895	-270	64 S
1045	5	63	186	-6.38529	-62.6549	-270	55 S
1046	5	66	186	-6.38888	-65.6384	-270	63 S
1047	5	62	184	-4.3249	-61.849	-270	64 S
1048	5	64	194	-15.483	-52.0989	-270	64 S
1049	5	69	203	-26.9604	-63.5148	-270	67 W
1050	5	68	192	-14.138	-66.514	-270	69 S
						1050	68 S

1051	187	-7.67777	-62.5304	-270	155	1051	420.75	83 W		
1052	62	195	-16.0468	-59.8874	-270	155	1052	420.83	63 S	
1053	5	202	-26.5971	-63.8301	-270	155	1053	420.97	62 S	
1054	5	69	199	-22.4642	-65.2408	-270	155	1054	421.06	71 S
1055	5	69	202	-25.8479	-63.9757	-270	155	1055	421.12	69 S
1056	5	62	208	-29.1072	-56.7428	-270	155	1056	421.21	62 S
1057	5	57	216	-33.5038	-46.1114	-270	155	1057	421.34	57 SW
1058	5	49	195	-12.6821	-47.3304	-270	155	1058	421.44	75 W
1059	5	61	177	-7.43403	-60.5453	-270	155	1059	421.52	49 S
1060	5	62	200	-21.2052	-58.2609	-270	155	1060	421.59	83 W
1061	2	46	190	0	-46	0	180	1061	421.73	70 W
1062	2	45	183	-2.35512	-44.9383	-270	183	1062	421.75	87 W
1063	2	45	180	0	-45	0	180	1063	421.79	EW
1064	5	75	192	-15.5934	-73.3611	-270	192	1064	421.81	N
1065	5	61	182	-2.12887	-60.9628	-270	182	1065	422.04	88 W
1066	5	53	177	2.773806	-52.9274	90	177	1066	422.10	87 E
1067	5	70	184	-4.88295	-69.8295	-270	184	1067	422.14	86 W
1068	5	59	187	-7.19029	-58.5602	-270	187	1068	422.23	83 W
1069	5	66	199	-21.4875	-62.4042	-270	199	1069	422.35	71 W
1070	5	63	204	-25.6244	-57.5534	-270	204	1070	422.46	66 S
1071	5	64	193	-14.3969	-62.3597	-270	193	1071	422.57	63 S
1072	5	66	198	-20.3951	-62.7687	-270	198	1072	422.65	77 W
1073	5	73	193	-16.4214	-71.129	-270	193	1073	422.74	77 W
1074	5	68	196	-18.7433	-65.3658	-270	196	1074	422.82	74 W
1075	5	49	191	-9.34964	-68.0997	-270	191	1075	422.90	79 W
1076	5	72	178	2.512764	-71.9561	90	178	1076	422.94	88 E
1077	5	74	191	-14.1199	-72.6404	-270	191	1077	423.11	79 W
1078	5	71	188	-9.38129	-70.309	-270	188	1078	423.27	82 W
1079	5	71	184	-4.95271	-70.827	-270	184	1079	423.46	86 W
1080	5	75	199	-24.4176	-70.9139	-270	199	1080	423.57	71 W
1081	5	47	179	-22.7861	-41.1071	-270	209	1081	423.73	61 W
1082	5	77	178	2.687261	-76.9531	90	178	1082	423.82	88 E
1083	2	27	138	18.06653	-20.0649	90	138	1083	424.05	48 E
1084	1	70	267	-69.9041	-3.66352	-270	267	1084	424.19	3 W
1085	5	64	207	-29.0554	-57.0244	-270	207	1085	424.29	63 W
1086	1	75	277	-74.441	9.140201	270	277	1086	424.70	7 E
1087	5	62	215	-25.5617	-50.7874	-270	215	1087	424.86	55 W
1088	5	62	207	-28.1474	-55.2424	-270	207	1088	424.95	63 W
1089	1	69	249	-64.417	-24.7214	-270	249	1089	425.30	21 W
1090	5	75	210	-37.5	-64.9519	-270	210	1090	425.45	60 W
1091	5	79	198	-24.4123	-75.1535	-270	198	1091	425.64	72 W
1092	5	75	200	-25.6515	-70.4769	-270	200	1092	425.76	79 S
1093	5	77	203	-30.0863	-70.8789	-270	203	1093	425.84	70 W
1094	5	76	201	-27.236	-70.9521	-270	201	1094	425.94	67 W
1095	5	76	197	-22.2202	-72.6792	-270	197	1095	425.99	73 W
1096	5	70	198	-21.6312	-66.574	-270	198	1096	426.10	70 S
1097	5	68	199	-22.1386	-64.2953	-270	199	1097	426.17	71 W
1098	5	69	200	-23.5984	-64.8388	-270	200	1098	426.27	70 W
1099	5	69	198	-21.3222	-65.6229	-270	198	1099	426.33	72 W
1100	5	66	191	-12.5934	-64.7874	-270	191	1100	426.41	79 W

1151	5	193	-15.7466	-68.2059	-270	193	70 S	77 W	
1152	5	70	-7.31699	-69.6165	-270	186	1152	84 W	
1153	5	69	-1.20422	-68.8995	-270	181	1153	89 W	
1154	5	71	-8.65272	-70.4703	-270	187	1154	83 W	
1155	5	65	179	1.134406	-64.8901 90	179	1155	83 W	
1156	5	71	-12.329	-69.3214	-270	190	1156	89 E	
1157	5	69	203	-26.9604	-63.5148	203	1157	80 W	
1158	5	70	192	-14.5538	-63.4703	192	1158	67 W	
1159	5	72	191	-13.7382	-70.6772	191	1159	78 W	
1160	5	66	193	-14.8468	-64.3084	193	1160	70 S	
1161	5	64	190	-11.1135	-63.0277	190	1161	71 S	
1162	5	75	180	0	-75	180	1162	79 W	
1163	5	75	179	1.30893	-74.9886 90	179	1163	89 E	
1164	5	71	176	4.95271	-70.827 90	176	1164	86 E	
1165	5	69	172	9.602944	-68.3285 90	172	1165	82 E	
1166	5	69	182	-2.40807	-68.958	182	1166	88 W	
1167	5	58	181	-1.01224	-57.9912	181	1167	88 W	
1168	5	61	195	-15.788	-56.9215	195	1168	89 W	
1169	5	68	187	-8.28712	-67.4931	187	1169	83 W	
1170	5	68	185	-5.92659	-67.7412	185	1170	83 W	
1171	5	66	186	-6.89888	-65.63384	186	1171	82 E	
1172	5	66	189	-10.3247	-65.1874	189	1172	88 W	
1173	5	68	193	-15.2967	-66.2572	193	1173	81 W	
1174	5	67	186	-7.00341	-66.633	186	1174	75 W	
1175	1	71	254	-68.2496	-19.5703	254	1175	71 S	
1176	5	49	194	-11.8542	-47.5445	194	1176	84 W	
1177	5	53	184	-3.68709	-52.8709	184	1177	84 W	
1178	1	63	258	-61.6233	-13.0984	258	1178	88 W	
1179	1	63	271	-62.9904	1.098902	270	1179	77 W	
1180	5	59	205	-24.9345	-53.4722	270	1180	68 S	
1181	5	63	187	-7.67777	-62.5304	187	1181	75 W	
1182	5	61	181	-1.0646	-60.9907	270	181	1182	83 W
1183	5	59	204	-23.9975	-53.8982	270	204	1183	89 W
1184	5	63	198	-19.4681	-59.9166	198	1184	66 W	
1185	5	67	186	-7.00341	-66.633	270	186	1185	72 W
1186	5	53	185	-4.61925	-52.7983	270	185	1186	84 W
1187	5	65	179	1.134406	-64.9901 90	179	1187	89 E	
1188	5	58	188	-8.07204	-57.4355	270	188	1188	82 W
1189	5	58	193	-13.0472	-56.5135	270	193	1189	77 W
1190	1	73	281	-71.6588	13.92906	270	281	1190	11 E
1191	5	53	189	-8.29103	-52.3475	270	189	1191	81 W
1192	2	43	194	-10.4026	-41.7227	270	194	1192	76 W
1193	1	63	250	-59.2006	-21.5473	270	250	1193	43 S
1194	2	44	181	-0.76791	-43.9933	270	181	1194	43.796
1195	1	71	289	-67.1318	23.11534	270	289	1195	89 W
1196	2	41	189	-6.41381	-40.4952	270	189	1196	43.818
1197	1	59	266	-58.8563	-41.11563	270	266	1197	43.841
1198	2	44	173	5.362251	-43.6712	90	173	1198	43.843
1199	1	56	243	-49.8964	-25.4225	270	243	1199	83 E
1200	1	78	294	-71.2565	31.72546	270	294	1200	24 E

1	45	237	-37.7402	-24.5088	-270	33 W	45 SW			
1	55	237	-52.5568	-16.0804	-270	33 W	55 W			
1	62	263	-61.5379	-7.5559	-270	33 W	62 W			
1	54	252	-51.3571	-16.8869	-270	33 W	54 W			
1	1	60	236	-49.7423	-33.5516	-270	34 W	54 W		
1	205	6	65	53.47216	24.93448	-90	60 SW	0 crack		
1	206	6	72	68.47607	22.24922	-90	65	0 crack		
1	207	6	64	63	57.02442	29.05539	-90	65	0 hanging wall of crush zone	
1	208	6	49	72	46.60177	15.14183	-90	65	0 footwall of crush zone	
1	209	6	48	69	44.81186	17.20166	-90	72	3.5 open crack	
1	210	6	53	60	45.89935	26.5	-90	69	0 crack	
1	211	6	38	63	33.85825	17.25164	-90	63	0 boundary	
1	212	6	38	59	32.57236	19.57145	-90	59	0 boundary	
1	213	6	39	44	28.05425	-90	44	1214	0 boundary	
1	214	6	42	49	31.98978	27.55448	-90	49	0 boundary	
1	215	6	42	342	-12.9787	39.94437	270	342	0 boundary	
1	216	3	39	353	-4.7529	38.7093	270	353	0 boundary	
1	217	3	52	63	46.33234	23.60751	-90	63	0 boundary	
1	218	6	46	30	23	39.83717	-90	30	0.5 open crack	
1	219	6	54	25	22.82139	48.94062	-90	25	0 boundary	
1	220	6	61	36	35.9549	49.35004	-90	36	0 boundary	
1	221	6	24	38	-8.98056	22.25241	270	338	0 boundary	
1	222	3	23	329	-11.8459	19.71485	270	329	0 boundary	
1	223	3	4	77	158	28.84471	-71.3932	90	158	0 boundary
1	224	4	20	345	-5.17638	19.31852	270	345	0 boundary	
1	225	3	2	3	99	2.960665	-0.4633	90	99	0 mineral vein
1	226	1	72	245	-65.2542	-30.4285	-270	245	0 hair crack	
1	227	1	43	43	32.05392	34.37362	-90	43	0 hair crack	
1	228	6	50	90	50	0	0	90	0 hair crack	
1	229	6	54	74	168	15.38547	-72.3829	90	168	0 hair crack
1	230	5	54	47	39.4931	36.32781	-90	47	0 hair crack	
1	231	6	33	9	5.162337	32.59372	-90	9	0 hair crack	
1	232	6	32	46	23.01887	22.22907	-90	46	0 hair crack	
1	233	6	3	17	36	9.992349	13.75329	-90	36	0 hair crack
1	234	3	1	67	241	-58.5995	-32.4822	-270	241	0 hair crack
1	235	1	66	241	-57.7249	-31.9974	-270	241	0 hair crack	
1	236	1	60	243	-53.4604	-27.2394	-270	243	0 hair crack	
1	237	1	67	239	-57.4302	-34.5076	-270	239	0 hair crack	
1	238	1	2	180	0	-2	0	180	0 hair crack	
1	239	2	1	81	264	-80.5563	-8.466681	-270	264	0 hair crack
1	240	1	85	275	-84.67676	7.408238	270	275	0 hair crack	
1	241	1	79	266	-78.8076	-6.51076	-270	266	0 hair crack	
1	242	1	79	256	-76.6534	-19.1118	-270	256	0 hair crack	
1	243	1	83	272	-82.9494	2.816658	270	272	0 hair crack	
1	244	1	80	263	-79.4037	-9.74955	-270	263	0 hair crack	
1	245	1	83	262	-82.1922	-11.5514	-270	262	0 hair crack	
1	246	1	76	261	-75.0643	-11.889	-270	261	0 hair crack	
1	247	1	80	263	-79.4037	-9.74955	-270	263	0 hair crack	
1	248	1	68	55.63103	22.4764	-90	68	0 crack		
1	249	6	60	65	55.25416	30.42851	-90	65	0 crack	
1	250	6	72	65	50.42851	30.42851	-90	72	0 crack	

1	1261	38	293	-34.9792	14.84778	270	23 E	38 W	0 crack
3	1262	45	-14.6506	42.54834	270	23 E	45 N	1 open crack	
5	1263	70	186	-7.31699	-68.6165	-270	23 E	70 S	0 crack
2	1264	15	277	-14.88882	1.82804	270	23 E	70 S	0 hair crack
1255	5	70	199	-22.7898	-66.1863	-270	23 E	70 S	2 open crack
1256	5	68	209	-32.98671	-59.4741	-270	23 E	68 S	0 crack
1257	3	56	302	-47.4907	29.67548	270	23 E	56 NW	0 crack
1258	1	63	286	-60.5595	17.38515	270	23 E	63 W	0 hair crack
1259	3	47	334	-20.6034	42.24332	270	23 E	64 E	1.5 open crack
1260	3	37	37	-14.4571	34.05868	270	23 E	64 E	0.5 open crack
1261	3	42	331	-20.362	36.79403	270	23 E	64 E	0 hair crack
1262	1	59	261	-52.2736	-9.22963	-270	23 E	64 E	0 hair crack
1263	3	18	294	-16.4438	7.32126	270	23 E	64 E	0 hair crack
1264	2	4	139	-14.3347	3.734322	270	23 E	64 E	0 hair crack
1265	6	28	31	14.42107	24.90068	-90	23 E	64 E	0 hair crack
1266	3	40	318	-25.7652	29.72579	270	23 E	64 E	0 hair crack
1267	3	37	324	-21.7481	29.93363	270	23 E	64 E	0 hair crack
1268	3	44	324	-25.8626	35.59675	270	23 E	64 E	0 hair crack
1269	3	38	347	-8.54814	37.02606	270	23 E	64 E	0 hair crack
1270	3	37	310	-28.3436	23.78314	270	23 E	64 E	0 hair crack
1271	3	44	333	-19.9756	39.20429	270	23 E	64 E	0 hair crack
1272	1	52	300	-45.0333	26	270	23 E	64 E	0 crack
1273	2	9	126	7.281153	-5.29007	90	23 E	52 NW	0 hair crack
1274	2	10	276	-9.94522	1.045285	270	23 E	52 NW	0 hair crack
1275	1	54	298	-47.6792	26.35146	270	23 E	52 NW	0 hair crack
1276	2	4	189	-0.62574	-3.95075	-270	23 E	52 NW	0 hair crack
1277	3	71	342	-21.9402	67.32501	270	23 E	52 NW	1 open crack
1278	3	64	12	13.30635	62.60145	-90	23 E	52 NW	0 hair crack
1279	6	67	88	66.95919	2.338266	90	23 E	52 NW	0 hair crack
1280	1	25	277	-24.8137	3.046734	270	23 E	52 NW	0 hair crack
1281	1	38	261	-37.5322	-5.94451	-270	23 E	52 NW	0 hair crack
1282	1	75	278	-74.2701	10.43798	270	23 E	52 NW	0 hair crack
1283	1	75	279	-74.0766	11.73258	270	23 E	52 NW	0 hair crack
1284	2	4	196	-1.10255	-3.84505	-270	23 E	52 NW	0 hair crack
1285	3	42	346	-10.1607	40.75242	270	23 E	52 NW	0 hair crack
1286	3	77	340	-26.3356	72.35633	270	23 E	52 NW	0 hair crack
1287	3	67	326	-37.4659	55.54552	270	23 E	52 NW	0.5 open crack
1288	5	60	182	-2.09397	-59.9634	-270	23 E	52 NW	0 crack
1289	3	40	348	-8.31647	39.1259	270	23 E	52 NW	0 hair crack
1290	1	36	232	-28.3684	-22.1638	-270	23 E	52 NW	0 hair crack
1291	3	34	323	-20.4617	27.15361	270	23 E	52 NW	0 hair crack
1292	5	47	217	-28.2853	-77.5359	-270	23 E	52 NW	0 hair crack
1293	3	8	355	-0.69725	7.969558	270	23 E	52 NW	0 hair crack
1294	3	69	328	-36.5644	56.51532	270	23 E	52 NW	3 open crack
1295	3	61	328	-32.3251	51.73093	270	23 E	52 NW	0 crack
1296	3	52	338	-19.4795	48.21356	270	23 E	52 NW	0 crack
1297	3	62	306	-30.1591	35.44269	270	23 E	52 NW	0 crack
1298	6	56	120	48.49742	-28	90	23 E	56 SW	0 crack
1299	5	56	217	-33.7016	-44.7236	-270	23 E	56 SW	0 crack
1300	3	65	323	-39.1118	51.91131	270	23 E	53 E	2.5 open crack

1	1	53	276	-52.7097	5.540009	270	0	0	270	1301	553.33	NS	6 E	40 W	0 hair crack
1	1	53	325	-40.1504	57.34064	270	2	2	220	1302	554.26	N	55 E	53 W	0 hair crack
1	302	3	70	-40.1504	57.34064	270	2	2	220	1303	554.79	N	55 E	53 W	1 open crack
1	303	3	70	-40.1504	57.34064	270	2	2	220	1304	555.09	N	50 W	2 SW	0 hair crack
1	304	3	70	-40.1504	57.34064	270	2	2	220	1305	556.60	N	7 E	2 E	0 hair crack
1	305	2	2	97	1.985092	-0.24374	90	97	97	1306	560.39	N	75 E	19 S	0 hair crack
1	306	2	19	165	4.917562	-18.3526	90	165	165	1307	561.32	N	54 E	60 NW	0 hair crack
1	307	3	60	324	-35.2571	48.54102	270	324	72	1308	568.12	W	18 W	55 E	0 crack
1	308	6	55	72	52.30811	16.99593	-90	72	1309	568.25	N	12 W	60 E	0 hair crack	
1	309	6	60	78	58.68886	12.4747	-90	78	1309	568.36	N	19 W	46 E	27 open crack	
1	1310	2	30	176	2.092694	-29.9269	90	176	1310	568.43	N	18 W	30 S	0 hair crack	
1	1311	6	53	72	50.4046	16.3779	-90	72	1311	568.49	N	26 W	53 E	0.5 open crack	
1	1312	6	41	64	36.85056	17.97322	-90	64	1312	568.53	N	21 W	41 E	0 crack	
1	1313	6	52	69	48.54618	18.63513	-90	69	1313	568.90	N	19 W	52 E	0 hair crack	
1	1314	6	46	71	43.49385	14.97614	-90	71	1314	568.95	N	7 W	46 E	0.5 open crack	
1	1315	6	40	83	39.70185	4.874774	-90	83	1315	569.95	N	40 E	0 hair crack	P lithofacies boundary	
1	1316	6	37	81	36.54447	5.788075	-90	81	1316	569.98	N	9 W	37 E	0 crack	
1	1317	5	70	201	-25.0858	-65.35056	-270	201	1317	569.20	N	69 W	70 S	0 crack	
1	1318	5	66	208	-30.9851	58.2745	-270	208	1318	569.54	N	62 W	66 S	1 open crack	
1	1319	5	67	67	-40.3216	-53.5086	-270	217	1319	569.71	N	67 SW	0 crack		
1	1320	5	64	208	-30.0462	-56.5086	-270	208	1320	569.89	N	62 W	64 S	0 hair crack	
1	1321	6	42	88	41.97441	1.465779	-90	88	1321	570.01	N	2 W	42 E	0 boundary	
1	1322	6	45	89	44.98315	0.785358	-90	89	1322	570.08	N	1 W	45 E	0 crack	
1	1323	6	43	90	43	0	0	90	1323	570.13	NS	43 E	0 hair crack	P lithofacies boundary	
1	1324	5	62	179	1.082049	-61.9906	90	179	1324	570.21	N	89 E	62 S	0 crack	
1	1325	5	60	214	-33.5516	-49.7423	-270	214	1325	570.26	N	56 W	60 SW	0 hair crack	
1	1326	5	77	173	9.382939	-76.4261	90	173	1326	570.47	N	83 E	77 S	0 hair crack	
1	1327	6	57	55.05777	14.75269	-90	75	1327	570.55	N	15 W	57 E	0 hair crack		
1	1328	6	49	88	48.97015	1.710075	-90	88	1328	570.60	N	2 W	49 E	1 open crack	
1	1329	6	64	74	61.52075	17.64079	-90	74	1329	570.90	N	16 W	64 E	0 boundary	
1	1330	5	69	206	-30.2476	-62.0168	-270	206	1330	571.29	N	64 W	69 S	0 crack	
1	1331	5	67	212	-35.5046	-56.8192	-270	212	1331	571.31	N	58 W	67 SW	0 crack	
1	1332	5	61	196	-16.8139	-58.637	-270	196	1332	571.83	N	74 W	61 S	0 crack	
1	1333	5	57	199	-18.5574	-53.8946	-270	199	1333	571.85	N	71 W	57 S	0 crack	
1	1334	5	56	209	-27.1493	-48.9787	-270	209	1334	571.95	N	61 W	56 S	0 crack	
1	1335	5	61	204	-24.8109	-55.7263	-270	204	1335	572.21	N	66 W	61 S	0 crack	
1	1336	1	33	227	-24.1347	-22.5059	-270	227	1336	572.28	N	43 W	33 SW	0 crack	
1	1337	5	65	227	-47.538	-44.3299	-270	227	1337	572.37	N	43 W	65 SW	0 crack	
1	1338	5	59	195	-15.2703	-56.9896	-270	195	1338	572.46	N	75 W	59 S	0 crack	
1	1339	5	57	209	-27.6341	-49.8533	-270	209	1339	572.54	N	61 W	57 S	0 crack	
1	1340	5	53	206	-23.2337	-47.6361	-270	206	1340	572.60	N	64 W	53 S	0 crack	
1	1341	5	60	209	-29.0886	-52.4772	-270	209	1341	572.66	N	61 W	60 S	0 crack	
1	1342	5	69	203	-26.9604	-63.5148	-270	203	1342	572.76	N	67 W	69 S	0 crack	
1	1343	5	59	205	-24.9345	-53.4722	-270	205	1343	572.86	N	65 W	59 S	0 crack	
1	1344	4	76	155	32.11899	-68.8794	90	155	1344	573.21	N	65 E	76 S	0 hair crack	
1	1345	5	58	220	-37.2817	-44.4306	-270	220	1345	574.86	N	50 W	58 SW	0.5 open crack	
1	1346	5	82	174	8.571334	-81.5508	90	174	1346	575.22	N	84 E	82 S	0 hair crack	
1	1347	3	37	314	-26.6156	25.70236	270	314	1347	575.25	N	44 E	37 NW	P lithofacies boundary	
1	1348	5	58	220	-37.2817	-44.4306	-270	220	1348	575.74	N	50 W	58 SW	0 crack	
1	1349	6	65	91	64.9901	-1.13441	90	91	1349	576.47	N	1 E	65 S	1 open crack	
1	1350	5	74	168	15.38547	-72.3829	90	168	1350	576.49	N	78 E	74 S	0 mineral vein	

				lithofacies boundary	C	C		
6	1351	18.71179 -90	61.2035 -60.5197	-40.8211 -270	236	577.17	17 W	
64	1352	236	161	25.08875 -72.8049 90	34 W	577.52	73 SW	
1	1353	73	161	-38.9885 -47.4059 -270	34 W	577.72	71 E	
4	1354	77	219	-62.7556 -270	51 W	577.74	61 SW	
5	1355	61	219	-38.9885 -47.4059 -270	58 W	577.74	6 open crack	
5	1356	5	74	212	1355	578.06	74 SW	
5	1357	66	223	-45.0119 -48.2693 -270	223	578.09	0 crack	
5	1358	64	223	-43.6479 -46.8066 -270	1356	578.12	47 W	
5	1359	5	64	222	-42.8244 -47.5613 -270	223	578.12	64 SW
5	1360	62	219	-48.183 -57.22	222	578.16	0 crack	
4	1361	4	73	148	38.68411 -61.9075 90	219	578.22	51 W
4	1362	4	76	164	20.94844 -73.0559 90	148	579.90	62 SW
3	1363	40	3	316	-27.77863 28.77359 270	164	580.17	73 SE
4	1364	4	76	161	24.74318 -71.8594 90	316	581.51	74 E
4	1365	4	68	164	18.74332 -65.3658 90	161	584.83	40 NW
4	1366	4	50	158	18.73033 -46.3592 90	164	585.62	71 E
1	1367	1	44	232	-38.4833 21.33162 270	232	586.97	68 E
2	1368	2	3	197	-2.36403 -1.84698 -270	197	587.40	3 SW
5	1369	50	50	201	-17.9184 -46.679 -270	201	587.73	73 W
2	1370	15	15	279	-14.8153 2.346517 270	279	587.76	69 W
1	1371	33	33	219	-20.7676 -25.6458 -270	219	587.87	50 S
5	1372	67	67	208	-31.4546 -59.1575 -270	299	588.97	44 W
1	1373	65	65	254	-62.482 -17.9164 -270	208	588.32	0 hair crack
5	1374	47	47	200	-16.0749 -44.1636 -270	254	588.53	0 hair crack
1	1375	85	85	251	-80.3691 -27.6753 -270	200	588.63	0 crack
5	1376	73	73	219	-45.9404 -56.7317 -270	251	589.00	0 open crack
1	1377	82	82	253	-78.417 -23.9745 -270	219	589.00	0 hair crack
4	1378	80	80	155	33.80946 -72.5046 90	219	589.15	0 crack
1	1379	87	87	274	-86.7881 6.068813 270	155	589.32	67 S
5	1380	49	49	216	-28.8015 -39.6418 -270	274	589.32	62 W
5	1381	73	73	173	8.886462 -72.4559 90	201	589.36	65 W
6	1382	60	60	99	-59.2613 -9.38607 90	251	589.44	47 S
5	1383	67	67	175	5.839435 -66.745 90	175	589.44	87 W
6	1384	68	68	100	66.96693 -11.8081 90	100	589.50	85 W
5	1385	69	69	166	16.89261 -66.9504 90	166	590.58	80 S
6	1386	74	74	95	73.7184 -6.44952 90	95	590.58	4 E
1	1387	61	61	240	-32.8275 -30.5 -270	1386	591.93	87 W
3	1388	57	57	317	-38.8739 41.68716 270	1387	592.54	54 E
6	1389	68	68	95	67.74124 -5.92659 90	317	592.54	61 SW
5	1390	69	69	95	68.73743 -6.01375 90	95	592.73	57 NW
6	1391	55	65	165	16.32324 -32.7852 90	95	592.73	0.5 open crack
5	1392	56	66	173	2.303367 -65.9598 90	165	592.79	5 E
1	1393	54	52	242	-47.6732 -25.3515 -270	178	592.79	69 E
1	1394	51	52	243	-46.3323 -23.6075 -270	242	593.05	65 S
5	1395	70	70	179	1.221668 -69.9893 90	243	593.12	72 E
6	1396	69	72	96	71.60568 -7.52605 90	179	593.40	70 S
6	1397	67	67	91	66.9898 -1.16931 90	96	593.80	6 E
6	1398	66	66	85	65.74895 -5.752279 -90	91	594.02	67 E
1	1399	72	72	239	-61.716 -37.0827 -270	85	594.60	66 E
3	1400	49	350	-8.50876 48.25558 270	239	594.93	31 W	
					350	594.96	80 E	

1	1401	66	240	-57.1577	-33 -270	240	66 SW	30 W	5 open crack
1	1402	64	240	-55.1256	-32 -270	240	64 SW	30 W	0 crack
1	1403	51	51	-50.9922	-0.88007 -270	240	595.33	1 W	0 crack
1	1404	5	63	1.91	-12.021 -61.8425	240	595.60	51 W	0 crack
1	1405	1	67	242	-59.1575 -31.4546 -270	242	595.68	79 W	hair crack
1	1406	5	63	174	6.585293 -62.6549	90	595.78	28 W	1 open crack
1	1407	1	65	65	-30.5157 -57.3916	-270	595.90	84 E	0.5 open crack
1	1408	1	62	248	-57.4854 -23.2256	-270	596.13	28 W	0 crack
1	1409	5	78	182	-2.72216 -77.9525	-270	596.19	22 W	0.5 open crack
1	1410	3	61	318	-40.817 45.33183	270	597.69	88 W	0 crack
1	1411	5	67	183	-3.50651 -66.9082	-270	597.79	48 E	0 crack
1	1412	5	60	188	-8.35039 -59.4161	-270	597.83	87 W	0.5 open crack
1	1413	5	69	183	-3.61118 -68.9054	-270	598.21	82 W	0 crack
1	1414	5	78	184	-5.441 -77.81	-270	598.26	87 W	0.5 open crack
1	1415	3	67	326	-37.4659 55.54552	-270	598.28	78 S	0 crack
1	1416	3	67	19	21.81307 63.34974	-90	598.31	N	67 NW
1	1417	4	65	158	24.34943 -60.267	90	598.31	N	61 NW
1	1418	3	56	322	-34.477 44.1296	270	598.66	71 W	0 boundary
1	1419	1	60	255	-57.9555 -15.5291	-270	599.15	68 E	0 hair crack
1	1420	2	22	171	3.441558 -21.7291	90	599.18	52 E	0 crack
1	1421	6	64	35	36.70889 52.42573	-90	599.03	15 W	1 open crack
1	1422	2	30	156	12.2021 -27.4064	90	599.05	86 W	0 crack
1	1423	2	41	171	6.413813 -40.4932	90	599.05	81 E	0 crack
1	1424	5	59	178	2.05907 -58.9641	90	599.26	88 E	0 hair crack
1	1425	1	67	280	-65.9821 11.63443	270	599.27	10 E	0 hair crack
1	1426	5	67	181	-11.6931 -66.9898	-270	599.51	67 S	0 crack
1	1427	3	20	297	-17.8201 9.07981	270	599.51	27 E	0 hair crack
1	1428	5	66	167	14.84677 -64.3084	90	600.23	77 E	0 crack
1	1429	1	79	234	-63.9123 -46.435	-270	601.01	36 W	1.5 open crack
1	1430	1	80	250	-75.1754 -27.3616	-270	601.21	79 SW	0.5 open crack
1	1431	5	63	63	-4.39466 -62.8465	-270	601.62	20 W	0 crack
1	1432	5	65	183	-3.40184 -64.9109	-270	601.91	86 W	0.5 open crack
1	1433	3	58	311	-43.7732 38.05142	270	601.93	87 W	0 crack
1	1434	1	72	249	-67.2178 -25.8025	-270	602.29	N	58 NW
1	1435	5	67	166	16.20877 -65.0098	90	602.43	21 W	0 crack
1	1436	1	69	248	-63.9757 -25.8479	-270	605.28	76 E	0.5 open crack
1	1437	1	75	247	-69.0379 -29.3048	-270	606.67	22 W	0 crack
1	1438	1	68	240	-58.8897 -34 -270	240	606.88	23 W	0 hair crack
1	1439	1	52	255	-50.2281 -13.4586	-270	607.33	30 W	1 open crack
1	1440	1	48	300	-41.5692 24	270	607.35	15 W	0 hair crack
1	1441	3	37	334	-16.2197 33.25538	270	607.35	30 E	0 hair crack
1	1442	2	21	138	14.05174 -15.606	90	607.49	64 E	0 hair crack
1	1443	3	63	342	-19.4681 55.91636	270	607.53	48 E	0 hair crack
1	1444	3	9	341	-2.93011 8.509667	270	607.69	72 E	0.5 open crack
1	1445	5	66	169	12.59339 -64.7874	90	608.88	71 E	0 hair crack
1	1446	5	62	172	8.628732 -61.3966	90	611.87	79 E	1.5 open crack
1	1447	5	65	169	12.40258 -63.8058	90	612.25	65 S	0 crack
1	1448	2	34	170	5.904038 -33.4835	90	612.28	80 E	0 crack
1	1449	4	62	162	19.15905 -38.9635	90	612.36	72 E	0 mineral vein
1	1450	2	35	173	4.265427 -34.7391	90	612.59	83 E	0.5 open crack

1	57	271	-56.9913	0.994787	270	271	57 W	1 E	0 crack	
1	5	54	-32.498	-43.1263	-270	217	54 SW	53 W	0 hair crack	
1	502	1	45	298	-39.7326	21.12622	270	28 E	0 crack	
1	503	1	6	72	52	56.73677	44.32763	-90	0 crack	
1	504	1	6	68	207	-30.8714	-60.5884	-270	0 crack	
1	1504	6	72	68	214	-38.0251	-56.3746	-270	0 crack	
1	1505	5	68	79	270	-79	0	0	0 crack	
1	1506	5	68	69	162	21.32217	-65.6229	90	0 crack	
1	1507	1	79	62	180	0	-62	0	0 crack	
1	1508	4	69	70	157	27.35118	-64.4353	90	0 hair crack	
1	1509	5	62	70	85	-83.7087	-14.7601	-270	0 hair crack	
1	1510	1	1	72	225	-50.9117	-50.9117	-270	0 hair crack	
1	1511	5	72	78	75.31737	16.0092	-90	225	0 crack	
1	1512	6	77	58	22.88973	14.30782	-90	78	0 crack	
1	1513	6	27	33	19	10.74375	31.20211	-90	0 crack	
1	1514	4	70	36	96	35.80279	-3.76302	90	0 crack	
1	1515	6	36	96	153	33.14131	-65.0435	90	0 crack	
1	1516	4	73	153	28	7.042073	13.24421	-90	153	0 crack
1	1517	3	15	75	166	18.14414	-72.7722	90	28	0 hair crack
1	1518	4	75	33	19	10.74375	-64.4353	90	166	0 hair crack
1	1519	6	33	19	157	14.30782	-90	19	1519	0 hair crack
1	1520	6	50	36	36	29.35926	40.45085	-90	36	0 hair crack
1	1521	6	35	12	12	7.276909	34.23517	-90	12	0 crack
1	1522	6	40	24	24	16.258947	36.54132	-90	24	0 crack
1	1523	6	59	67	67	54.309979	23.05314	-90	67	0 hair crack
1	1524	4	73	160	24.96747	-88.5976	90	160	0 crack	
1	1525	6	50	66	45.67727	20.33683	-90	66	0 crack	
1	1526	4	70	157	27.35118	-64.4353	90	157	0 crack	
1	1527	6	69	86	86	68.83192	4.813197	-90	86	0 crack
1	1528	6	71	88	88	70.98675	2.477864	-90	88	0 crack
1	1529	6	74	109	109	69.968837	-24.092	90	109	0 crack
1	1530	5	78	210	210	-67.35	-270	0	210	open crack
1	1531	4	72	159	25.860249	-57.2178	90	159	0 hair crack	
1	1532	6	82	93	81.88762	-4.2915	90	93	0 hair crack	
1	1533	5	75	177	3.925197	-74.8972	90	177	0 hair crack	
1	1534	6	42	84	41.76992	4.39195	-90	84	0 hair crack	
1	1535	4	61	153	27.68342	-54.3514	90	153	0 hair crack	
1	1536	2	41	176	2.860015	-40.9001	90	176	0 hair crack	
1	1537	1	86	283	-83.7958	19.34579	270	283	0 hair crack	
1	1538	6	69	87	68.90544	3.611181	-90	87	0 hair crack	
1	1539	2	30	131	22.64129	-19.6818	90	131	0 hair crack	
1	1540	3	46	323	-27.6835	36.73723	270	323	0 hair crack	
1	1541	4	54	143	32.49801	-43.1263	90	143	0 hair crack	
1	1542	6	60	79	58.89763	11.44854	-90	79	0 hair crack	
1	1543	2	9	154	3.94534	-8.08915	90	154	0 hair crack	
1	1544	6	65	78	63.57959	13.51426	-90	78	0 hair crack	
1	1545	6	64	75	61.81925	18.56442	-90	75	0 hair crack	
1	1546	6	71	72	67.52501	21.94021	-90	72	0 hair crack	
1	1547	1	65	244	-58.4216	-28.4941	-270	244	0 hair crack	
1	1548	1	51	297	-45.4413	23.1532	270	297	0 hair crack	
1	1549	2	10	273	-9.9883	0.52336	270	273	0 hair crack	
1	1550	3	41	310	-31.4078	26.35429	270	310	0 hair crack	

1551	33	30	-25.2795	21.21199	270	33 NW	40 E	0 hair crack
1552	3	33	-335.-13.9464	29.90816	270	33 N	65 E	0 hair crack
1553	5	46	-30.1787	-34.7166	-70	46 SW	49 W	0 hair crack
1554	6	20	65	18.12616	8.452365	-90	20 E	0 hair crack
1555	1	1	40	277	-39.7018	4.874774	270	0 hair crack
1556	1	47	230	-36.0041	-30.211	-270	0 hair crack	0 hair crack
1557	4	48	125	39.3193	-27.5317	90	47 SW	0 hair crack
1558	4	47	130	36.00409	-30.211	90	35 E	0 boundary
1559	4	44	141	27.6901	-34.1944	90	40 E	0 boundary
1560	4	48	134	34.52831	-33.3436	90	47 SE	0 boundary
1561	4	54	136	37.51155	-38.8443	90	44 SE	0 boundary
1562	4	54	126	43.68692	-31.7404	90	54 SE	0 boundary
1563	4	53	126	42.8779	-31.1526	90	36 E	0 boundary
1564	2	28	144	16.45799	-22.6525	90	53 SE	0 boundary
1565	2	22	133	16.08978	-15.004	90	28 SE	0 hair crack
1566	3	20	35	11.47153	16.38304	-90	22 SE	0 hair crack
1567	4	64	142	39.40233	-50.4327	90	20 NE	0 hair crack
1568	1	71	234	-57.4402	-41.7328	-270	55 W	0 crack
1569	5	51	195	-50.8059	-270	142	1567	0 crack
1570	4	65	153	29.50938	-57.9154	90	1568	0 hair crack
1571	6	34	14	8.225344	32.96005	-90	1569	0 hair crack
1572	2	28	140	17.99805	-21.4492	90	1570	0 hair crack
1573	1	58	248	-53.7767	-21.7272	-270	1571	0 hair crack
1574	6	17	84	16.90687	1.776984	-90	1572	0 hair crack
1575	3	54	330	-27	46.76537	270	1573	0 crack
1576	2	9	307	-7.18772	5.416335	270	1574	0 hair crack
1577	3	59	329	-30.3872	50.51728	270	1575	0 hair crack
1578	1	46	260	-45.3012	-7.98782	-270	1576	0 hair crack
1579	1	36	220	-23.1404	-27.5776	-270	1577	0 hair crack
1580	1	43	249	-40.144	-15.4098	-270	1578	0 hair crack
1581	2	3	293	-2.76151	1.172193	270	1579	0 hair crack
1582	2	33	150	16.5	-28.5788	90	1580	0 hair crack
1583	1	63	267	-62.9137	-3.29717	-270	1581	0 mineral vein
1584	6	15	96	14.91783	-1.56793	90	1582	0 flow structure
1585	2	21	104	20.31621	-5.08036	90	1583	0 flow structure
1586	2	18	126	14.56231	-10.5801	90	1584	0 flow structure
1587	1	62	264	-61.1604	-6.48076	-270	1585	0 crack
1588	2	17	113	15.64858	-6.64243	90	1586	0 crack
1589	2	21	131	15.84889	-13.7772	90	1587	0 crack
1590	2	14	207	-6.35587	-12.4741	-270	1588	0 crack
1591	1	29	277	-28.7838	3.534211	270	1589	0 crack
1592	6	55	93	16.83456	-2.36594	90	1590	0 crack
1593	6	19	88	18.99843	0.66309	-90	1591	0 crack
1594	6	49	86	48.88064	3.41807	-90	1592	0 crack
1595	6	55	84	54.6987	5.749065	-90	1593	0 crack
1596	3	44	341	-14.325	41.60232	270	1594	0 crack
1597	6	55	93	54.92462	-2.87848	90	1595	0 crack
1598	6	38	95	37.8554	-3.31182	90	1596	0 crack
1599	2	9	291	-8.40222	3.225312	270	1597	0 crack
1600	2	3	63	2.67302	1.361971	-90	1598	0 crack

1601	3	275	-2.98858	0.261467	270	3 W	43 S	43 S	0 hair crack	0 hair crack	P	
1602	5	43	197	-12.572	-41.1211	-270	197	1602	761.53	N	73 W	
1603	2	1	28	227	-20.4779	-19.096	-270	227	1603	762.07	N	20 E
1604	2	1	42	246	-38.3689	-17.0829	-270	246	1605	762.34	N	43 W
1605	1	40	255	-38.637	-10.3528	-270	255	1606	765.07	N	24 W	
1606	1	48	253	-45.9026	-14.0338	-270	253	1607	767.81	N	15 W	
1607	1	6	277	-5.95258	0.731216	270	277	1608	768.48	N	17 W	
1608	2	1	59	239	-50.5729	-30.3872	-270	239	1609	773.13	N	7 E
1609	1	20	244	-17.9759	-8.76742	-270	244	1610	773.22	N	31 W	
1610	1	65	255	62.7852	-16.8232	-270	255	1611	773.30	N	26 W	
1611	1	41	264	-40.7754	-4.28567	-270	264	1612	773.35	N	42 W	
1612	1	35	239	-30.0009	-18.0263	-270	239	1613	773.39	N	40 W	
1613	1	6	29	25	12.25593	26.38293	-90	25	1614	776.11	N	35 SW
1614	6	51	184	-3.55758	-50.8758	-270	184	1615	776.32	N	29 N	
1615	5	51	47	184	-3.27855	-46.8855	-270	184	1616	776.38	N	65 W
1616	2	27	209	-13.0899	-23.6147	-270	209	1617	777.37	N	41 W	
1617	2	1	43	250	-40.4068	-14.7089	-270	250	1618	777.77	N	35 SW
1618	1	45	235	-36.8618	-25.8109	-270	235	1619	779.21	N	65 W	
1619	1	4	51	125	41.77675	-29.2524	90	125	1620	779.46	N	51 SE
1620	4	1	39	227	-28.52228	-26.5979	-270	227	1621	780.96	N	39 SW
1621	1	68	253	-65.0287	-19.8813	-270	253	1622	783.68	N	47 S	
1622	1	33	233	-26.355	-19.8599	-270	233	1623	783.96	N	27 S	
1623	1	2	28	239	-24.0007	-14.4211	-270	239	1624	784.03	N	43 W
1624	2	1	50	150	16.5	-28.5788	90	150	1625	786.77	N	28 SW
1625	2	33	148	18.01725	-28.8336	90	148	1626	786.87	N	31 W	
1626	2	34	63	42.76931	21.79154	-90	63	1627	789.19	N	34 SE	
1627	6	6	59	251	-55.7856	-19.2085	-270	251	1628	790.81	N	27 W
1628	1	50	76	48.51479	12.09669	-90	76	1629	792.67	N	59 W	
1629	6	1	61	243	-54.3514	-27.6934	-270	243	1630	793.21	N	14 W
1630	1	59	59	244	-53.9288	-25.6639	-270	244	1631	793.24	N	60 E
1631	1	64	244	-57.5228	-28.0558	-270	244	1632	793.53	N	58 E	
1632	1	62	245	-56.1911	-26.2023	-270	245	1633	793.59	N	32 S	
1633	1	51	237	-42.7722	-27.7766	-270	237	1634	793.95	N	33 W	
1634	1	26	225	-18.3848	-18.3848	-270	225	1635	794.05	N	45 W	
1635	2	5	51	221	-33.459	-38.4902	-270	221	1636	794.08	N	61 W
1636	5	6	50	19	16.27841	47.27583	-90	19	1637	794.79	N	59 W
1637	6	1	25	286	-24.0315	6.880934	270	286	1638	795.67	N	50 N
1638	1	73	156	29.69177	-66.6888	90	156	1639	797.12	N	25 W	
1639	4	73	168	15.59338	-73.3611	90	168	1640	797.29	N	73 S	
1640	5	75	71	329	-36.5677	60.85888	270	329	1641	798.05	N	42 SW
1641	3	71	227	-19.778	-21.2093	-270	227	1642	800.53	N	31 SW	
1642	2	29	223	-13.391	-22.2863	270	223	1643	800.56	N	47 W	
1643	2	26	211	-13.391	-22.2863	270	211	1644	800.78	N	26 SW	
1644	4	74	155	31.27315	-67.0668	90	155	1645	801.02	N	74 S	
1645	1	42	231	-32.6401	-26.4315	270	231	1646	801.02	N	43 W	
1646	1	31	17	174	1.776984	-16.9069	90	174	1647	801.09	N	17 S
1647	2	1	34	240	-29.4449	-17	-270	240	1648	802.77	N	34 SW
1648	4	1	39	244	-35.053	-17.0965	-270	244	1649	802.80	N	26 W
1649	1	5	56	184	-3.90636	-55.8636	-270	184	1650	805.05	N	39 W
1650	5									86 W	56 S	

1	66	261	-65.1874	-10.3247	-270	9 W	66 W								
1	70	257	-68.2059	-15.7466	-270	13 W	70 W								
1	74	258	-72.3829	-15.3855	-270	12 W	74 W								
1	653	65	213	-35.4015	-54.5136	-270	12 W								
1	654	5	65	214	20	4.788282	13.1557	-90	20	1655	257	1652	806.14	N	0 crack
1	655	3	14	50	62.81564	52.70858	-90	50	1656	1653	806.19	N	0 crack		
1	656	6	82	59	213	-32.1337	-49.4816	-270	13	1657	1654	806.53	N	0 crack	
1	657	5	65	65	223	-44.3299	-47.538	-270	223	1658	1655	807.79	N	0 hair crack.	
1	658	5	65	66	214	-36.9067	-54.7165	-270	214	1659	1657	807.91	N	0 crack	
1	659	5	62	216	-36.4427	-50.1591	-270	216	1660	1658	809.81	N	0 crack		
1	660	3	20	22	7.492132	18.54368	-90	22	1661	1659	809.90	N	0 hair crack		
1	661	3	18	11	3.434562	17.66929	-90	11	1662	1660	810.04	N	0 hair crack		
1	662	3	14	13	3.149315	13.64118	-90	13	1663	1661	810.07	N	0 hair crack.		
1	663	5	66	214	223	-44.3299	-47.538	-270	223	1664	1662	810.15	N	0 crack	
1	664	6	66	22	20.098	8.948206	-90	66	1665	1663	810.65	N	0 hair crack		
1	665	6	18	66	16.44382	7.32126	-90	66	1666	1664	811.55	N	0 hair crack		
1	666	6	26	85	25.90106	2.266049	-90	85	1667	1665	811.56	N	0 crack		
1	667	6	23	76	22.3168	5.564204	-90	76	1668	1666	811.58	N	1 open crack		
1	668	6	31	75	29.9437	8.02339	-90	75	1669	1667	811.60	N	0 crack		
1	669	1	22	288	-20.9232	6.798374	270	288	1670	1668	811.60	N	0 crack		
1	670	3	13	304	-10.7775	7.269508	270	304	1671	1669	811.69	N	0 hair crack		
1	671	1	37	229	-27.9243	-24.2742	-270	229	1672	1667	811.76	N	0 hair crack		
1	672	5	80	23	-54.5599	-58.5083	-270	223	1673	1672	811.85	N	0 hair crack		
1	673	5	69	208	-32.3935	-60.9234	-270	208	1674	1673	813.65	N	0 hair crack		
1	674	1	77	248	-71.3932	-28.8447	-270	248	1675	1674	813.81	N	0 crack		
1	675	1	51	286	-49.0243	14.05751	270	286	1676	1675	814.05	N	0 crack		
1	676	5	78	210	-39	-67.55	-270	210	1677	1676	814.37	N	0 crack		
1	677	3	86	15	22.25844	83.06962	-90	15	1678	1677	815.14	N	0 crack		
1	678	5	66	213	-35.9462	-53.3523	-270	213	1679	1678	815.35	N	0.5 open crack		
1	679	3	12	17	3.50846	11.47566	-90	17	1680	1679	815.44	N	0 hair crack		
1	680	5	55	217	-32.0998	-43.925	-270	217	1681	1680	815.46	N	0 crack		
1	681	3	15	350	-2.86472	14.77212	270	350	1682	1681	815.52	N	0 hair crack		
1	682	5	60	205	-25.3571	-54.3785	-270	205	1683	1682	815.54	N	0 crack		
1	683	3	22	6	2.299626	21.87948	-90	6	1684	1683	815.60	N	0 hair crack		
1	684	1	52	240	-45.0333	-26	-270	240	1685	1684	815.85	N	0 crack		
1	685	3	40	354	-4.18114	39.78088	270	354	1686	1685	816.18	N	0 hair crack		
1	686	1	58	258	-56.1326	-12.0569	-270	258	1687	1686	815.92	N	0 crack		
1	687	6	62	120	53.69358	-31	90	120	1688	1687	815.94	N	0 crack		
1	688	1	45	249	-42.0111	-16.1266	-270	249	1689	1688	816.16	N	0 crack		
1	689	1	50	261	-49.3844	-7.82172	-270	261	1690	1689	816.18	N	0 hair crack		
1	690	6	48	44	33.3436	34.52831	-90	44	1691	1690	816.18	N	0 crack		
1	691	1	44	244	-39.5469	-19.2883	-270	244	1692	1691	816.24	N	0 crack		
1	692	1	56	264	-55.6932	-5.95359	-270	264	1693	1692	816.32	N	0 crack		
1	693	1	59	241	-51.6026	-28.6038	-270	241	1694	1693	816.37	N	0 crack		
1	694	1	66	239	-56.573	-33.9925	-270	239	1695	1694	816.44	N	0 crack		
1	695	1	68	248	-63.0485	-25.4732	-270	248	1696	1695	816.53	N	0 crack		
1	696	1	72	237	-60.3843	-39.214	-270	237	1697	1696	816.57	N	0 crack		
1	697	1	60	246	-54.8127	-24.40427	-270	246	1698	1697	816.64	N	60 W		
1	698	1	73	240	-63.2199	-36.5	-270	240	1699	1698	816.71	N	73 SW		
1	699	1	57	245	-51.6595	-24.0892	-270	245	1700	1699	816.71	N	57 W		
1	700	1	74	241	-64.7219	-35.8759	-270	241	1700	1700	816.96	N	74 W		

1	1	59	1701	23 W	59 W	0 crack
1	1	60	1702	28 W	60 W	0.5 open crack
1	1	58	1703	24 W	58 W	0 crack
1	1	57	1704	20 W	57 W	0 crack
1	1	57	1705	30 W	57 SW	0 crack
1	1	62	1706	32 W	62 SW	0 hair crack
1	1	57	1707	27 W	57 W	0 crack
1	1	68	1708	58 W	88 NE	0 crack
1	1	65	1709	10 W	65 W	0 hair crack
1	1	64	1710	26 W	64 W	0 crack
1	1	74	1711	26 W	64 W	0 crack
1	1	67	1712	25 W	74 W	0 crack
1	1	70	1713	33 W	67 SW	0 crack
1	1	58	1714	27 W	70 W	0 crack
1	1	58	1715	27 W	58 W	0 crack
1	2	22	1716	71 S	71 S	0 crack
1	2	21	1717	22 S	22 S	0 hair crack
1	1	78	1718	65 W	21 S	0 crack
1	1	64	1719	37 W	37 W	0 crack
1	1	57	1720	39 W	64 SW	0 hair crack
1	1	72	1721	51 W	51 W	0 crack
1	1	77	1722	72 S	72 S	0 crack
1	1	58	1723	62 W	62 W	0 crack
1	1	59	1724	40 W	77 SW	0 crack
1	1	66	1725	18 W	58 W	0 crack
1	6	67	1726	12 W	59 W	0 hair crack
1	6	87	1727	12 W	66 W	0 crack
1	6	64	1728	40 E	66 SE	0 crack
1	4	130	1729	34 E	67 SE	0 crack
1	6	66	1730	1 E	64 E	0 hair crack
1	6	67	1731	58 E	58 E	0 crack
1	6	124	1732	13 W	64 E	0 crack
1	6	64	1733	29 E	70 E	0 crack
1	6	91	1734	40 E	61 E	0 crack
1	6	79	1735	34 E	66 SE	0 crack
1	6	70	1736	7 W	63 E	0 crack
1	6	84	1737	11 W	58 W	0 hair crack
1	6	61	1738	29 E	70 E	0 crack
1	4	134	1739	44 E	63 E	0 crack
1	4	66	1740	7 W	63 E	0 crack
1	6	63	1741	54 W	91 SW	0 crack
1	6	83	1742	54 W	77 SW	0 hair crack
1	5	81	1743	19 E	45 W	0 crack
1	5	45	1744	48 E	1 NW	0 crack
1	2	1	1745	15 E	36 W	0 hair crack
1	1	318	1746	54 W	76 SW	0 hair crack
1	1	36	1747	54 W	70 S	0 boundary
1	5	76	1748	53 E	42 S	0 mineral vein
1	5	63	1749	83 W	14 S	0 hair crack
1	4	67	1750	83 E	53 W	0 hair crack
1	4	14	1751	1747	14 S	0 boundary
1	5	77	1752	832.81	53 W	0 boundary
1	5	77	1753	833.48	60 S	0 boundary
1	5	70	1754	834.13	89 E	0 boundary
1	5	55	1755	834.17	89 E	0 boundary

1751	64	5	59	179	2.233568	-63.961 90	88 E	0 boundary	P
1752	5	5	50	340	-17.101	46.98463 270	89 E	0 boundary	P
1753	3	6	43	35	24.63379	35.22354 -90	59 S	0 hair crack	C
1754	6	6	68	209	-32.9671	-59.4741 -270	50 N	0 crack	P
1755	5	5	71	210	-35.5	-61.4878 -270	43 NE	0 crack	-
1756	5	5	73	213	-38.1247	-56.7069 -270	55 W	0 crack	-
1757	5	5	70	216	-10.3011	-65.6112 -270	68 S	0 crack	-
1758	5	5	75	214	-40.2619	-59.6907 -270	71 S	0 crack	-
1759	2	2	15	226	-10.3001	-10.4199 -270	73 S	0 crack	-
1760	2	2	16	293	-14.7281	6.251698 270	70 SW	0 crack	-
1761	6	6	54	79	51.058	17.58068 -90	77 W	0 hair crack	-
1762	5	5	75	209	-36.3607	-65.5965 -270	49 W	0 hair crack	-
1763	5	5	72	214	-14.7179	-61.3853 -270	54 E	0 crack	-
1764	5	5	63	193	-14.7179	-73.80301 -90	75 S	0 crack	-
1765	6	6	88	33	47.92824	7.82518 1.663294 270	72 SW	0 crack	-
1766	2	2	8	282	-8.76933	2.024559 270	56 W	0 hair crack	-
1767	2	2	9	283	-7.82518	1.663294 270	72 SW	0 hair crack	-
1768	6	6	60	51	46.62876	37.75922 -90	51 W	0 hair crack	-
1769	6	6	66	91	65.98995	-1.15186 90	63 S	0 hair crack	-
1770	6	6	66	91	65.98995	-1.15186 90	77 W	0 crack	-
1771	3	3	15	348	-31.11868	14.67221 270	57 W	0 crack	-
1772	2	2	14	128	11.03215	-8.61926 90	23 E	0 hair crack	-
1773	6	6	43	66	39.29245	17.48968 -90	19 W	0 crack	-
1774	6	6	68	94	67.83436	-4.7434 90	13 E	0 mineral vein	-
1775	6	6	52	56	43.10995	29.07803 -90	9 W	0 crack	-
1776	6	6	46	71	43.48385	14.97614 -90	66 E	0 crack	-
1777	3	3	8	3	0.4118688	7.986036 -90	1 E	0 mineral vein	-
1778	5	5	73	210	-36.5	-63.2199 -270	66 E	0 boundary	-
1779	2	2	25	142	15.39154	-19.7003 90	142	0 open crack	-
1780	2	2	24	138	16.05913	-17.8335 90	138	0 boundary	-
1781	3	3	50	326	-27.9596	41.45188 270	326	0 open crack	-
1782	2	2	17	261	-16.7907	-2.65939 -270	261	0.5 open crack	-
1783	2	2	15	266	-14.9635	-1.04635 -270	266	0.5 open crack	-
1784	2	2	27	181	-0.34905	-19.997 -270	181	0 crack	-
1785	2	2	22	129	17.09721	-26.9939 -270	181	0 crack	-
1786	2	2	19	312	-14.1198	12.71348 270	129	0 crack	-
1787	3	3	14	340	-4.78828	13.1557 270	312	0 crack	-
1788	3	2	36	167	8.098238	-35.0773 90	340	0 crack	-
1789	2	2	17	147	9.258864	-14.2574 90	167	0 crack	-
1790	2	2	18	148	9.538547	-15.2649 90	147	0 crack	-
1791	2	2	51	233	-40.7304	-30.6926 -270	148	0 crack	-
1792	1	1	20	152	9.388431	-17.659 90	152	0 hair crack	-
1793	2	2	22	110	20.67324	-7.52444 90	110	0 hair crack	-
1794	2	2	18	187	-2.19365	-17.8658 -270	187	0 crack	-
1795	2	2	31	198	-9.57953	-29.4828 -270	198	0 hair crack	-
1796	2	2	28	203	-10.9405	-25.7741 -270	203	0 boundary	-
1797	2	2	36	201	-12.9012	-33.6089 -270	201	0 boundary	-
1798	1	1	68	287	-65.0287	19.88128 270	287	0 crack	-
1799	2	2	17	233	-13.5768	-10.2309 -270	233	0 boundary	-
1800	2	2	17	1800	861.27	37 W	17 SW	C	C

1851	265	-16.8353	-1.48165	-270	295	888.46	5 W	17 W	0.5 open crack
1852	235	-13.9256	-9.7508	-270	235	888.52	35 W	17 SW	1 open crack
1853	54	52.15999	13.97623	-90	75	888.80	15 W	54 E	0 crack
1854	1	77	241	-67.3457	-37.3303	-270	241	1854	0 crack
1855	1	59	241	-51.6026	-28.6038	-270	258	1855	0 crack
1856	2	21	258	-20.5411	-4.36615	-270	261	1856	0 crack
1857	1	51	261	-50.3721	-7.97816	-270	260	1857	0 hair crack
1858	1	55	260	-54.1644	-9.55065	-270	254	1858	0 hair crack
1859	1	61	254	-58.637	-16.8139	-270	252	1859	0 crack
1860	2	24	252	-22.8254	-7.41641	-270	252	1860	0 crack
1861	1	27	269	-26.9959	-0.47121	-270	269	1861	0 crack
1862	1	38	245	-34.4397	-16.0595	-270	245	1862	0 crack
1863	2	18	27	-16.5691	-7.03316	-270	247	1863	0 crack
1864	1	43	252	-40.8954	-13.2877	-270	252	1864	0 crack
1865	2	21	254	-20.1865	-5.7838	-270	254	1865	2.5 open crack
1866	5	83	219	-52.2336	-64.5031	-270	219	1866	1 open crack
1867	2	7	307	-5.59045	4.212705	270	307	1867	4 open crack
1868	5	84	222	-56.207	-62.4242	-270	222	1868	0 crack
1869	5	86	219	-54.1216	-66.8346	-270	219	1869	1 open crack
1870	2	16	244	-14.3807	-7.01394	-270	244	1870	0 crack
1871	1	23	300	-19.9186	-11.5	270	300	1871	0 crack
1872	2	6	233	-4.79181	-3.61099	-270	233	1872	0 crack
1873	2	6	227	-4.38812	-4.09199	-270	227	1873	0 crack
1874	2	4	159	1.433472	-3.733432	90	159	1874	0 crack
1875	3	15	302	-12.7207	7.948789	270	302	1875	0 crack
1876	2	9	171	1.40791	-8.8892	90	171	1876	0 crack
1877	5	87	214	-48.6498	-72.1263	-270	214	1877	2.5 open crack
1878	2	11	232	-8.66812	-6.77228	-270	232	1878	0 crack
1879	2	2	285	-1.93185	0.517638	270	285	1879	0 crack
1880	6	66	97	65.50805	-8.04338	90	97	1880	0 crack
1881	2	6	204	-2.44042	-5.48127	-270	204	1881	0.5 open crack
1882	2	29	119	25.36397	-14.0595	90	119	1882	0 hair crack
1883	4	66	157	25.78825	-60.7533	90	157	1883	0.5 open crack
1884	6	75	94	74.8173	-5.23174	90	94	1884	0 crack
1885	3	16	314	-11.5094	11.11453	270	314	1885	0.5 open crack
1886	3	16	305	-13.1084	9.177223	270	305	1886	0 crack
1887	1	49	228	-36.4141	-32.7874	270	228	1887	0 crack
1888	6	70	89	63.98934	1.221668	-90	89	1888	2 open crack
1889	5	69	220	-44.3523	-52.8571	270	220	1889	0 hair crack
1890	1	56	242	-49.4451	-26.2904	-270	242	1890	0 hair crack
1891	1	64	237	-53.6749	-34.8569	-270	237	1891	0 crack
1892	6	66	42	44.16262	49.04756	-90	42	1892	0 crack
1893	6	38	15	9.835124	36.70518	-90	15	1893	0.5 open crack
1894	1	68	250	-63.8991	-23.2574	-270	250	1894	0 hair crack
1895	1	38	244	-34.1542	-16.6581	270	244	1895	0 hair crack
1896	3	32	315	-22.6274	22.62742	270	315	1896	0 crack
1897	1	56	247	-51.5483	-21.8809	-270	247	1897	0 crack
1898	3	53	337	-20.7087	48.78676	270	337	1898	53 N
1899	5	67	225	-47.3762	-47.3762	-270	225	1899	67 SW
1900	5	73	219	-45.9404	-56.7317	-270	219	1900	73 SW

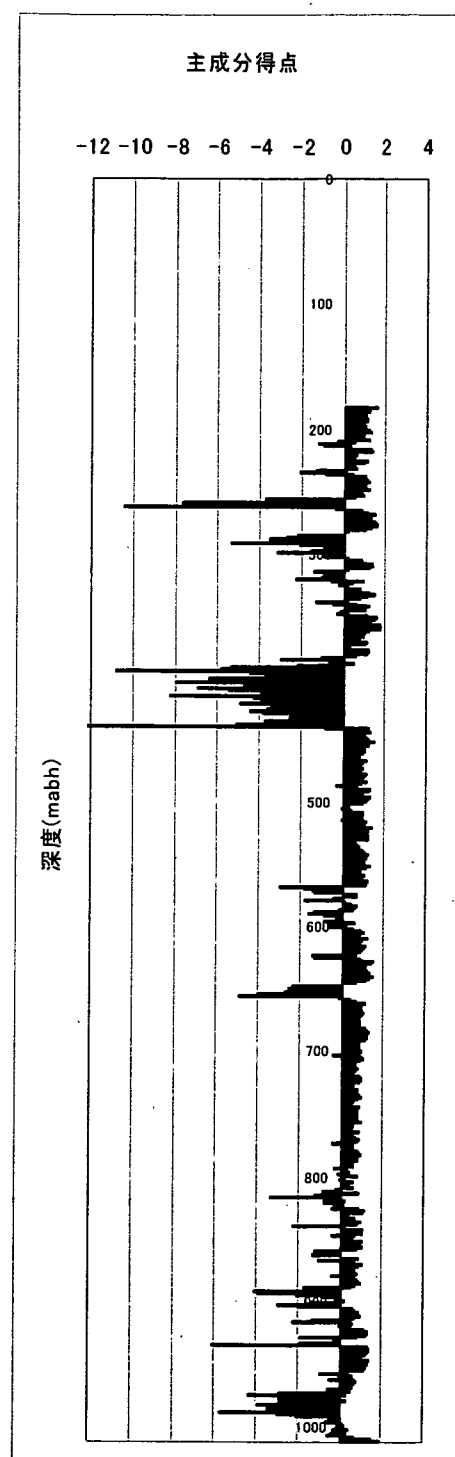
1901	1	294	-36.5418	16.26947	270	220	901.74	24 E	40 W	0 hair crack	
1902	5	290	-52.424	-50.5589	-270	250	901.87	50 W	66 SW	0 crack	
1903	1	48	250	-45.1052	-16.417	270	902.08	20 W	48 W	0 crack	
1904	6	55	75	53.12592	14.23505	-90	902.13	15 W	55 E	0 crack	
1905	1	39	244	-35.053	-17.0965	-270	904	902.17	26 W	1 open crack	
1906	1	44	228	-32.6984	-29.4417	-270	905	902.17	228	0 hair crack	
1907	1	41	239	-35.1439	-21.1166	-270	906	902.20	42 W	0 hair crack	
1908	5	80	217	-48.1452	-63.8908	-270	907	902.23	31 W	0 hair crack	
1909	5	59	223	-40.2379	-63.1499	-270	908	902.76	53 W	0 crack	
1910	1	55	269	-54.59916	-0.95988	-270	909	902.88	47 W	0 crack	
1911	1	51	278	-50.5037	7.097828	270	910	903.01	1 W	0 crack	
1912	5	71	214	-39.7027	-58.8617	-270	911	903.09	8 E	0 hair crack	
1913	5	79	198	-24.4123	-75.1335	-270	912	903.19	56 W	0 crack	
1914	3	18	299	-15.7432	8.726573	270	913	903.31	72 W	0 crack	
1915	1	63	275	-62.7603	5.490812	270	914	903.61	29 E	0 crack	
1916	1	69	276	-68.6622	7.212464	270	915	903.64	5 E	0 crack	
1917	6	79	101	77.54855	-15.0739	90	916	903.70	6 E	1 open crack	
1918	6	72	98	71.2993	-10.0205	90	917	903.98	11 E	0 hair crack	
1919	6	72	99	71.11356	-11.2633	90	918	904.93	8 E	0 hair crack	
1920	6	32	59	27.42935	16.48122	90	919	905.00	9 E	0 hair crack	
1921	5	74	179	129.1478	-73.9887	90	920	905.21	31 W	0 crack	
1922	3	29	356	-2.02294	28.82936	270	921	909.85	74 S	0 mineral vein	
1923	1	32	292	-29.6699	11.98741	270	922	910.70	86 E	0 mineral vein	
1924	6	71	93	70.9027	-3.71565	90	923	910.36	22 E	0 hair vein	
1925	4	42	131	31.6978	-27.5545	90	924	911.90	3 E	0 hair crack	
1926	5	52	208	-24.4125	-45.9133	-270	925	912.41	41 E	0 flow structure	
1927	1	74	272	-73.9549	2.562563	270	926	913.21	62 W	0 crack	
1928	3	9	351	-140791	8.889195	270	927	914.28	2 E	0 hair crack	
1929	1	72	228	-53.5064	-48.1774	-270	928	914.29	81 E	0 crack	
1930	6	63	91	62.9904	-1.0995	90	929	914.45	42 W	0 crack	
1931	6	71	95	70.2982	-6.18806	90	930	914.63	1 E	0 crack	
1932	6	71	91	70.89819	-1.23912	90	931	914.71	5 E	0 crack	
1933	6	71	95	70.72982	-6.18806	90	932	915.02	1 E	0 crack	
1934	6	37	10	6.424983	36.43789	-90	933	915.40	5 E	0 crack	
1935	6	79	91	78.38797	-1.37874	90	934	915.52	80 W	0 crack	
1936	6	42	50	32.17387	26.99708	-90	935	915.55	1 E	0 crack	
1937	6	47	227.98605	41.10713	-90	50	936	915.57	40 W	42 NE	
1938	6	39	39	24.5435	30.30869	-90	29	937	915.59	61 W	47 N
1939	6	74	83	73.44842	9.018331	-90	39	938	915.63	51 W	39 NE
1940	6	46	91	45.99299	-0.80281	90	83	939	915.71	7 W	74 E
1941	6	60	92	56.41668	8.350386	-90	91	940	915.73	1 E	46 E
1942	1	62	262	-61.3966	-8.62873	-270	82	941	915.81	8 W	60 E
1943	1	58	258	-56.7326	-12.0589	-270	262	942	916.22	8 W	62 W
1944	1	37	271	-36.9944	0.645739	270	258	943	916.30	12 W	58 W
1945	1	44	286	-42.2955	12.12804	270	271	944	917.22	1 E	37 W
1946	5	70	208	-32.863	-61.8063	-270	286	945	917.54	16 E	44 W
1947	1	64	259	-62.8241	-12.2118	-270	208	946	918.18	62 W	70 S
1948	1	77	274	-76.8124	5.311248	270	259	947	918.34	11 W	64 W
1949	1	64	285	-63.7565	-5.57797	-270	274	948	918.80	4 E	77 W
1950	57	57	268	-56.9653	-1.98927	-270	265	949	919.22	5 W	64 W
							268	950	919.35	2 W	57 W

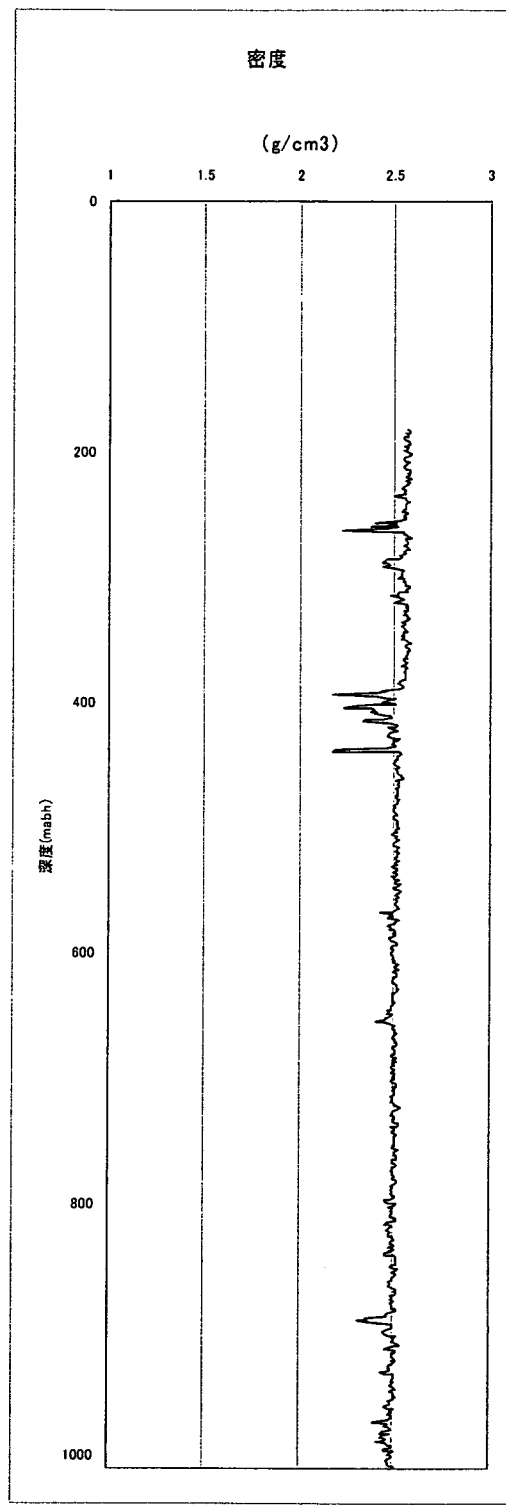
1951	51	282	-49.8855	10.6035	270	51 W	12 E	C
1952	53	272	-52.98677	1.849673	270	52 E	2 E	0 crack
1953	6	54	51.77709	37.61826	-90	54	64 NE	0 hair crack
1954	6	63	67	57.99181	24.61606	-90	67	64 NE
1955	1	57	244	-51.2313	-24.9872	-270	244	0 crack
1956	1	38	237	-31.8695	-20.6963	-270	237	57 W
1957	1	74	263	-73.4484	-9.01833	-270	263	0 crack
1958	1	49	235	-40.1385	-38.1052	-270	235	0 hair crack
1959	1	49	235	-40.1385	-28.1052	-270	235	0 hair crack
1960	1	64	259	-62.8241	-12.2118	-270	259	0 crack
1961	1	66	263	-65.508	-8.04338	-270	263	0 hair crack
1962	1	55	260	-54.1644	-9.85085	-270	260	0 crack
1963	3	16	336	6.560779	14.61673	270	336	0 crack
1964	1	65	276	-64.6439	6.79435	270	276	0.5 open crack
1965	1	62	271	-61.9906	1.082049	270	271	0 crack
1966	1	52	271	-51.9921	0.907525	270	271	0 crack
1967	3	22	308	-17.3362	13.54545	270	308	0 crack
1968	3	21	305	-17.2022	12.04511	270	305	0 crack
1969	3	32	314	-23.0189	22.22907	270	314	0 crack
1970	3	26	311	-19.6224	17.05753	270	311	0 crack
1971	3	22	320	-14.1413	16.85298	270	320	0 crack
1972	6	83	117	73.95354	-37.6812	90	117	0 crack
1973	1	26	294	-23.7522	10.57515	270	294	0 crack
1974	1	26	296	-23.3686	11.39765	270	296	0 crack
1975	3	17	300	-14.7224	8.5	270	300	0 crack
1976	6	13	60	11.25833	6.5	-90	60	0 hair crack
1977	2	10	103	9.743701	-2.24951	90	103	0 crack
1978	6	51	91	50.99223	-0.899007	90	91	0 crack
1979	2	5	187	-0.60935	-4.96273	-270	187	0 crack
1980	2	9	283	8.76933	2.024559	270	283	0.5 open crack
1981	2	8	276	-7.95618	0.836228	270	276	0 crack
1982	3	8	356	-0.55805	7.980512	270	356	0 crack
1983	1	51	264	-50.7206	-5.33095	-270	264	1 open crack
1984	1	46	40	-23.2325	-22.3012	-270	241	0 crack
1985	1	55	239	-47.1442	-28.3271	-270	239	0 crack
1986	1	54	239	-46.287	-27.8121	-270	239	0 crack
1987	5	62	215	-35.5617	-50.7874	-270	215	0 crack
1988	1	34	233	-27.1536	-20.4617	-270	233	0 crack
1989	5	55	223	-37.5099	-40.2245	-270	223	0 crack
1990	5	47	211	-24.2068	-40.2869	-270	211	0 crack
1991	1	40	243	-35.6403	-18.1586	-270	243	0 crack
1992	1	49	278	-48.5231	6.819482	270	278	0 crack
1993	6	41	81	40.49522	6.413813	-90	81	0 crack
1994	1	58	248	-53.7767	-21.7272	-270	248	0 crack
1995	1	58	245	-52.5659	-24.5119	-270	245	0 crack
1996	1	31	244	-27.8626	-13.5885	-270	244	0 hair crack
1997	2	17	279	-16.7907	2.659386	270	279	0 hair crack
1998	2	18	279	-17.7784	2.81582	270	279	0.5 open crack
1999	2	24	256	-23.2871	-5.80613	-270	256	0 hair crack
2000	1	255	-89.5467	-18.635	-270	255	0 crack	

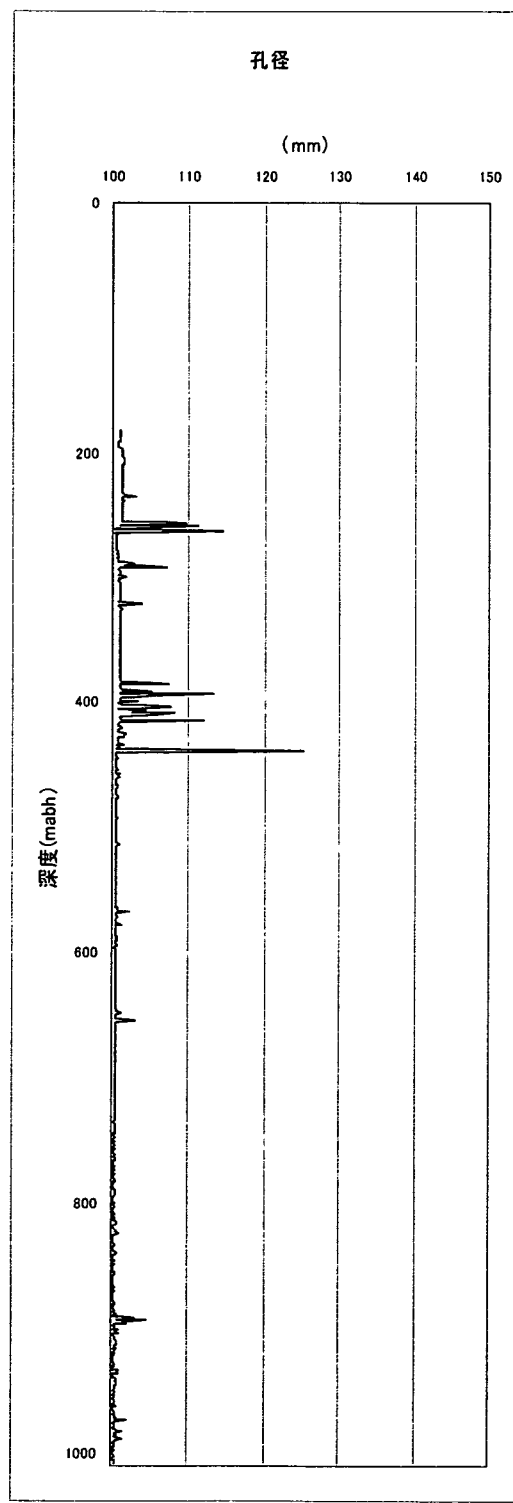
1	65	275	-64.7527	5.665123	270	65 W	0 crack	C	
6	26	55	21.28795	14.91299	-90	55	26 NE	P	
6	67	51	52.06878	42.16447	-90	51	67 NE	C	
6	3	70	-27.3512	64.43534	270	337	2054	0 crack	
2055	6	78	113	71.79938	-35.8713	-270	231	2056	0 crack
2056	1	57	231	-44.2973	-35.8713	-270	230	2057	1.5 open crack
2057	1	72	230	-55.1552	-46.2807	-270	234	2058	0 crack
2058	1	69	234	-55.8222	-40.5572	-270	318	2059	0 crack
2059	3	54	318	-36.1331	40.12932	270	318	2060	0 crack
2060	1	66	245	-59.8163	-27.8928	-270	245	2061	0 crack
2061	1	74	235	-60.6173	-42.4447	-270	235	2062	0 crack
2062	1	56	230	-42.8985	-35.9961	-270	230	2063	0 crack
2063	1	35	303	-29.3535	19.06237	270	303	2064	0 crack
2064	1	29	266	-28.9294	-2.02294	-270	266	2065	0 crack
2065	6	15	94	14.96346	-1.04635	90	94	2066	0 crack
2066	6	49	84	48.73157	5.121895	-90	84	2067	0 crack
2067	6	50	12	10.39558	48.90738	-90	12	2068	0 hair crack
2068	1	57	234	-46.1114	-33.5038	-270	234	2069	0 crack
2069	2	12	165	3.105829	-11.5911	90	165	2070	0 hair crack
2070	5	76	227	-55.5829	-51.8319	-270	227	2071	0 hair crack
2071	2	23	204	-9.35494	-21.0115	-270	204	2072	0 crack
2072	5	80	222	-53.5304	-59.4516	-270	222	2073	0 crack
2073	5	78	206	-34.1929	-70.1059	-270	206	2074	2.5 open crack
2074	2	22	256	-21.3465	-5.32228	-270	256	2075	3.5 open crack
2075	5	71	208	-33.325	-62.6833	-270	208	2076	0.5 open crack
2076	2	14	277	-13.8956	1.706171	270	277	2077	0 crack
2077	1	30	300	-25.9808	15.270	270	300	2078	0 crack
2078	6	64	89	63.39002	1.116954	-90	89	2079	0 hair crack
2079	6	48	83	47.64222	5.849728	-90	83	2080	0 crack
2080	6	51	76	49.48508	12.33802	-90	76	2081	0 crack
2081	1	44	237	-36.9015	-23.9641	-270	237	2082	0 hair crack
2082	2	25	25	-16.7283	-18.5786	-270	222	2083	0 hair crack
2083	5	61	225	-43.1335	-43.1335	-270	225	2084	0 crack
2084	5	69	225	-48.7904	-48.7904	-270	225	2085	0 crack
2085	5	65	223	-44.3299	-47.538	-270	223	2086	0 crack
2086	6	58	55	57.77929	5.055033	-90	85	2087	0 crack
2087	5	70	212	-37.0943	-59.3634	-270	212	2088	0 crack
2088	1	42	247	-38.6612	-16.4107	-270	247	2089	0 crack
2089	1	33	254	-31.7216	-9.09603	-270	254	2090	0 hair crack
2090	3	44	352	-6.12362	43.5718	270	352	2091	0 crack
2091	1	35	283	-34.103	7.873287	270	283	2092	0 crack
2092	1	32	300	-27.7128	16.270	300	2092	1 open crack	
2093	1	39	263	-38.7033	-4.7529	-270	263	2094	0 hair crack
2094	1	31	261	-30.6183	-4.84947	-270	261	2095	0 hair crack
2095	1	49	240	-42.4352	-24.5	-270	240	2096	0 crack
2096	1	51	235	-41.7768	-29.2524	-270	235	2097	0 crack
2097	5	62	196	-17.0895	-59.5982	-270	196	2098	1 open crack
2098	2	34	201	-12.1845	-31.7417	-270	201	2099	0 crack
2099	6	79	63	70.38952	33.86525	-90	63	2100	0 crack
2100	1	41	284	-39.7821	9.918798	270	284	2100	0 hair crack

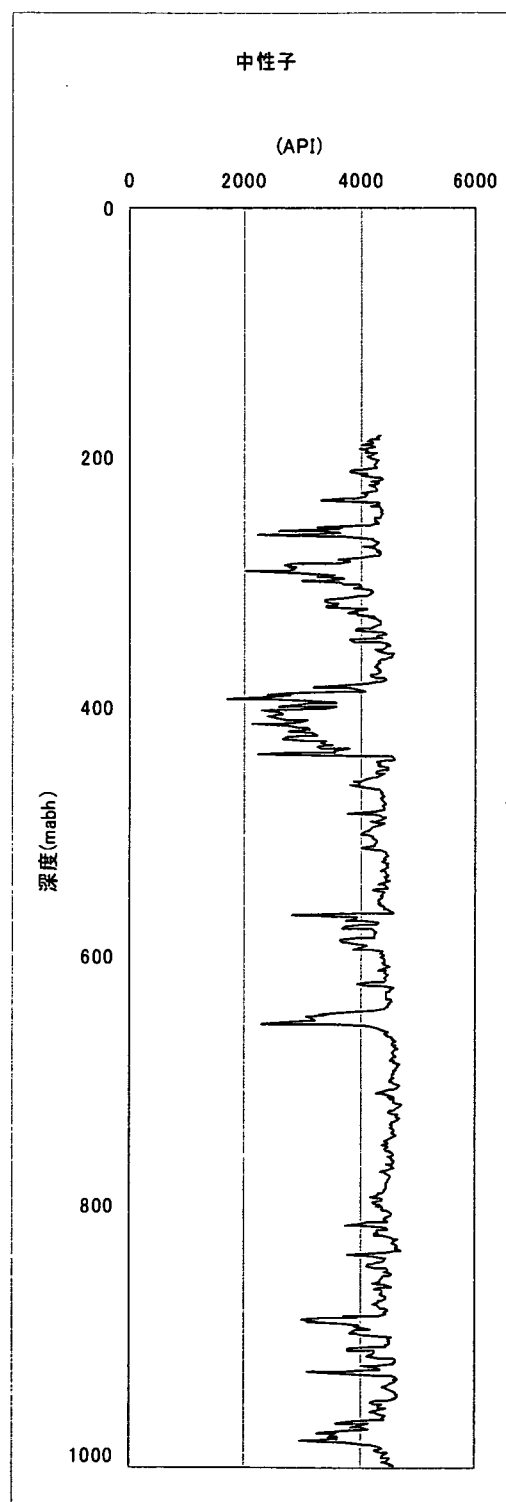
2101	32	236	-26.5292	-17.8942	-270	34 W	32 SW	1.5 open crack		
2102	39	240	-33.775	-19.5	-270	30 W	39 SW	0 crack		
2103	1	34	217	-20.4617	-21.1536	-270	53 W	34 SW	0.5 open crack	
2104	2	22	192	-4.57406	-21.5192	-270	192	2104	1 open crack	
2105	2	1	61	253	-58.3346	-17.8347	-270	253	2105	0 crack
2106	2	1	34	217	-21.1536	-270	217	2106	0 crack	
2107	1	61	255	-58.3215	-15.788	-270	255	2107	0 crack	
2108	1	58	258	-56.7326	-12.0589	-270	258	2108	1.5 open crack	
2109	1	40	253	-38.2522	-11.6949	-270	253	2109	0 crack	
2110	2	18	212	-9.53855	-15.2649	-270	212	2110	0 crack	
2111	1	59	255	-56.9896	-15.2703	-270	255	2111	0 hair crack	
2112	2	3	348	-0.62374	2.934443	270	348	2112	0 crack	
2113	1	35	275	-34.86668	3.050451	270	275	2113	0 crack	
2114	3	18	301	-15.429	9.270635	270	301	2114	0 crack	
2115	6	61	56	50.57129	34.11077	-90	56	2115	0 crack	
2116	1	63	252	-59.9166	-19.4681	-270	252	2116	0 crack	
2117	1	44	243	-39.2043	-19.9756	-270	243	2117	0 crack	
2118	1	33	290	-31.0099	11.28666	270	290	2118	0.5 open crack	
2119	1	59	271	-58.991	1.029682	270	271	2119	2 open crack	
2120	2	33	155	13.9464	-29.9032	90	155	2120	0 crack	
2121	1	60	250	-56.3816	-20.5212	-270	250	2121	1 open crack	
2122	1	44	235	-36.0427	-25.2374	-270	235	2122	0 crack	
2123	1	49	230	-37.5362	-31.4966	-270	230	2123	0 crack	
2124	1	44	235	-36.0427	-25.2374	-270	235	2124	0 hair crack	
2125	4	52	136	36.12224	-37.4057	90	136	2125	0 crack	
2126	1	70	255	-65.7785	-23.9414	-270	255	2126	0 crack	
2127	1	54	248	-50.0679	-20.2288	-270	248	2127	0 crack	
2128	1	64	250	-60.1403	-21.8893	-270	250	2128	0 crack	
2129	1	53	253	-50.6842	-15.4987	-270	253	2129	0 hair crack	
2130	1	68	254	-55.3658	-18.7433	-270	254	2130	0 crack	
2131	4	45	164	12.40368	-43.2568	90	164	2131	0 crack	
2132	6	78	93	77.8931	-4.0822	90	93	2132	0 crack	
2133	1	56	250	-32.6228	-19.1531	-270	250	2133	0 crack	
2134	3	33	247	-7.42338	32.15421	270	347	2134	0 crack	
2135	1	54	245	-48.9406	-22.8214	-270	245	2135	0 crack	
2136	2	20	200	-6.8404	-18.7939	-270	200	2136	0 boundary	
2137	2	23	246	-21.0115	-9.35494	-270	246	2137	0 crack	
2138	1	39	235	-31.9469	-32.3695	-270	235	2138	0 boundary	
2139	3	32	32	-15.0231	28.25432	270	332	2139	0 hair crack	
2140	3	51	335	-21.5535	46.2217	270	335	2140	0 crack	
2141	1	80	254	-76.9009	-22.051	-270	254	2141	0 crack	
2142	1	58	271	-57.9912	-1.01224	270	271	2142	0 hair crack	
2143	1	57	280	-56.134	9.897946	270	280	2143	0 hair crack	
2144	1	42	277	-41.6869	5.118512	270	277	2144	1 open crack	
2145	1	62	296	-55.7252	27.17901	270	296	2145	0 hair crack	
2146	1	42	286	-40.373	11.57677	270	286	2146	0.5 open crack	
2147	1	64	234	-51.7771	-37.6183	-270	234	2147	1 open crack	
2148	6	54	73	51.164046	15.78807	-90	73	2148	0 crack	
2149	2	7	318	-4.68391	5.202014	270	318	2149	0 crack	
2150	3	77	317	-52.5139	56.31424	270	317	2150	0 crack	

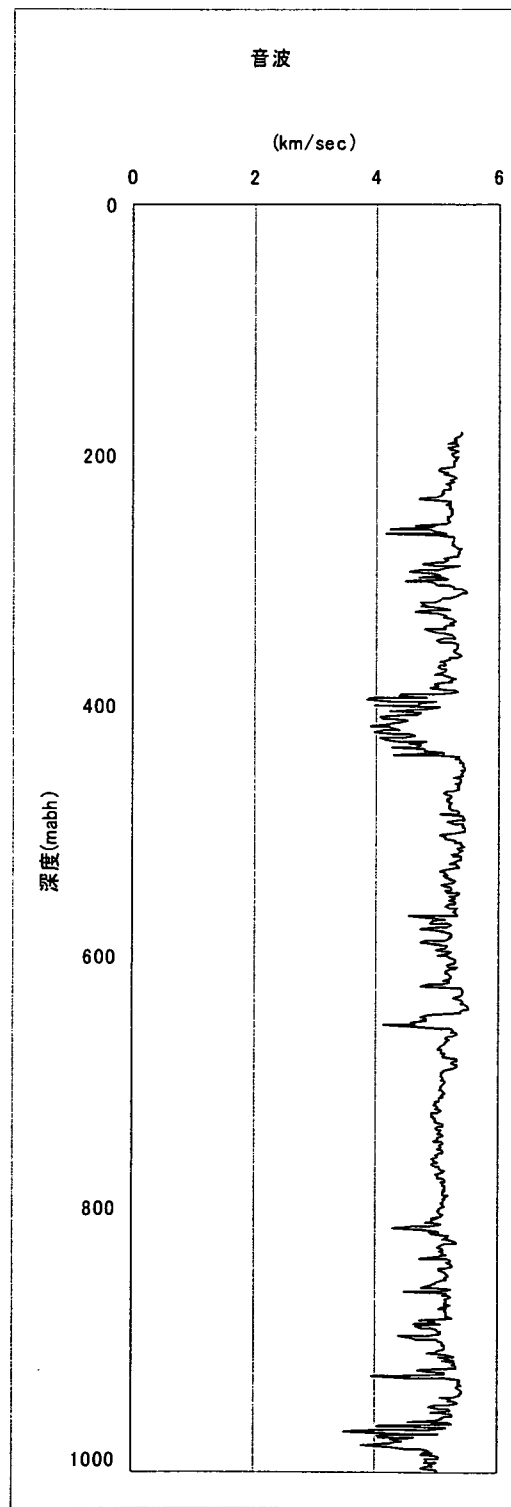
2151	4	79	158	29.59392	-73.2475	90	158	2151	995.01	68 E	79 S	
2152	6	41	8	8	5.706097	40.60099	-90	8	2152	995.38	N	82 W
2153	2	29	162	8.961493	-27.5806	90	162	2153	996.28	N	72 E	
2154	1	65	247	-59.8328	-26.3975	-270	247	2154	996.39	23 W	65 W	
2155	5	76	225	-53.7401	-53.7401	-270	225	2155	996.52	N	45 W	
2156	1	34	224	-23.6184	-24.4576	-270	224	2156	997.63	N	46 W	
2157	1	35	231	-27.2001	-22.0262	-270	231	2157	997.69	N	39 W	
2158	1	42	241	-36.734	-20.362	-270	241	2158	997.78	N	42 W	
2159	1	38	246	-34.7147	-15.456	-270	246	2159	999.00	N	24 W	
2160	3	13	312	-9.66088	8.698698	210	312	2160	999.40	N	42 E	
2161	2	21	257	-20.4618	-4.7239	-270	257	2161	999.47	N	13 W	
2162	6	30	99	29.63065	-4.68303	90	99	2162	1000.13	N	9 E	
2163	1	56	280	-55.1492	9.724298	270	280	2163	1000.76	N	10 E	
2164	1	54	289	-51.058	17.58068	270	289	2164	1001.61	N	19 E	
2165	1	56	256	11.64305	270	282	282	2165	1001.72	N	12 E	
2166	1	75	250	-70.4769	-25.6515	-270	250	2166	1001.89	N	20 W	
2167	6	50	28	23.47358	44.14738	-90	28	2167	1003.61	N	62 W	
2168	1	50	248	-46.3592	-18.7303	-270	248	2168	1003.96	N	22 W	
2169	7	6	51	16	14.03751	49.02435	-90	16	2169	1005.48	N	74 W
2170	6	44	80	43.33154	7.64052	-90	80	2170	1006.00	N	10 W	
2171	1	63	281	-61.8425	12.02097	270	281	2171	1006.00	N	11 E	
2172	5	59	175	5.142189	-58.7755	90	175	2172	1006.17	N	85 E	
2173	1	61	255	-58.9215	-15.788	-270	255	2173	1006.46	N	15 W	
2174	1	71	268	-70.9567	-24.7786	-270	268	2174	1006.63	N	2 W	
2175	1	60	252	-57.0634	-18.541	-270	252	2175	1006.70	N	18 W	
2176	1	53	238	-44.9465	-28.0857	-270	238	2176	1009.38	N	32 W	
2177	6	6	69	99	68.1505	-10.794	90	99	2177	1009.40	N	9 E
2178	1	56	257	-54.5647	-12.5973	-270	257	2178	1009.42	N	13 W	
2179	1	54	258	-52.82	-11.2272	-270	258	2179	1010.02	N	12 W	

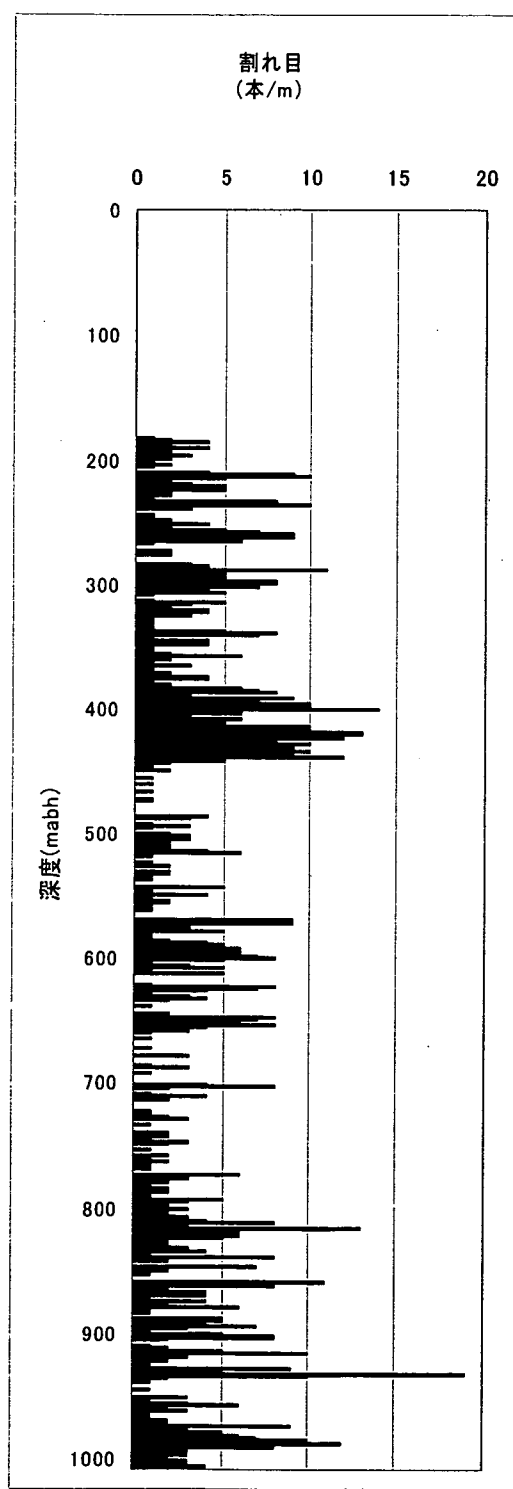


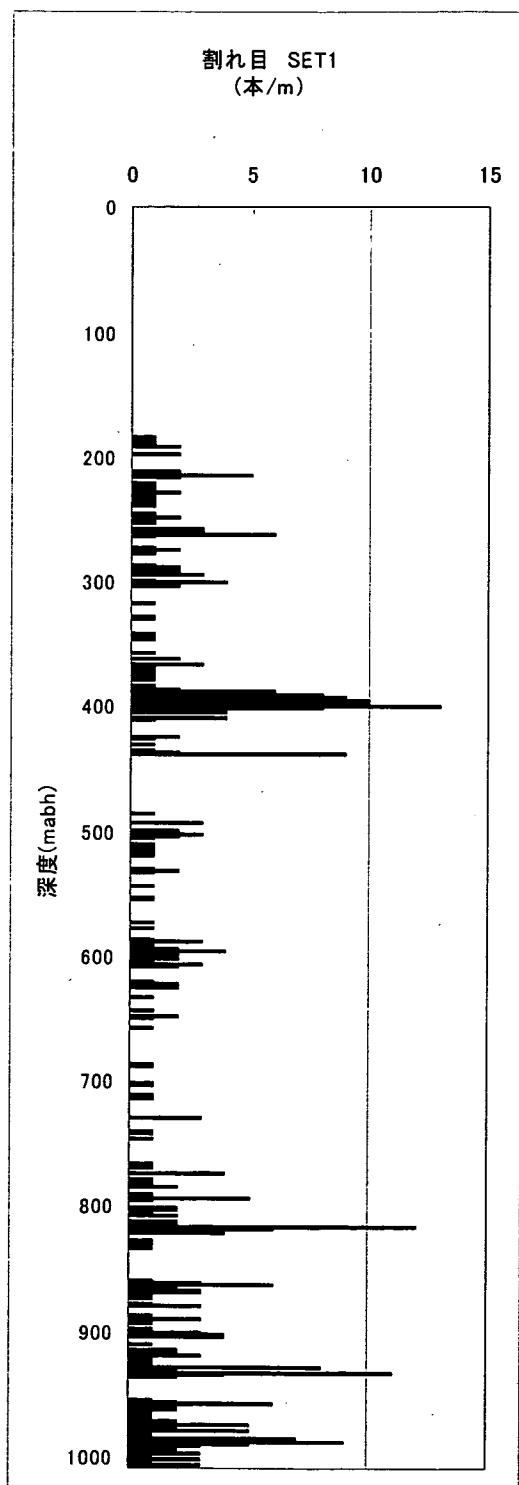


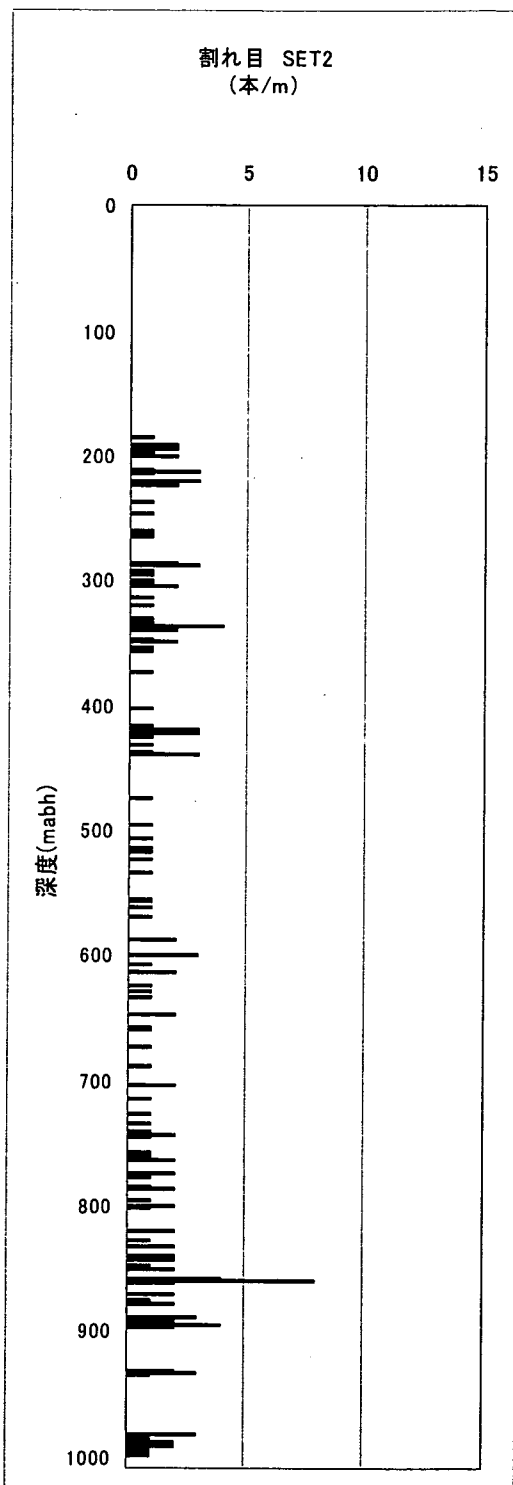


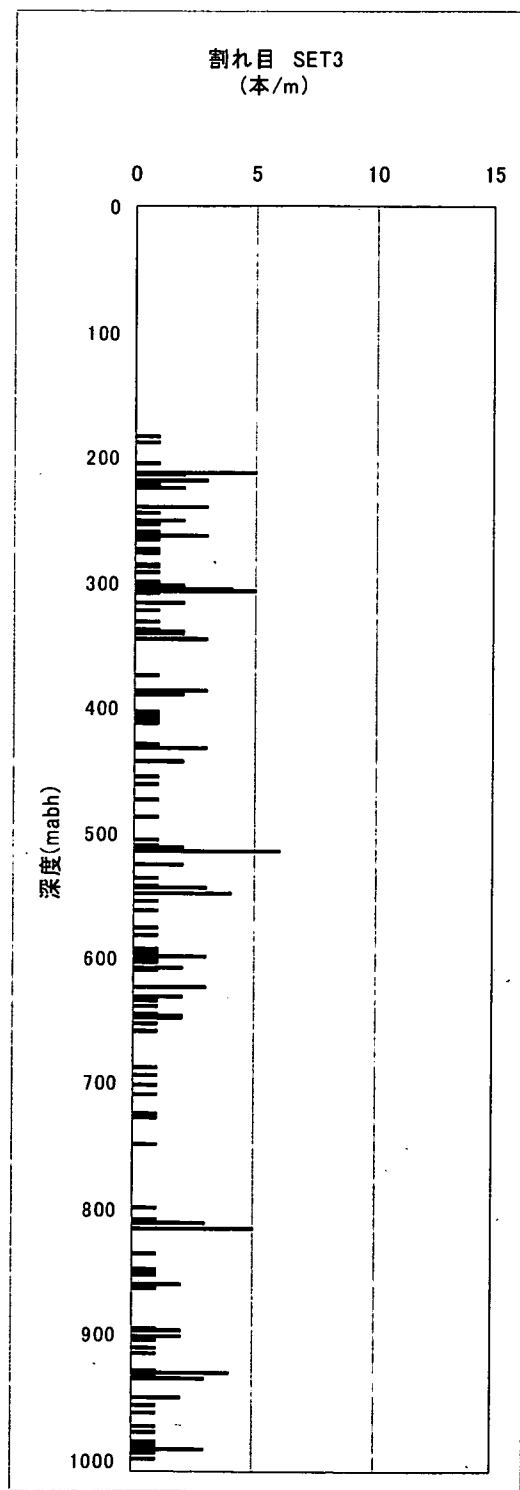


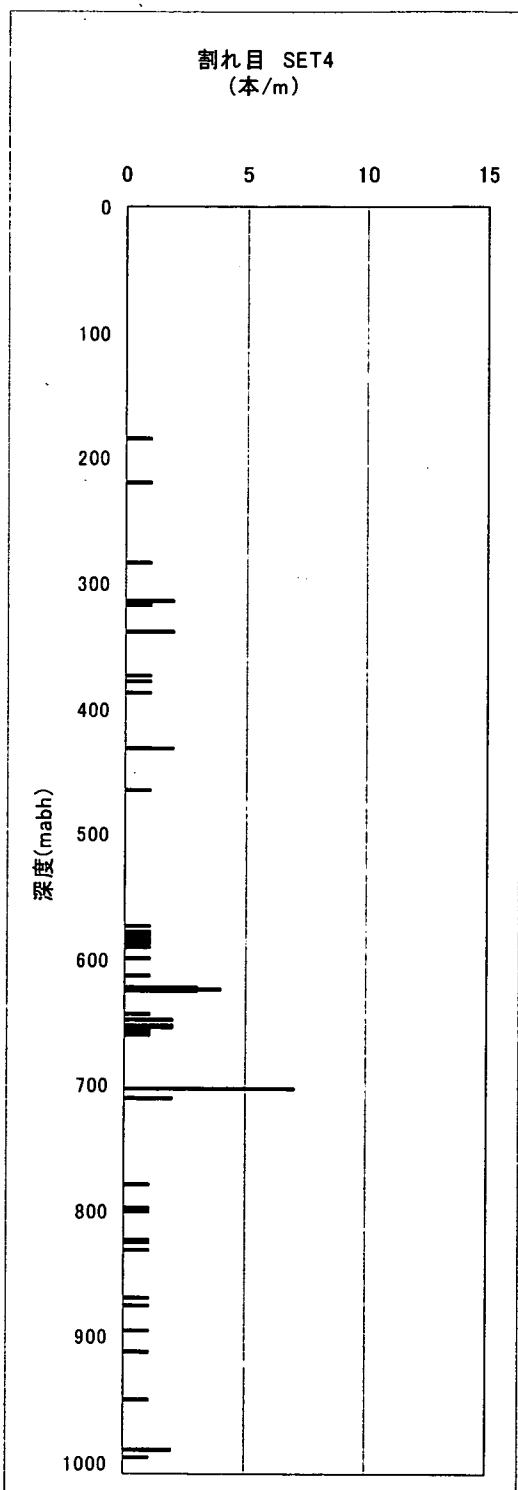


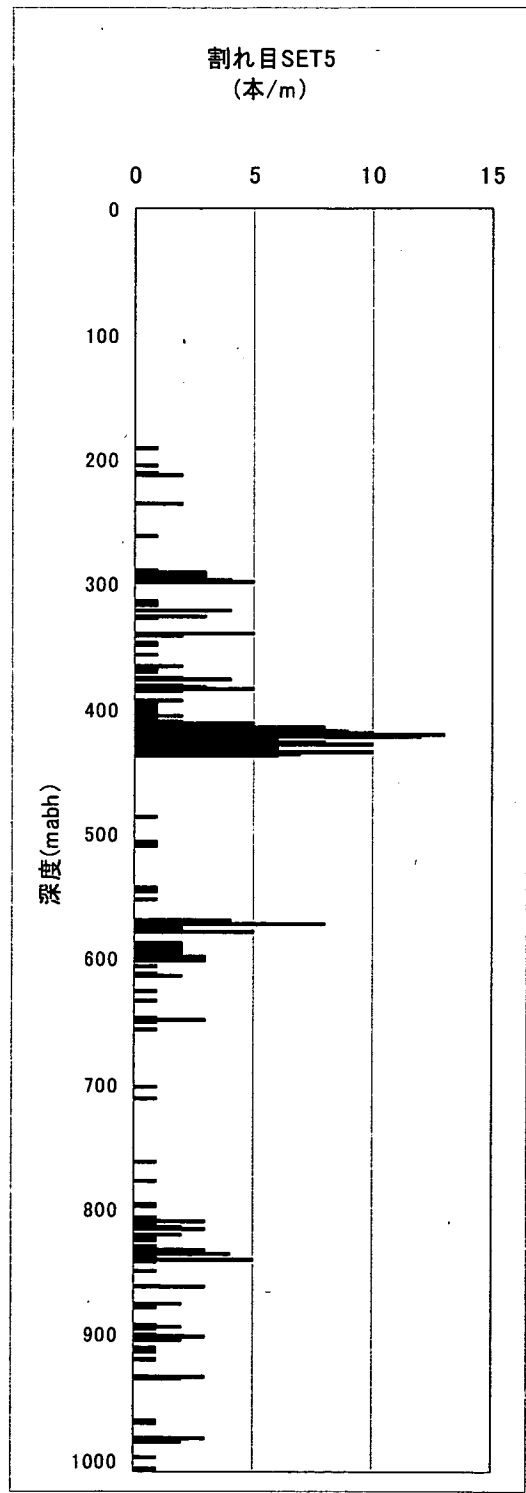


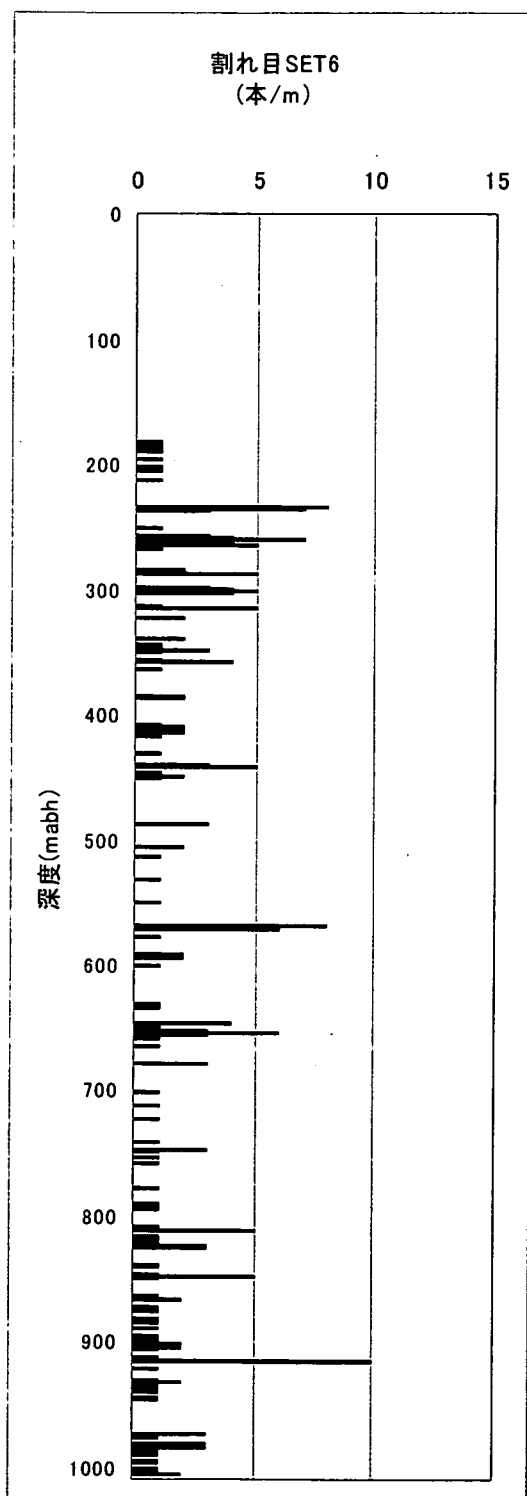




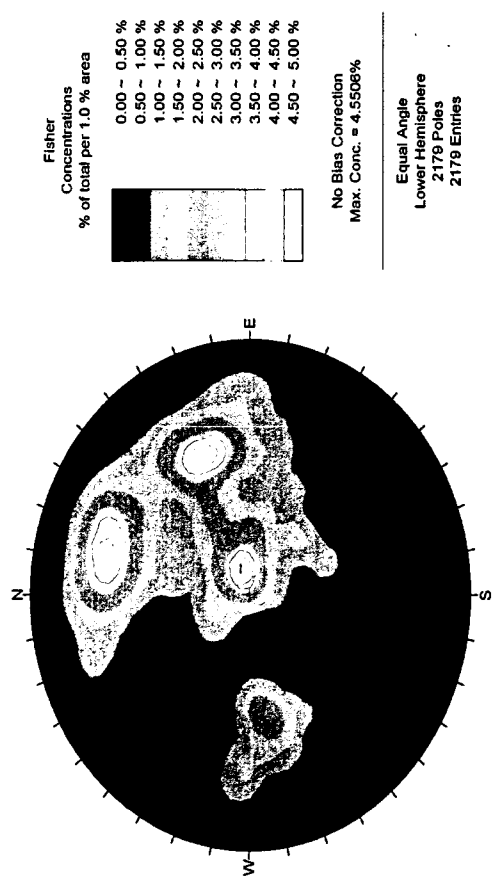


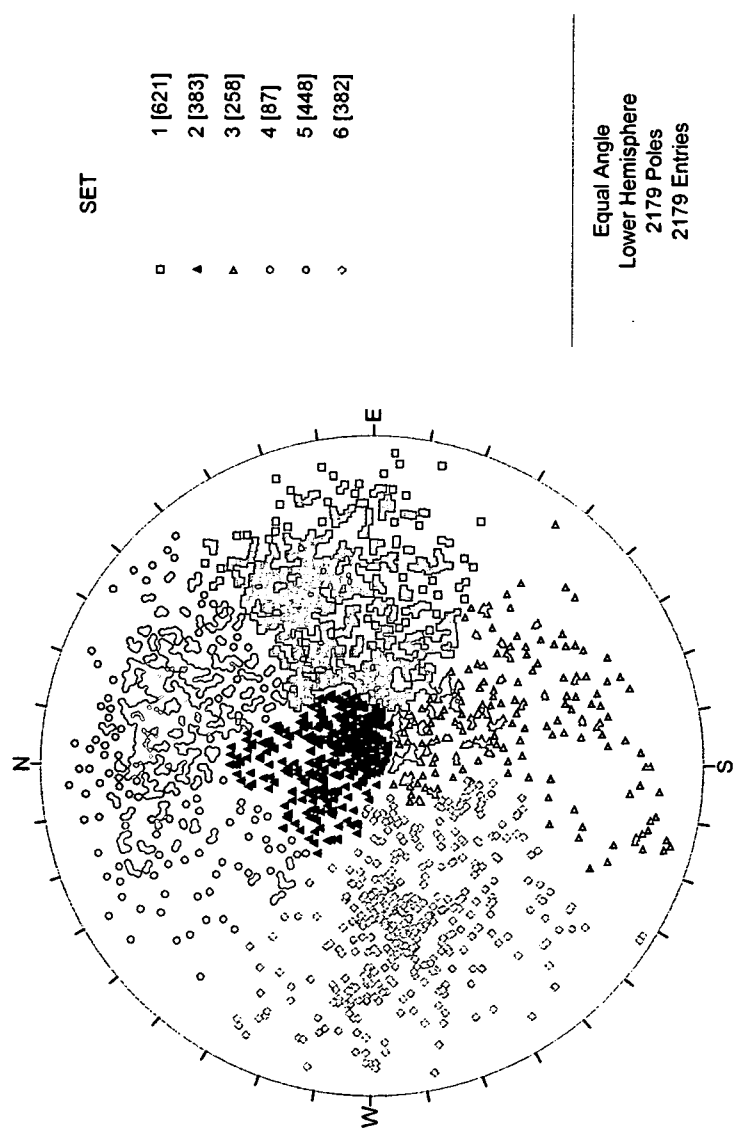






割れ目の方向性分布



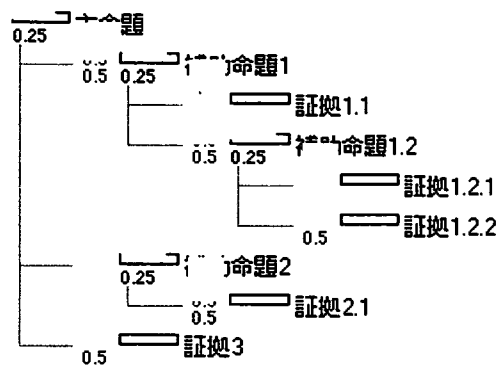


割れ目の主成分分析結果に基づく分類

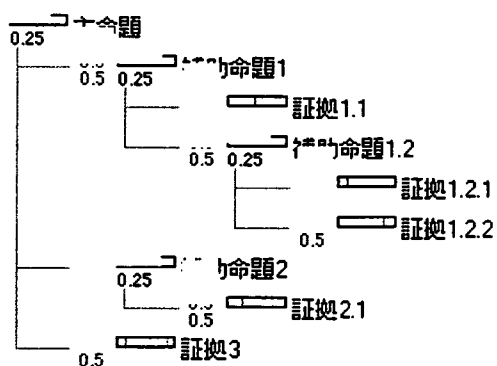
付録・2

Evidential Support Logic (ESL)は、多様な証拠に基づく判断の信頼性を評価する手法であり、本来は、石油探査あるいは経営工学の分野で開発されたものである。ESLは次のような手順で適用される。

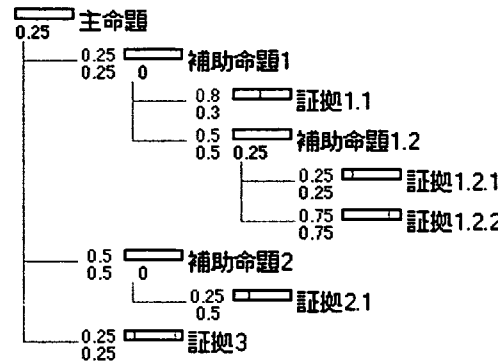
- i) 検討対象とする不確実な命題を、その真偽に影響を及ぼすような複数の補助命題に逐次細分化し、それぞれの補助命題の成立性についての確信の程度を判断するに参照する証拠 (Evidence) と対応付けられるレベルまで継続する。この作業によって、命題の真偽についての信頼性を判断するプロセスが樹形図として整理されることとなる (図付録 1 参照)。
- ii) 樹形図の末端に位置する補助命題が真であることの確信の程度を、主観確率として、それぞれに対応する証拠に基づき入力する (図付録 2 参照)。
- iii) 樹形図の中の全ての分岐点において、個々の下位命題あるいは証拠についての確信の程度が上位の命題の信頼性に与える寄与の程度を、「十分性」、「重複性」および「必要性」の三つの指標 (後述) に基づき設定する (図付録 3 参照)。
- iv) ②及び③の入力に基づき、条件付き区間確率についての演算規則 (後述) を適用することにより、上位の命題についての確信の程度を順次算出していく (図付録 4 参照)。



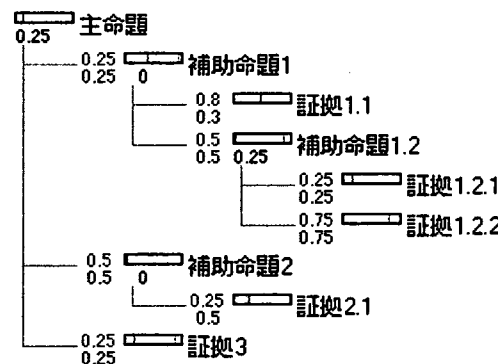
図付録 1 不確実性を有する主命題の信頼性の判断に関する階層プロセスモデルの例



図付録 2 各証拠に基づく末端の補助命題の確信の程度（主観確率）の入力例

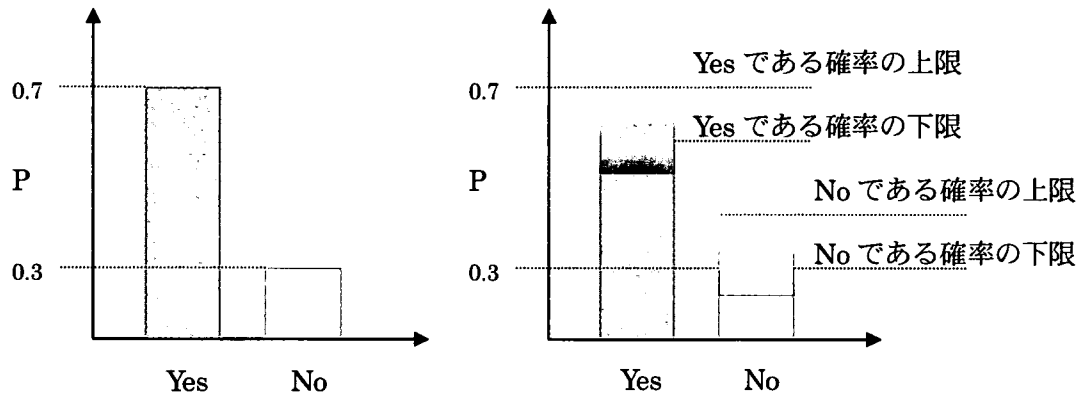


図付録 3 下位の補助命題あるいは証拠の上位命題の信頼性への寄与についての十分性
及び重複性の入力例



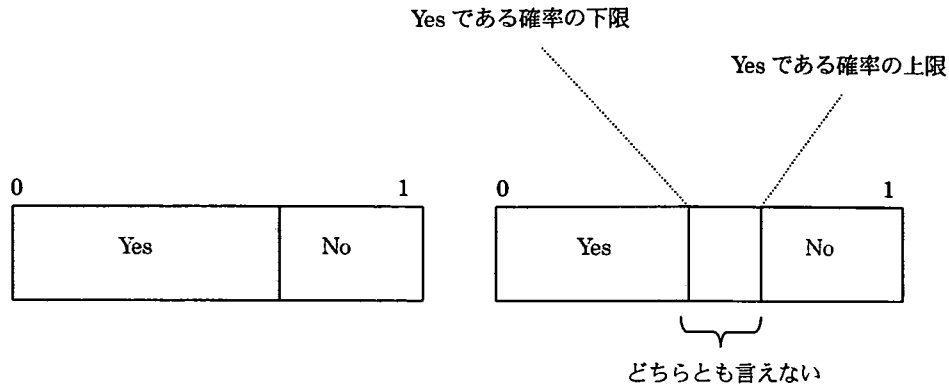
図付録 4 主命題の信頼性の評価例

図付録 4 における主観確率は、区間確率として定義される。区間確率理論は、古典的な確率論とは異なり、主観確率を区間推定として与えるために、その和が 1 となることを要請しない。例えば、ある命題の真偽に関する主観確率を古典的な確率論と区間確率理論のそれぞれで定義した場合、例えば図付録 5 のような結果が得られることとなる。



図付録 5 古典的な確率論（左）と区間確率理論（右）の比較

古典的な確率理論では、支持 (yes) と否定 (no) の和が 1 でなくてはならないのに対して、区間確率では、「どちらとも言えない」という不確実な領域が残ることとなる（図付録 6 参照）。



図付録 6 古典的な確率論（左）と区間確率理論（右）の比較（続き）

区間確率において、支持とも否定とも断定することのできない領域が残されることは、ファジー理論におけるメンバーシップ関数や possibility 理論とも共通した性質であり、これは、人間の主観的判断に含まれる曖昧さを表現するための自由度であるとみなすことができる (Ross, et.al., 2002)。実際、検討の初期において関連する情報が少ない状況では、各補助命題に対して「どちらとも言えない」局面が多く、このような状況で敢えて支持あるいは否定に意見を振り分けることは恣意的な検討結果につながる可能性が否定できない。

上記の手順のうち、②～④における区間確率に対する演算の内容は以下の通りである。

簡単のため、上位の命題が二つの証拠（あるいは補助命題。以下の例では証拠として説明を進めるが、補助命題についても全く同じ演算規則が適用される）に対応付けられた状況を考え、証拠 1 が命題を支持する程度（主観確率）を $P(y_1)$ 、証拠 2 が支持する程度の主観確率を $P(y_2)$ とする。この時、上位の命題が真である確率 $P(Y)$ の下限は次式によって算出される。

$$P(Y) \geq P(Y|y_1)P(y_1) + P(Y|y_2)P(y_2) - P(Y|y_1 \cap y_2) \quad (1)$$

ここで、 $P(Y|y_1)$ 及び $P(Y|y_2)$ は、それぞれ証拠 1 及び 2 が上位命題を 100% 支持してい

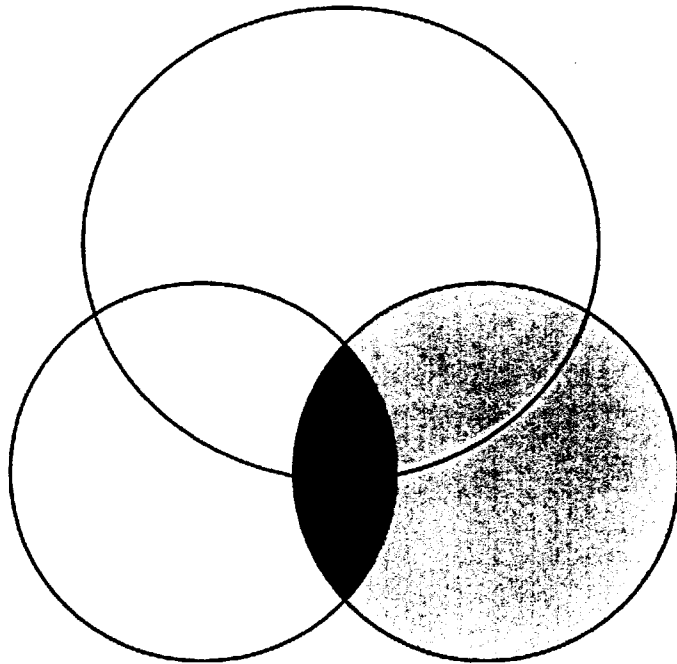
る場合に上位の命題が真であることの条件付き確率である。ESL では、この条件付確率をこれらの証拠の「上位命題が真であること」に対する十分性を示すものとみなす。実際、ある証拠が上位の命題に対して極めて直接的な関連を有している場合には、その証拠が支持している場合に実際に上位命題が真であることの確率は極めて高いものとなり、関連が間接的であったり曖昧であったりする場合にはその条件付確率は低いものと推定される。また、(1)式は、模式的にはベン図によって表現することができる（図付録 7 参照）。求めた確率 $P(Y)$ は、同図における 0 の面積で表されるが、その面積を見積もるために証拠 1 及び証拠 2 によって支持される領域を用いるということが ESL の図形的な理解である。この図からもわかる通り、互いにあまり重複しないような多くの証拠で $P(Y)$ を覆うことがその確信の程度を向上するためには求められることとなる。また、 $P(y_1)$ 及び $P(y_2)$ はそれぞれ①及び③の面積に対応しており、これに対して、条件付確率 $P(Y|y_1)$ 及び $P(Y|y_2)$ は、それぞれ、②の面積の①に対する割合及び④の面積の③に対する割合であり、従って、右辺の $P(Y|y_1)P(y_1) + P(Y|y_2)P(y_2)$ は、②と④の面積の和を示すものと言うことができる。この時、明らかに、②と④の面積の和は、⑤の面積を二重に足し合わせていることとなる。そこで、(1)式の右辺第三項にあるように $P(Y|y_1 \cap y_2)$ つまり⑤の面積を除すことが必要となる。

さて、右辺第三項である $P(Y|y_1 \cap y_2)$ は、二つの証拠が独立なものであっても存在し、その値は、積 $P(Y|y_1)P(y_1)P(Y|y_2)P(y_2)$ となり最小値をとる。他方、これは、二つの証拠が完全に従属の場合に最大となり、この場合には証拠 1 あるいは 2 のどちらか一方が他を包含することとなるため、 $\text{Min}[P(Y|y_1)P(y_1), P(Y|y_2)P(y_2)]$ となる。つまり、 $P(Y|y_1 \cap y_2)$ の大きさは二つの証拠の包含関係によって変動することとなり、以下の不等式が成立する。

$$P(Y|y_1)P(y_1)P(Y|y_2)P(y_2) \leq P(Y|y_1 \cap y_2) \leq \text{Min}[P(Y|y_1)P(y_1), P(Y|y_2)P(y_2)] \quad (2)$$

そこで、 $P(Y|y_1 \cap y_2)$ を次のように書き換えることとする。

$$\begin{aligned} P(Y|y_1 \cap y_2) &= \rho \text{Min}[P(Y|y_1)P(y_1), P(Y|y_2)P(y_2)] \\ \rho &= \frac{P(Y|y_1 \cap y_2)}{\text{Min}[P(Y|y_1)P(y_1), P(Y|y_2)P(y_2)]} \end{aligned} \quad (3)$$



凡例

0 $P(Y)$

1 $P(y_1)$

2 $P(y_1)P(Y|y_1)$

3 $P(y_2)$

4 $P(y_2)P(Y|y_2)$

5 $P(Y|y_1 \cap y_2)$

6 $P(y_1)P(Y|y_1) + P(y_2)P(Y|y_2) - P(Y|y_1 \cap y_2)$

図付録 7 ESL 演算規則の図形的表現

すると、明らかに $\text{Max}[P(Y|y_1)P(y_1), P(Y|y_2)P(y_2)] \leq \rho \leq 1$ が成立するため、さらに、

$$\rho = \lambda_{12} + \text{Max}[P(Y|y_1)P(y_1), P(Y|y_2)P(y_2)][1 - \lambda_{12}] \quad (4)$$

と書き換えることができる。つまり λ_{12} は証拠 1 及び 2 の重複の程度をあらわすパラメータ（以下、重複性と呼ぶ）であり、完全に独立な場合に 0、完全に従属な場合に 1 をとる。

以上から、前出の式は次のように書き換えることができる。

$$P(Y) = \mu_1 P(y_1) + \mu_2 P(y_2) - \{\lambda_{12} + \text{Max}[\mu_1 P(y_1), \mu_2 P(y_2)][1 - \lambda_{12}]\} \text{Min}[\mu_1 P(y_1), \mu_2 P(y_2)] \quad (5)$$

但し、 $\mu_i, i = 1, 2$ は証拠 i の上位の命題に対する十分性であり、 λ_{12} は二つの証拠の重複性を示す。

上式を、補助命題 i が真である確率の下限 $P(\underline{y}_i)$ 、及び上限 $P(\bar{y}_i)$ にそれぞれ適用することによって、上位命題が真であることの確率の上下限 $P(\underline{Y})$ 及び $P(\bar{Y})$ は以下のように算出される。

$$P(\underline{Y}) = \mu_1 P(\underline{y}_1) + \mu_2 P(\underline{y}_2) - \{\lambda_{12} + \text{Max}[\mu_1 P(\underline{y}_1), \mu_2 P(\underline{y}_2)][1 - \lambda_{12}]\} \text{Min}[\mu_1 P(\underline{y}_1), \mu_2 P(\underline{y}_2)]$$

$$P(\bar{Y}) = 1 - \{ \mu_1 (1 - P(\bar{y}_1)) + \mu_2 (1 - P(\bar{y}_2)) - \{\lambda_{12} + \text{Max}[\mu_1 (1 - P(\bar{y}_1)), \mu_2 (1 - P(\bar{y}_2))][1 - \lambda_{12}]\} \text{Min}[\mu_1 (1 - P(\bar{y}_1)), \mu_2 (1 - P(\bar{y}_2))] \}$$
(6)

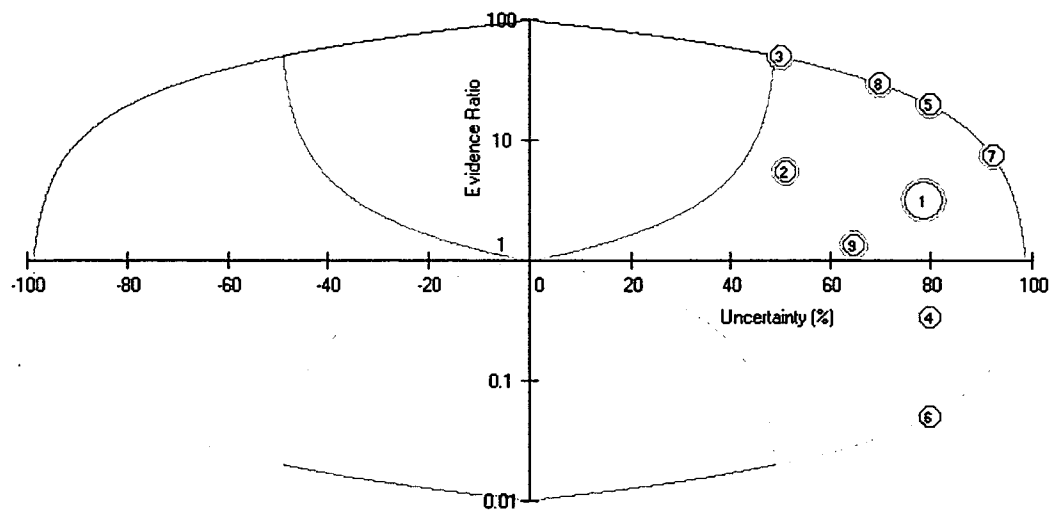
なお、この式は補助命題が 3 つ以上存在する場合に対しても容易に拡張することができる。また、必要性は、証拠あるいは補助命題のうちのいくつかが、それが真でなければ上位命題が真ではない、つまり必要条件となっている場合の特例に対する措置である。この規則は、必要条件となっている証拠あるいは補助命題が真であることの確率の上下限

が、算出された上位命題が真であることの上下限を下回る場合、必要条件となっている補助命題が真であることの確率の上下限によって置き換えることを要請するものである。

ESL の解析を通じて算出される各命題（特に主命題）の信頼性は、図付録 8 に示す ratio plot として表現することができる。Ratio plot は、「支持」、「否定」及び「不確実」の主観確率の値に基づき、各命題についての評価結果を、（支持の確率） / （否定の確率）を縦軸（一般にログスケールが用いられる）の座標に、また、（不確実性の程度）を横軸の座標とした二次元座標上の点として表現したものである。Ratio plot において横軸よりも上の領域は各命題が対応する証拠によってどちらかといえば支持されていることを、また、逆に、横軸よりも下の領域は各命題が対応する証拠によってどちらかといえば否定されていることをそれぞれ表す。また、縦軸よりも右の領域は不確実性が存在していることを表し、左の領域は支持と否定の和が 1 を上回っており評価結果に自己矛盾が発生していることを表す。このような自己矛盾が生じている場合には、階層構造や諸パラメータの入力値を見直すことが必要である。

Ratio plot の右側の領域は 4 つの小領域に区分されている。例えば、濃い緑と薄い緑の領域の境界線は、 $(\text{支持の確率}) - (\text{否定の確率}) = (\text{不確実性の程度})$ となる部分であり、濃い緑の領域では $(\text{支持の確率}) - (\text{否定の確率}) > (\text{不確実性の程度})$ が成立しており、この領域に含まれる命題は不確実性と比較して顕著に証拠によって支持されているものと考えられる。他方、薄い緑の領域では $(\text{支持の確率}) - (\text{否定の確率}) < (\text{不確実性の程度})$ であり、どちらかといえば支持されているがその判断には大きな不確実性が含まれることを意味する。同様に、濃い赤及び薄い赤の領域についても、それぞれ、そこに含まれる命題は、「不確実性と比較して顕著に証拠によって否定されている」と「どちらかといえば否定されているがその判断には大きな不確実性が含まれる」ものと考えられる。

主命題



- 1: 主命題
- 2: 補助命題1
- 3: 証拠1.1
- 4: 補助命題1.2
- 5: 証拠1.2.1
- 6: 証拠1.2.2
- 7: 補助命題2
- 8: 証拠2.1
- 9: 証拠3

図付録 8 各命題の信頼性の ratio plot による表示例